

290
1993



თბილისის უნივერსიტეტის უროგავი
ТРУДЫ ТБИЛИССКОГО УНИВЕРСИТЕТА
PROCEEDINGS OF TBILISI UNIVERSITY

314

ISSN 0376—2637

მათემატიკა. მექანიკა. ასტრონომია
МАТЕМАТИКА. МЕХАНИКА. АСТРОНОМИЯ
MATHEMATICS. MECHANICS. ASTRONOMY

29

გამომცემის უპასუხისმგებლობა

Издательство Тбилисского университета

Tbilisi University Press

თბილისის უნივერსიტეტის შრომები
PROCEEDINGS OF TBILISI UNIVERSITY

316

მათემატიკა . მექანიკა . ასტრონომია
MATHEMATICS. MECHANICS. ASTRONOMY

МАТЕМАТИКА. МЕХАНИКА. АСТРОНОМИЯ

ТБИЛИСИ

1993

Редакционная коллегия

Т. Г. ГЕГЕЛИЯ, Д. Г. ГОРДЕЗИАНИ, Л. Г. ЗАМБАХИДЗЕ,
И. Н. КАРСИВАДЗЕ, Г. А. ЛОМАДЗЕ, Л. Г. МАГНАРАДЗЕ,
Э. А. НАДАРАЯ, Г. Е. ТКЕБУЧАВА (секретарь),
Д. В. ШАРИКАДЗЕ (редактор)

საზეპოაქტიური კოლეგია

თ. გეგელია, დ. გორდეზიანი, ლ. ზამბახიძე,
ი. ნ. კარსივაძე, გ. ა. ლომაძე, ლ. გ. მაგნარაძე,
ე. ა. ნადარაია, გ. ე. ტკებუჩავა (სეკრეტარი),
დ. ვ. შარიკაძე (რედაქტორი)

Editorial Board

T. Gegelia, D. Gordeziani, I. Kartsivadze, G. Lomadze,
L. Magnaradze, E. Nadarais, J. Sharikadze (editor),
G. Tkebuchava (secretary), L. Zambakhidze

Издательство Тбилисского университета, 1993

თბილისის უნივერსიტეტის გამომცემლობა, 1993

TBILISI UNIVERSITY PRESS, 1993

О ПРЕДСТАВЛЕНИИ ЧИСЕЛ НЕКОТОРЫМИ КВАДРАТИЧНЫМИ
ФОРМАМИ С ВОСЬМЬЮ ПЕРЕМЕННЫМИ

Р. И. Беридзе

§ I. Пусть a_1, a_2, \dots, a_8 обозначают произвольные натураль-
ные числа; $r(n; f)$ - число представлений натурального n
формой

$$f = a_1 x_1^2 + a_2 x_2^2 + \dots + a_8 x_8^2. \quad (1.1)$$

Положим

$$\mathcal{D}_{g, h}(\tau; 0; N) = \sum_{k=-\infty}^{\infty} (-1)^{hk} Q^{\frac{1}{2N}(2Nk+g)^2}, \quad (1.2)$$

тогда

$$\mathcal{D}_{g, h}''(\tau; 0; N) = -\mathcal{D}^2 \sum_{k=-\infty}^{\infty} (-1)^{hk} (2Nk+g)^2 Q^{\frac{1}{2N}(2Nk+g)^2}. \quad (1.3)$$

(g, h - целые числа, N - натуральное число, τ - комплексна-
ная переменная с $\text{Im} \tau > 0$, $Q = \exp(2\pi i \tau)$).

Согласно (1.2),

$$\prod_{k=1}^{\infty} \mathcal{D}_{0,0}(\tau; 0; 2a_k) = 1 + \sum_{n=1}^{\infty} r(n; f) Q^n. \quad (1.4)$$

Теперь положим

$$\theta(\tau; f) = 1 + \sum_{n=1}^{\infty} \rho(n; f) Q^n, \quad (1.5)$$

где $\rho(n; f)$ - сингулярный ряд, соответствующий форме
вида (1.1).

В дальнейшем мы будем применять следующие леммы:

საბჭოთაო
საბჭოთაო
საბჭოთაო



Лемма 1 (см., напр., / 3 /, стр. 10, лемма 2). Целая модулярная форма $\Gamma(\tau)$ размерности -1 , присоединенная к группе $\Gamma_0(N)$ и делителя N , тождественно равна нулю, если ее коэффициенты Фурье $A_n = 0$ для всех

$$n \leq \frac{1}{12} N \prod_{p|N} \left(1 + \frac{1}{p}\right).$$

Лемма 2 (см. / 1 /, стр. 78). Пусть $n = 2^\alpha uv$, $u = \prod_{p|n} p^\beta$, $v = \prod_{p|n} p^\gamma$, $p \nmid 2\Delta$, $p \nmid 4$, $p \nmid 2$

$\Delta = a_1 a_2 \dots a_8 = 4^2 \omega$, ω - бесквадратное число. Тогда

$$\rho(n; f) = \frac{2^{\alpha} \cdot 2^{3\alpha} \cdot v^3}{6 \Delta^{1/2}} \chi_2 \prod_{\substack{p|4 \\ p \neq 2}} \chi_p \prod_{p \neq 2} \left(1 - \left(\frac{\omega}{p}\right) p^{-4}\right)^{-1} L^{-1}(4, \omega) \times \sum_{d_1 d_2 = n} \left(\frac{\Delta}{d_1}\right) d_2^3$$

значения величин χ_2 и χ_p даны в работе / 4 / (стр. 69, формула (Ш.45) и стр. 63, формула (Ш.21)), значения $L(4, \omega)$ вычислены в работе / 2 / (стр. 298).

§ 2. В этом параграфе рассматривается представление чисел формой

$$f = x_1^2 + 2(x_2^2 + x_3^2 + x_4^2 + x_5^2 + x_6^2 + x_7^2 + x_8^2).$$

Теорема 1.

$$\mathcal{D}_{00}(\tau; 0; 2) \mathcal{D}_{00}^*(\tau; 0; 4) = \theta(\tau; f_1) - \frac{1}{24\pi^2} (2\mathcal{D}_{00}^2(\tau; 0; 2) - \mathcal{D}_{00}^2(\tau; 0; 4)) \chi(\tau), \tag{2.1}$$

где

$$\chi(\tau) = \mathcal{D}_{00}''(\tau; 0; 2) \mathcal{D}_{00}(\tau; 0; 4) - \frac{1}{2} \mathcal{D}_{00}''(\tau; 0; 4) \mathcal{D}_{00}(\tau; 0; 2).$$

Доказательство. Легко проверяется, что функция

$$\varphi(\tau; f_1) = \mathcal{D}_{00}(\tau; 0; 2) \mathcal{D}_{00}^*(\tau; 0; 4) - \theta(\tau; f_1) + \left(4 \mathcal{D}_{00}^2(\tau; 0; 2) + \mathcal{D}_{00}^2(\tau; 0; 4)\right) \chi(\tau)$$



является целой модулярной формой размерности - 4, приведенной к подгруппе $\Gamma_0(8)$ и делителя 8. Следовательно, достаточно показать, согласно лемме I, что в разложении $\varphi(\tau; f_1)$ по степеням Q постоянные A_1 и A_2 можно подобрать так, чтобы коэффициенты при Q^n ($n \leq 4$) были равны нулю.

Положив в лемме 2

$$a_1 = 1, a_2 = a_3 = \dots = a_8 = 2, \Delta = 2^8, v = 1, h = 2^\alpha u, u = \prod_{\substack{p|n \\ p > 2}} p, \\ \tau = 8, \omega = 2,$$

получим

$$\rho(n; f_1) = \frac{1}{11} 2^{3\alpha+4} \chi_2 \sum_{d_1 d_2 = u} \left(\frac{2}{d_1}\right) d_2^3, \quad (2.2)$$

$$\text{т.е. } L(4, 2) = \frac{2^8 \cdot 3\sqrt{2}}{11 \cdot 2^2}.$$

Положив в формуле (III.45) работы / 3 /

$$n_1 = 1, e_1 = 0, d_1 = 1; n_2 = 7, e_2 = 1, d_2 = 1; \theta(1) = \theta(2) = 0, \\ B(t) = 8t - 1, C(t) \equiv 0 \pmod{4}, T(t) = 2^{-3t+4.5} \text{ при } t \leq 3$$

получим

$$\chi_2 = 1 + \left(\frac{2}{u}\right) 2^{-3\alpha-3}. \quad (2.3)$$

Согласно (2.2) и (2.3), имеем

$$\rho(n; f_1) = \frac{2}{11} \left(2^{3\alpha+3} + \left(\frac{2}{u}\right) \right) \sum_{d_1 d_2 = u} \left(\frac{2}{d_1}\right) d_2^3. \quad (2.4)$$

Согласно формулам (I.2) и (I.3),

$$\mathcal{D}_{00}(\tau; 0; 2) \mathcal{D}_{00}^7(\tau; 0; 4) = 1 + 2Q + 14Q^2 + 28Q^3 + 86Q^4 + \\ + 168Q^5 + 308Q^6 + 560Q^7 + 740Q^8 + \dots, \quad (2.5)$$

$$X(\tau) = \mathcal{D}_{00}''(\tau; 0; 2) \mathcal{D}_{00}(\tau; 0; 4) - \frac{1}{2} \mathcal{D}_{00}''(\tau; 0; 4) \mathcal{D}_{00}(\tau; 0; 2) =$$



$$= -32\pi^2(Q-2Q^2-2Q^3+4Q^4+4Q^5-4Q^6+\dots).$$

Согласно (1.2) и (2.6),

$$\chi(\pi)Q_{00}^1(\tau; 0; 2) = -32\pi^2(Q+2Q^2-6Q^3-12Q^4+12Q^5+20Q^6-8Q^7+8Q^8+\dots), \quad (2.7)$$

$$\chi(\pi)Q_{00}^4(\tau; 0; 4) = -32\pi^2(Q-2Q^2+2Q^3-4Q^4-4Q^5+12Q^6-8Q^7+24Q^8+\dots). \quad (2.8)$$

Вычисляя $f(\pi; f_1)$ по формулам (2.4), согласно (1.5), будем иметь

$$\theta(\tau; f_1) = 1 + \frac{18}{11}Q + \frac{130}{11}Q^2 + \frac{364}{11}Q^3 + \frac{1026}{11}Q^4 + \frac{1726}{11}Q^5 + \frac{3216}{11}Q^6 + \frac{6192}{11}Q^7 + \frac{8194}{11}Q^8 + \dots \quad (2.9)$$

Положим A_1 и A_2 так, чтобы коэффициенты при Q и Q^2 в разложении $\psi(\tau; f_1)$ по степеням Q были равны нулю, т.е., согласно (2.5), (2.7) - (2.9), так, чтобы

$$2 - \frac{18}{11} - 32\pi^2 A_1 - 32\pi^2 A_2 = 0, \quad 14 - \frac{130}{11} - 64\pi^2(A_1 - A_2) = 0,$$

т.е.

$$A_1 = \frac{1}{44\pi^2}, \quad A_2 = -\frac{1}{8\pi^2}.$$

Легко проверить, что в разложении $\psi(\tau; f_1)$ при этих значениях A_1 и A_2 все коэффициенты при Q^n ($n < 4$) равны нулю.

Теорема I². Пусть $n = 2^a u$, $(u, 2) = 1$. Тогда

$$\tau(n; f_1) = \frac{2}{11} \left(2^{3a+3} + \left(\frac{2}{11}\right) \right) \sum_{d_1, d_2 = u} \left(\frac{2}{d_1}\right) d_2^3 + \frac{4}{11} \sum_{n=x^2+y^2+z^2+2t^2} (x^2-2t^2) - \frac{2}{11} \sum_{n=x^2+2y^2+z^2+2t^2} (x^2-2y^2).$$

Доказательство. Согласно (1.5), (2.2) и теореме I,

$$\tau(n; f_1) = \frac{2}{11} \left(2^{3a+3} + \left(\frac{2}{11}\right) \right) \sum_{d_1, d_2 = u} \left(\frac{2}{d_1}\right) d_2^3 + \frac{4}{11} \gamma_1(n) - \frac{2}{11} \gamma_2(n), \quad (2.10)$$

где $\gamma_1(n)$ и $\gamma_2(n)$ обозначают коэффициенты при Q^n в разложе-



влиях функций $-\frac{1}{16\pi^2} \chi(\tau) \vartheta_{00}^2(\tau; 0; 2)$ и $-\frac{1}{16\pi^2} \chi(\tau) \vartheta_{00}^2(\tau; 0; 4)$
 Согласно (I.2) и (I.3)

$$-\frac{1}{16\pi^2} \chi(\tau) \vartheta_{00}^2(\tau; 0; 4) = \sum_{m_1, m_2, m_3, m_4 = -\infty}^{\infty} (m_1^2 - 2m_2^2) Q^{m_1^2 + 2m_2^2 + 2m_3^2 + 2m_4^2}$$

г.в.

$$v_2(n) = \sum_{n = x^2 + 2y^2 + 2z^2 + 2t^2} (x^2 - 2y^2). \quad (2.11)$$

Из (2.10) - (2.11) следует утверждаемое.

§ 3. В этом параграфе рассмотрим представление чисел
 формой

$$f_2 = x_1^2 + x_2^2 + x_3^2 + x_4^2 + x_5^2 + x_6^2 + x_7^2 + 2x_8^2.$$

Теорема 2.

$$\vartheta_{00}^2(\tau; 0; 2) \vartheta_{00}^2(\tau; 0; 4) = \theta(\tau; f_2) + \frac{1}{44\pi^2} \left(\vartheta_{00}^2(\tau; 0; 2) - 4\vartheta_{00}^2(\tau; 0; 4) \right) \chi(\tau),$$

где $\chi(\tau)$ определено в теореме I.

Теорема 2^a. Пусть $n = 2^3 u$, $(u, 2) = 1$. Тогда

$$r(n; f_2) = \frac{2}{11} \left(2^{3\alpha+6} \left(\frac{2}{u} \right) \right) \sum_{d_1, d_2 = u} \left(\frac{2}{d_1} \right) d_1^3 - \frac{4}{11} \sum_{n = x^2 + y^2 + z^2 + 2t^2} (x^2 - 2t^2) + \frac{16}{11} \sum_{n = x^2 + 2y^2} (x^2 + 2y^2).$$

§ 4. В этом параграфе рассмотрим представление чисел
 формой

$$f_3 = x_1^2 + x_2^2 + x_3^2 + 2(x_4^2 + x_5^2 + x_6^2 + x_7^2 + x_8^2).$$

Теорема 3.

$$\vartheta_{00}^3(\tau; 0; 4) \vartheta_{00}^5(\tau; 0; 4) = \theta(\tau; f_3) - \frac{1}{88\pi^2} \left(3\vartheta_{00}^2(\tau; 0; 2) + 5\vartheta_{00}^2(\tau; 0; 4) \right) \chi(\tau).$$

где $\chi(\tau)$ определено в теореме I.

Теорема 3.² Пусть $n=2^{\alpha}u$, $(u,2)=1$. Тогда

$$\tau(n; f_3) = \frac{2}{11} \left(2^{3\alpha+4} + \left(\frac{2}{u}\right) \right) \sum_{d_1 d_2 = u} \left(\frac{2}{d_1}\right) d_2^3 +$$

$$+ \frac{6}{11} \sum_{n=x^2+y^2+z^2+4t^2} (x^2-2t^2) + \frac{10}{11} \sum_{n=x^2+2y^2+2z^2+2t^2} (x^2-2y^2).$$

§ 5. В этом параграфе рассматриваются представления чисел формой

$$f_4 = x_1^2 + x_2^2 + x_3^2 + x_4^2 + x_5^2 + 2(x_6^2 + x_7^2 + x_8^2).$$

Теорема 4.

$$\mathcal{D}_{00}^5(\tau; 0; 2) \mathcal{D}_{00}^3(\tau; 0; 4) = \theta(\tau; f_4) -$$

$$- \frac{1}{88\pi^2} (5\mathcal{D}_{00}^2(\tau; 0; 2) + 6\mathcal{D}_{00}^2(\tau; 0; 4)) \chi(\tau).$$

где $\chi(\tau)$ определено в теореме I.

Теорема 4.¹ Пусть $n=2^{\alpha}u$, $(u,2)=1$. Тогда

$$\tau(n; f_4) = \frac{2}{11} \left(2^{3\alpha+5} + \left(\frac{2}{u}\right) \right) \sum_{d_1 d_2 = u} \left(\frac{2}{d_1}\right) d_2^3 + \frac{10}{11} \sum_{n=x^2+y^2+z^2+2t^2} (x^2-2t^2) +$$

$$+ \frac{12}{11} \sum_{n=x^2+2y^2+2z^2+2t^2} (x^2-2y^2).$$

§ 6. В этом параграфе рассматриваются представления чисел формой

$$f_5 = x_1^2 + x_2^2 + x_3^2 + x_4^2 + x_5^2 + 4(x_6^2 + x_7^2 + x_8^2).$$

Теорема 5.

$$\mathcal{D}_{00}^5(\tau; 0; 2) \mathcal{D}_{00}^3(\tau; 0; 8) = \theta(\tau; f_5) + \frac{17}{4} \mathcal{D}_{00}^3(\tau; 0; 8) \mathcal{D}_{01}^4(\tau; 0; 8) \mathcal{D}_{80}(\tau; 0; 8) +$$

$$+ 5 \mathcal{D}_{00}^4(\tau; 0; 8) \mathcal{D}_{01}^3(\tau; 0; 8) \mathcal{D}_{80}^2(\tau; 0; 8) + \frac{5}{4} \mathcal{D}_{00}^4(\tau; 0; 8) \mathcal{D}_{01}^4(\tau; 0; 8) \mathcal{D}_{80}^3(\tau; 0; 8)$$

Теорема 5.¹ Пусть $n=2^{\alpha}u$, $(u,2)=1$. Тогда



$$r(n; f_5) = \frac{3}{2} \epsilon_3(n) + \frac{17}{2} \sum_{\substack{n = x^2 + 4y^2 + 4z^2 + 4t^2 \\ 2|x, x > 0}} (x^2 - 4y^2), \text{ если } n \equiv 1 \pmod{4};$$

$$= \frac{5}{2} \epsilon_3(n) + 10 \sum_{\substack{n = x^2 + y^2 + z^2 + 4t^2 \\ 2|x, 2|y, 2|z \\ x > 0, y > 0, z > 0}} (x^2 - 4t^2), \text{ если } n \equiv 3 \pmod{4};$$

$$= 20 \epsilon_3(n) + 20 \sum_{\substack{n = x^2 + y^2 + 4z^2 + 4t^2 \\ 2|x, 2|y, x > 0, \\ y > 0}} (x^2 - 4z^2), \text{ если } n \equiv 1;$$

$$= 96 \epsilon_3(n) \text{ если } n \equiv 2;$$

$$= \frac{2}{7} (41 \cdot 2^{3n} + 64) \epsilon_3(n) \text{ если } n \equiv 3.$$

§ 7. В этом параграфе рассматриваются представления чисел формой $f_6 = x_1^2 + x_2^2 + x_3^2 + 4(x_4^2 + x_5^2 + x_6^2 + x_7^2 + x_8^2)$.

Теорема 6.

$$\begin{aligned} \mathfrak{D}_{00}^3(\tau; 0; 2) \mathfrak{D}_{00}^5(\tau; 0; 8) &= \theta(\tau; f_6) + \frac{21}{8} \mathfrak{D}_{00}^3(\tau; 0; 6) \mathfrak{D}_{01}^4(\tau; 0; 8) \mathfrak{D}_{80}(\tau; 0; 8) + \\ &+ \frac{3}{2} \mathfrak{D}_{00}(\tau; 0; 8) \mathfrak{D}_{01}^4(\tau; 0; 8) \mathfrak{D}_{80}^2(\tau; 0; 8) + \\ &+ \frac{1}{8} \mathfrak{D}_{00}(\tau; 0; 8) \mathfrak{D}_{01}^4(\tau; 0; 8) \mathfrak{D}_{80}^3(\tau; 0; 8). \end{aligned}$$

Теорема 6^a. Пусть $n = 2^\alpha u$, $(u, 2) = 1$. Тогда

$$r(n; f_6) = \frac{3}{4} \epsilon_3(n) + \frac{21}{4} \sum_{\substack{n = x^2 + 4y^2 + 4z^2 + 4t^2 \\ 2|x, x > 0}} (x^2 - 4y^2), \text{ если } n \equiv 1 \pmod{4};$$



$$= \frac{1}{4} \zeta_3(n) + \sum_{\substack{n=x^2+y^2+z^2+4t^2 \\ 2|x, 2|y, 2|z \\ x>0, y>0, z>0}} (x^2-4t^2),$$

если

$$n \equiv 3 \pmod{4}$$

$$= 6\zeta_3(u) + 6 \sum_{\substack{n=x^2+y^2+4z^2+4t^2 \\ 2|x, 2|y, x>0, \\ y>0}} (x^2-4t^2),$$

если

$$\alpha = 1;$$

$$= 16\zeta_3(u),$$

если

$$\alpha = 2;$$

$$= \frac{132 \cdot 3^\alpha - 384}{55} \zeta_3(u),$$

если

$$\alpha \geq 3.$$

§ 8. В этом параграфе рассматривается представление чисел
формы

$$f_8 = x_1^2 + \frac{1}{4}(x_2^2 + x_3^2 + x_4^2 + x_5^2 + x_6^2 + x_7^2 + x_8^2).$$

Теорема 1.

$$g_{00}(\tau; 0; 2) g_{\infty}^3(\tau; 0; 8) = \theta(\tau; f_8) + \frac{1}{8} g_{00}^3(\tau; 0; 8) g_{\infty}^4(\tau; 0; 8) g_{80}(\tau; 0; 8).$$

Теорема 2. Пусть $n = 2^\alpha u$, $(u, 2) = 1$. Тогда

$$r(n; f_8) = \frac{1}{4} \zeta_3(u) + \frac{1}{4} \sum_{\substack{n=x^2+4y^2+4z^2+4t^2 \\ 2|x, x>0}} (x^2-4y^2),$$

если

$$n \equiv 1 \pmod{4};$$

$$= 0,$$

если

$$n \equiv 3 \pmod{4};$$

$$= 16\zeta_3(u),$$

если

$$\alpha = 2;$$

$$= \frac{1}{14} (3 \cdot 2^{3\alpha} + 32) \zeta_3(u),$$

если

$$\alpha \geq 3.$$

§ 9. В этом параграфе рассматривается представление чисел
формы

$$f_9 = x_1^2 + x_2^2 + x_3^2 + x_4^2 + x_5^2 + x_6^2 + x_7^2 + 4x_8^2.$$

Теорема 8.

$$\begin{aligned} g_{00}^7(\tau; 0; 2) g_{00}(\tau; 0; 8) &= \theta(\tau; f_8) + \\ &+ \frac{7}{2} g_{00}^3(\tau; 0; 8) g_{01}^4(\tau; 0; 8) g_{80}(\tau; 0; 8) + \\ &+ 7 g_{00}^2(\tau; 0; 8) g_{01}^4(\tau; 0; 8) g_{80}^2(\tau; 0; 8) + \\ &+ \frac{7}{2} g_{00}(\tau; 0; 8) g_{01}^4(\tau; 0; 8) g_{80}^3(\tau; 0; 8). \end{aligned}$$

Теорема 8^a. Пусть $n=2^\alpha u$, $(u, 2)=1$. Тогда

$$\begin{aligned} r(n; f_8) &= 7\epsilon_3(n) + 7 \sum_{\substack{n=x^2+4y^2+4z^2+4t^2 \\ 2|x, 2|z, z>0}} (x^2-4y^2), & \text{если } n \equiv 1 \pmod{4}; \end{aligned}$$

$$\begin{aligned} &= 9\epsilon_3(n) + 28 \sum_{\substack{n=x^2+y^2+z^2+4t^2 \\ 2|x, 2|y, 2|z \\ x>0, y>0, z>0}} (x^2-4t^2), & \text{если } n \equiv 3 \pmod{4}; \end{aligned}$$

$$\begin{aligned} &= 56\epsilon_3(u) + 28 \sum_{\substack{n=x^2+y^2+4x^2+4t^2 \\ 2|t, 2|y, x>0, y>0}} (x^2-4t^2), & \text{если } \alpha=1; \end{aligned}$$

$$\begin{aligned} &= 56\epsilon_3(u), & \text{если } \alpha=2; \\ &= \frac{1}{12} (1007 \cdot 2^{3\alpha} - 1280) \epsilon_3(u), & \text{если } \alpha \geq 3. \end{aligned}$$

Поступила 22.XII.1991

Кафедра высшей математики

Факультета кибернетики и прикладной математики

Литература

1. Р.А.Беридзе. Труды ТГУ, II7, 1966, стр.77-101.
2. Г.А.Ломадзе, Сообщения АН ГССР, 41:2, 1966, стр.257-263.
3. Г.А.Ломадзе. Труды ТГУ, II7, 1966, стр.7-43.



4. А.В.Малышев. Труды Математического института им. Л.С.Пуанкаре, 65, 1962, I-212.

հ.Բերիշե

Մասնավոր դեպքերում երեք քառակուսի ձևերով թվերի ներկայացումը

հարցում

Մտածելով փոքրիկ թվերի համարում n հարցերի ընթացքում հարցերի մասին

$$f = a_1 x_1^2 + a_2 x_2^2 + a_3 x_3^2 + a_4 x_4^2 + a_5 x_5^2 + a_6 x_6^2 + a_7 x_7^2 + a_8 x_8^2$$

ևս նաև արհեստագործ, հարց

- $a_1 = 1, a_2 = a_3 = \dots = a_8 = 2, 4;$
- $a_1 = a_2 = \dots = a_4 = 1, a_5 = 2, 4;$
- $a_1 = a_2 = a_3 = 1, a_4 = a_5 = a_6 = a_7 = a_8 = 2, 4;$
- $a_1 = a_2 = a_3 = a_4 = a_5 = 1, a_6 = a_7 = a_8 = 2, 4.$

h. Berizze

ON THE REPRESENTATION OF INTEGERS BY SOME QUADRATIC FORMS OF EIGHT VARIABLES

Summary

Formulas are obtained for the number of representations of a natural number by quadratic forms of the kind

$$f = a_1 x_1^2 + a_2 x_2^2 + a_3 x_3^2 + a_4 x_4^2 + a_5 x_5^2 + a_6 x_6^2 + a_7 x_7^2 + a_8 x_8^2,$$

when

- $a_1 = 1, a_2 = a_3 = \dots = a_8 = 2, 4;$
- $a_1 = a_2 = \dots = a_4 = 1, a_5 = 2, 4;$
- $a_1 = a_2 = a_3 = 1, a_4 = a_5 = a_6 = a_7 = a_8 = 2, 4;$
- $a_1 = a_2 = a_3 = a_4 = a_5 = 1, a_6 = a_7 = a_8 = 2, 4.$

О ПРЕДСТАВЛЕНИИ ЧИСЛА КВАДРАТИЧНЫМИ ФОРМАМИ

ТИПОВ $(-2, 11, 1)$ И $(-3, 11, 1)$

Х.Л. Джашиашидзе

Э. Генке (/ 1 /, с. 901) доказал, что существует три класса квадратичных форм с четырьмя переменными дискриминанта 11^2 :

$$Q_{11} = x_1^2 + x_1 x_2 + 3x_2^2 + x_3^2 + x_3 x_4 + 3x_4^2,$$

$$Q_{12} = 2(x_1^2 + x_2^2 + x_3^2 + x_4^2) + 2x_1 x_3 + x_1 x_4 + 2x_2 x_3 - 2x_2 x_4,$$

$$Q_{22} = x_1^2 + 4(x_2^2 + x_3^2 + x_4^2) - x_1 x_3 + 4x_2 x_3 + 3x_2 x_4 + x_3 x_4.$$

Х. Петерссон (/ 2 /, с. 80) доказал, что число представлений натурального числа n квадратичной формой Q_{11}

$$r(n, Q_{11}) = \frac{12}{5} \sum_{d|n, 11 \nmid d} d + \frac{8}{5} \sum_{\substack{x_1^2 + x_2^2 + 11(x_3^2 + x_4^2) = 24n \\ x_i \equiv 1 \pmod{6}}} \left(\frac{-1}{x_1 x_2 x_3 x_4} \right), \quad (1)$$

где $\left(\frac{-1}{u} \right)$ обозначает символы Якоби $\left(\frac{-1}{u} \right)$ при $2 \nmid u$, $u > 0$ и $-\left(\frac{-1}{u} \right)$ при $2 \nmid u$, $u < 0$.

В предлагаемой работе получены формулы для числа представлений натурального числа n квадратичными формами Q_{11} , Q_{12} .

Пусть

$$Q_1 = x_1^2 + x_1 x_2 + 3x_2^2.$$

Известно*, что число представлений натурального числа n

* Это нам сообщил Г. А. Ломадзе



прямой суммой квадратичных форм Q_{11} и Q_1 -

$$r(n, Q_{11} \oplus Q_1) = \frac{1}{3} \left(11 \sum_{d|n} \left(\frac{d}{11}\right) d^2 - \sum_{d|n} \left(\frac{d}{11}\right) d^2 \right) + \frac{4}{15} \sum_{Q_1=n} 11x_1^2 - 6n \quad (2)$$

В настоящей работе также получены формулы для числа представлений натурального числа n квадратичными формами:

$$Q_{12} \oplus Q_1, \quad Q_{13} \oplus Q_1.$$

§ I. Некоторые известные результаты

Мы вкратце будем придерживаться терминологии Э.Гекке [1].

Пусть

$$Q(x) = Q(x_1, \dots, x_f) = \sum_{1 \leq i, j \leq f} b_{ij} x_i x_j$$

- положительная квадратичная форма от f (f - четное) переменных с целыми коэффициентами b_{ij} ; D - определитель квадратичной формы

$$\Delta Q(x) = \sum_{r,s=1}^f a_{rs} x_r x_s$$

$$(a_{rr} = 2b_{rr}; \quad a_{rs} = a_{sr} = b_{rs}, \quad r < s);$$

A_{rs} - алгебраические дополнения элементов a_{rs} в D ; Δ - дискриминант квадратичной формы $Q(x)$, т.е. $\Delta = 4^{f/2} D$;

$\delta = \text{H.O.D.} \left(\frac{A_{11}}, A_{12}, \dots, A_{1f} \right)$ ($1, 2, \dots, f$); $N = \frac{D}{\delta}$ - степень квадратичной формы $Q(x)$; $\chi(d)$ - характер квадратичной формы $Q(x)$,

т.е. если Δ - квадрат, то $\chi(d) = 1$, если же Δ не является квадратом и $d \nmid \Delta$, то

$$\chi(d) = \begin{cases} \left(\frac{d}{|\Delta|}\right) & \text{при } d > 0 \\ (-1)^{f/2} \chi(d) & \text{при } d < 0 \end{cases} \quad (3)$$

(здесь $\left(\frac{d}{|\Delta|}\right)$ обозначает обобщенный символ Якоби). Положительная квадратичная форма от f переменных, степени N и с характером χ называется квадратичной формой типа $\left(-\frac{\Delta}{d}, N, \chi\right)$.



Всюду в дальнейшем q обозначает нечётное простое число.

а $z = \exp(2\pi i \tau)$, $\text{Im} \tau > 0$.

Если $Q(x)$ - квадратичная форма типа $(-2, q, 1)$, то (//I/, с. 874, 817) её дискриминант $\Delta = -q^2$ и ей соответствует ряд Эйзенштейна

$$E(\tau; Q(x)) = 1 + \frac{24}{q-1} \sum_{n=1}^{\infty} \left(\sum_{d|n, q \nmid d} d \right) z^n. \quad (4)$$

Если же $Q(x)$ - квадратичная форма типа (k, q, χ) , $\chi(-1) = -1$,

$2k, k > 2$, то (//I/, с. 877, 818) её дискриминант

$$\Delta = (-1)^{(q-1)/2} q^{2k+1}, \quad 0 \leq k \leq k-1,$$

и ей соответствует ряд Эйзенштейна

$$E(\tau; Q(x)) = 1 + \frac{1}{f_k(q)} \sum_{n=1}^{\infty} \left((-1)^{[k/2]} q^{k-1} \sum_{d|n} \chi(d) d^k + \sum_{d|n} \chi(d) d^{k-1} \right) z^n, \quad (5)$$

где $f_k(q) = (-1)^{[k/2]} \frac{q^{k-1/2}}{(2q)^k} (k-1)! \sum_{n=1}^{\infty} \chi(n) n^{-k}$.

Любой положительной квадратичной форме $Q(x)$. или хорошо известно, соответствует гетс-ряд

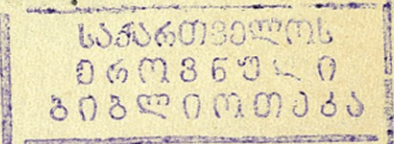
$$\mathcal{G}(\tau; Q(x)) = 1 + \sum_{n=1}^{\infty} r(n, Q(x)) z^n, \quad (6)$$

где $r(n, Q(x))$ обозначает число представлений натурального числа n формой $Q(x)$.

Лемма I (//I/, с. 811, 954). Целая модулярная форма $F(\tau)$ типа $(-k, N, \chi)$ тождественно равна нулю, если z её разложения

$$F(\tau) = \sum_{n=0}^{\infty} a_n z^n$$

коэффициенты $a_n = 0$ для всех $n \leq \frac{k}{12} N \pi \left(1 + \frac{1}{q}\right)$.



Лемма 2 (/I/, с. 790, 875, 845). Если $Q(x)$ является квадратичной формой типа $(-k, q, x)$, то отвечающие ей тета-ряд $\vartheta(\tau, Q(x))$ и ряд Эйзенштейна $E(\tau; Q(x))$ будут целыми модулярными формами типа $(-k, q, x)$.

§ 2. Квадратичные формы типа $(-2, II, I)$

Теорема 1.

$$\tau(n, Q_{11}) = \frac{12}{5} \sum_{d|n, 11 \nmid d} d + \frac{12}{5} \sum_{\substack{x_1, x_2, x_3, x_4 \\ x_1^2 + x_2^2 + 11(x_3^2 + x_4^2) = 24n \\ x_i \equiv \pm 1, \pm 3, \pm 5 \pmod{6}}} \frac{-1}{x_1 x_2 x_3 x_4}$$

$$\tau(n, Q_{22}) = \frac{12}{5} \sum_{d|n, 11 \nmid d} d + \frac{18}{5} \sum_{\substack{x_1, x_2, x_3, x_4 \\ x_1^2 + x_2^2 + 11(x_3^2 + x_4^2) = 24n \\ x_i \equiv \pm 1, \pm 3, \pm 5 \pmod{6}}} \left(\frac{-1}{x_1 x_2 x_3 x_4} \right)$$

Доказательство. Нетрудно проверить, что квадратичные формы Q_{11} , Q_{12} и Q_{22} являются квадратичными формами типа $(-2, II, I)$. Следовательно, согласно лемме 2, функции

$$\varphi_1(\tau) = \vartheta(\tau; Q_{11}) + \vartheta(\tau; Q_{22}) - \frac{5}{4} E(\tau; Q_{11}) - \frac{3}{4} \vartheta(\tau; Q_{11})$$

$$\varphi_2(\tau) = \vartheta(\tau; Q_{12}) - \vartheta(\tau; Q_{22}) - \frac{15}{4} E(\tau; Q_{11}) + \frac{15}{4} \vartheta(\tau; Q_{11})$$

будут целыми модулярными формами типа $(-2, II, I)$. Таким образом, в силу леммы 1, они будут тождественно равны нулю, если в их разложениях по степеням x коэффициенты при x^n равны нулю для всех $n \leq 2$.

Из (4) следует:

$$\begin{aligned} E(\tau; Q_{11}) &= E(\tau; Q_{12}) = E(\tau; Q_{22}) = 1 + \frac{12}{5} \sum_{n=1}^{\infty} \left(\sum_{d|n, 11 \nmid d} d \right) x^n = \\ &= 1 + \frac{12}{5} x + \frac{36}{5} x^2 + \dots \end{aligned} \tag{7}$$

Э.Гекке (/I/, с. 901) показал, что

$$\vartheta(\tau; Q_{11}) = 1 + 4x + 4x^2 + 8x^3 + \dots \tag{8}$$



$$\vartheta(\tau; Q_{12}) = 1 + 0x + 12x^2 + 12x^3 + \dots,$$

$$\vartheta(\tau; Q_{22}) = 1 + 6x + 0x^2 + 6x^3 + \dots$$

(10)

Теперь нетрудно проверить, что коэффициенты при x^n в разложениях функций $\varphi_1(\tau)$ и $\varphi_2(\tau)$ по степеням x равны нулю для всех $n \leq 2$. Итак, доказаны тождества:

$$\vartheta(\tau; Q_{12}) + \vartheta(\tau; Q_{22}) = \frac{5}{4} E(\tau; Q_{11}) + \frac{3}{4} \vartheta(\tau; Q_{11}), \quad (11)$$

$$\vartheta(\tau; Q_{12}) - \vartheta(\tau; Q_{22}) = \frac{15}{4} E(\tau; Q_{11}) - \frac{15}{4} \vartheta(\tau; Q_{11}). \quad (12)$$

Сложив тождества (11) и (12), получим:

$$\vartheta(\tau; Q_{12}) = \frac{5}{2} E(\tau; Q_{11}) - \frac{3}{2} \vartheta(\tau; Q_{11}).$$

Приравняв коэффициенты при x^n в обеих частях этого тождества и приняв во внимание (6) и (7), получим:

$$\tau(n, Q_{12}) = 6 \sum_{d|n, 11 \nmid d} d - \frac{3}{2} \tau(n, Q_{11}),$$

откуда, в силу формулы (1),

$$\tau(n, Q_{12}) = 6 \sum_{d|n, 11 \nmid d} d - \frac{3}{2} \left(\frac{12}{5} \sum_{d|n, 11 \nmid d} d + \frac{8}{5} \sum_{\substack{x_1, x_2, x_3, x_4 \\ x_1^2 + x_2^2 + 11(x_3^2 + x_4^2) = 24n \\ x_1 \equiv x_2 \equiv x_3 \equiv x_4 \equiv 1 \pmod{6}}} \left(\frac{-1}{x_1 x_2 x_3 x_4} \right) \right). \quad (13)$$

Если из тождества (11) вычтем тождество (12), получим

$$\vartheta(\tau; Q_{22}) = -\frac{5}{4} E(\tau; Q_{11}) + \frac{9}{4} \vartheta(\tau; Q_{11}).$$

Отсюда, так же, как и выше,

$$\tau(n, Q_{22}) = -3 \sum_{d|n, 11 \nmid d} d + \frac{9}{4} \left(\frac{12}{5} \sum_{d|n, 11 \nmid d} d + \frac{8}{5} \sum_{\substack{x_1, x_2, x_3, x_4 \\ x_1^2 + x_2^2 + 11(x_3^2 + x_4^2) = 24n \\ x_1 \equiv x_2 \equiv x_3 \equiv x_4 \equiv 1 \pmod{6}}} \left(\frac{-1}{x_1 x_2 x_3 x_4} \right) \right). \quad (14)$$

Из (13) и (14) следует утверждаемое.



§ 3. Квадратичные формы типа $(-3, II, \chi)$

Теорема 2

$$\eta(n, Q_{12} \oplus Q_1) = \frac{1}{3} \left(11 \sum_{\delta d=n} \left(\frac{\delta}{11}\right) d^\ell - \sum_{d|n} \left(\frac{d}{11}\right) d^2 \right) - \frac{2}{15} \sum_{Q_1=n} (11x_1^2 - 6n),$$

$$\eta(n, Q_{22} \oplus Q_1) = \frac{1}{3} \left(11 \sum_{\delta d=n} \left(\frac{\delta}{11}\right) d^2 - \sum_{d|n} \left(\frac{d}{11}\right) d^2 \right) + \frac{7}{15} \sum_{Q_1=n} (11x_1^2 - 6n).$$

Доказательство. Нетрудно проверить, что квадратичные формы $Q_{11} \oplus Q_1$, $Q_{12} \oplus Q_1$, $Q_{22} \oplus Q_1$ являются квадратичными формами типа $(-3, II, \chi)$; здесь, в силу (3), $\chi = \chi(d) = \left(\frac{d}{11}\right)$ при $d > 0$. Следовательно, согласно лемме 2, функции

$$\Psi_3(\tau) = \mathcal{D}(\tau; Q_{12} \oplus Q_1) + \mathcal{D}(\tau; Q_{22} \oplus Q_1) - \frac{3}{4} E(\tau; Q_{11} \oplus Q_1) - \frac{5}{4} \mathcal{D}(\tau; Q_{11} \oplus Q_1)$$

и

$$\Psi_4(\tau) = \mathcal{D}(\tau; Q_{12} \oplus Q_1) - \mathcal{D}(\tau; Q_{22} \oplus Q_1) - \frac{5}{4} E(\tau; Q_{11} \oplus Q_1) + \frac{9}{4} \mathcal{D}(\tau; Q_{11} \oplus Q_1)$$

будут полными модулярными формами типа $(-3, II, \chi)$. Таким образом, в силу леммы 1, они будут тождественно равны нулю, если в их разложении по степеням τ , коэффициенты при τ^n равны нулю для всех $n \leq 3$.

Для всех трёх вышеперечисленных квадратичных форм имеем:

$K=3$, $\Delta=-11^2$, т.е. $q=11$ и $\ell=1$; в Э.Гекке (/1/, с. 828) показана, что $H_3(i1)=-3$. Таким образом, из (5) сле-

дует:

$$E(\tau; Q_{11} \oplus Q_1) = E(\tau; Q_{12} \oplus Q_1) = E(\tau; Q_{22} \oplus Q_1) = 1 + \frac{1}{3} \sum_{n=1}^{\infty} \left(11 \sum_{\delta d=n} \left(\frac{\delta}{11}\right) d^\ell - \sum_{d|n} \left(\frac{d}{11}\right) d^2 \right) \tau^n = 1 + \frac{10}{3} \tau + 1d\tau^2 + \frac{100}{3} \tau^3 + \dots \quad (15)$$

Известно (/3/, с. 168), что

$$\eta(n, Q_1) = \eta(2^a n, Q_1) = \begin{cases} \lambda \frac{2^a}{a!} \left(\frac{n}{2}\right) & \text{при } 2|n \\ 0 & \text{при } 2 \nmid n \end{cases}$$

Вычисляя по этой формуле значения $\chi(n, Q_1)$ при $n=1, 2, 3$, согласно (6), получим:

$$\vartheta(\tau; Q_{11} \oplus Q_1) = \vartheta(\tau; Q_{11}) \vartheta(\tau; Q_1) = 1 + 6x + 12x^2 + 20x^3 + \dots, \quad (16)$$

$$\vartheta(\tau; Q_{12} \oplus Q_1) = \vartheta(\tau; Q_{12}) \vartheta(\tau; Q_1) = 1 + 2x + 12x^2 + 40x^3 + \dots, \quad (17)$$

$$\vartheta(\tau; Q_{22} \oplus Q_1) = \vartheta(\tau; Q_{22}) \vartheta(\tau; Q_1) = 1 + 8x + 12x^2 + 10x^3 + \dots \quad (18)$$

Теперь, принимая во внимание (15) - (18), нетрудно проверить, что коэффициенты при x^n в разложениях функций $\Psi_3(\tau)$ и $\Psi_4(\tau)$ по степеням x равны нулю для всех $n \leq 3$. Итак, доказаны тождества:

$$\vartheta(\tau; Q_{12} \oplus Q_1) + \vartheta(\tau; Q_{22} \oplus Q_1) = \frac{3}{4} E(\tau; Q_{11} \oplus Q_1) + \frac{5}{4} \vartheta(\tau; Q_{11} \oplus Q_1), \quad (19)$$

$$\vartheta(\tau; Q_{12} \oplus Q_1) - \vartheta(\tau; Q_{22} \oplus Q_1) = \frac{2}{4} E(\tau; Q_{11} \oplus Q_1) - \frac{9}{4} \vartheta(\tau; Q_{11} \oplus Q_1). \quad (20)$$

Сложив эти тождества, получим:

$$\vartheta(\tau; Q_{12} \oplus Q_1) = \frac{3}{2} E(\tau; Q_{11} \oplus Q_1) - \frac{1}{2} \vartheta(\tau; Q_{11} \oplus Q_1).$$

Приравнявая коэффициенты при x^n в обеих частях этого тождества и применяя во внимание (6) и (15), получаем:

$$\chi(n, Q_{12} \oplus Q_1) = \frac{3}{2} \left\{ \frac{1}{3} \left(11 \sum_{\delta d=n} \binom{6}{11} d^2 - \sum_{d|n} \binom{d}{11} d^2 \right) \right\} - \frac{1}{2} \chi(n, Q_{11} \oplus Q_1),$$

откуда, в силу формулы (2),

$$\chi(n, Q_{12} \oplus Q_1) = \frac{2}{2} \left\{ \frac{1}{3} \left(11 \sum_{\delta d=n} \binom{6}{11} d^2 - \sum_{d|n} \binom{d}{11} d^2 \right) \right\} - \quad (21)$$

$$-\frac{1}{2} \left\{ \frac{1}{3} \left(11 \sum_{\delta d=n} \binom{6}{11} d^2 - \sum_{d|n} \binom{d}{11} d^2 \right) \right\} - \frac{2}{15} \sum_{Q_1=n} (11x_1^2 - cn).$$

Если из тождества (19) вычтем тождество (20), получим:

$$\vartheta(\tau; Q_{22} \oplus Q_1) = \frac{3}{4} E(\tau; Q_{11} \oplus Q_1) + \frac{7}{4} \vartheta(\tau; Q_{11} \oplus Q_1).$$



Օրոշման, թե՛ն թե, ինչն էլ ընտրենք.

$$\begin{aligned} r(n, Q_{22} \oplus Q_1) &= \frac{3}{4} \left\{ \frac{1}{3} \left(11 \sum_{\delta d=n} \left(\frac{\delta}{11} \right) d^2 - \sum_{d|n} \left(\frac{d}{11} \right) d^2 \right) \right\} + \\ &+ \frac{7}{4} \left\{ \frac{1}{3} \left(11 \sum_{\delta d=n} \left(\frac{\delta}{11} \right) d^2 - \sum_{d|n} \left(\frac{d}{11} \right) d^2 \right) \right\} + \frac{7}{15} \sum_{Q_1=n} (11x_1^2 - 6n). \end{aligned} \quad (22)$$

Ինչ (21) և (22) հետևում է պնդմանը.

Բնօրինակը Ա.Մ. 1992

Կաթոնր
ճլգեբրն և ցեոմեթրն

Լրերոտրր

1. E.Hecke, Analytische Arithmetik der positiven quadratischen Formen - In: Mathematische Werke, Zweite Auflage. - Göttingen: Vandenhoeck u. Ruprecht, 1970, S.789-918.
2. H.Petersson, Modulformen und quadratische Formen - Berlin: Springer, 1982.
3. Գ.Է.Լրկոսն, Երբնրն և տեորն շնոն. Երբնր և անգլրնկոն. - Ինքնոն: Կոն-նո ԱՊ ԻՄՍՐ, 1941.

Օ. Խննոնրնրն

(-2, 11, 1) թն (-2, 11, X) թնոն յարհնրնրն ցրննոն

հնննոն թնոնոնն թն. թնննոն.

հնննրն

Երնրնրն ցրննրնն թննրնրն հնննոնն (-2, 11, 1) թն (-2, 11, X) թնոնն ոհ-ոհն յարհնրնրն ցրննոն թննրնրննոնն թն-րննրննոնն.



Kh. Jashiashvili

ON THE REPRESENTATION OF INTEGERS BY QUADRATIC
FORMS OF TYPES $(-2, 11, 1)$ AND $(-3, 11, X)$

Summary

Formulae are obtained for the number of representations of positive integers by two quadratic forms of type $(-2, 11, 1)$ and two of type $(-3, 11, X)$.

ИСПРАВЛЕНИЕ К РАБОТЕ "О ЧИСЛЕ НЕПРОВОДИМЫХ ПРЕДСТАВЛЕНИЙ СИММЕТРИЧЕСКОЙ ГРУППЫ. II." ТРУДЫ ТГУ, 1989, т. 288,

46-59

Н. Д. Кочанов

В лемме 3 на стр. 48 величина G_1 должна иметь вид:

$$G_1 = (j-2)(j-3) \frac{4j^2}{3} x_1^{j-4} x_2 x_3 + (j-2)(x_1 x_2 + x_1 x_3 + x_2 x_3) x_4^{j-3} + 12 x_1 x_2 x_3 x_4^{j-2}$$

Ввиду этого на стр. 50 получим:

$$\varphi_{4 \dots 433} = \frac{1}{3 \cdot 17} x_1^4 x_4^2 - \frac{Q}{3 \cdot 17} (18 x_1^2 x_3^2 x_4^2 + 5 x_4^4) + \frac{6Q^2}{5 \cdot 17^2} (3 x_1^2 - 12 x_3 x_4 + 13 x_4^2) - \frac{72}{5 \cdot 17} Q^3$$

вместо функции $\varphi_{1 \dots 123}$ следует взять функцию

$$\varphi_{1 \dots 144} = x_1^4 x_4^2 - \frac{2Q^2}{3 \cdot 17} (x_1^4 + x_1^3 x_4 + 3 x_1^2 x_4^2) + \frac{2Q^2}{5 \cdot 17^2} (5 x_1^2 + 4 x_1 x_4 + x_4^2) - \frac{3Q^3}{5 \cdot 17^2}$$

Следовательно, на стр. 55 формула (12) примет вид:

$$\vartheta(x, Q, \varphi_{4 \dots 433}) = \frac{1}{15 \cdot 17^3} \sum_{n=1}^{\infty} \left(\sum_{Q=n} \left(73695 x_3^2 x_4^4 - 1445 n (18 x_1^2 x_3^2 x_4^2 - 12 x_3 x_4^3 + 5 x_4^4) + 306 n^2 (3 x_1^2 - 12 x_3 x_4 + 13 x_4^2) - 216 n^3 \right) \right)^n =$$



$$= \frac{36}{5 \cdot 17^3} x + \frac{17422}{5 \cdot 17^3} x^2 - \frac{8574}{5 \cdot 17^3} x^3 - \frac{25998}{5 \cdot 17^3} x^4 + \frac{64450}{5 \cdot 17^3} x^5 - \frac{402024}{5 \cdot 17^3} x^6 + \dots$$

$$+ \frac{1067870}{5 \cdot 17^3} x^7 - \frac{1299346}{5 \cdot 17^3} x^8 + \frac{1134744}{5 \cdot 17^3} x^9 - \frac{1394310}{5 \cdot 17^3} x^{10} + \dots$$

а в формуле (17) вместо разложения тета-ряда $\vartheta(x, Q^*, \varphi^*, \dots, 123)$ надо взять

$$\vartheta(x, Q^*, \varphi^*, \dots, 144) = \frac{1}{15 \cdot 17^3} \sum_{n=1}^{\infty} \left(\sum_{Q^2=n} 73695x^4 - 2890n(x_1^4 + 2x_1^3x_2 + 3x_1^2x_2^2) + 102n^2(5x_1^3 + 4x_1x_2 + x_2^2) - 9n^3 \right) x^n =$$

$$= \frac{1350}{15 \cdot 17^3} x^3 + \frac{600}{15 \cdot 17^3} x^5 + \frac{3120}{15 \cdot 17^3} x^8 + \frac{5584}{15 \cdot 17^3} x^9 + \frac{9980}{15 \cdot 17^3} x^{10} + \dots$$

На стр. 56 в теореме и в формуле (26) последний тета-ряд $\vartheta(x, Q^*, \varphi^*, \dots, 123)$ следует заменить тета-рядом $\vartheta(x, Q^*, \varphi^*, \dots, 144)$.

В результате этих исправлений все содержащееся на стр. 57 и 58 неверно и оно должно быть заменено следующим:

$$c_1 = \frac{35\ 642\ 140\ 826\ 895}{2^6 \cdot 13 \cdot 29\ 950\ 897 \cdot 121\ 141\ 729}, \quad c_2 = \frac{51\ 912\ 138\ 011\ 369}{2^5 \cdot 13 \cdot 29\ 950\ 897 \cdot 121\ 141\ 729},$$

$$c_3 = \frac{12\ 306\ 586\ 348\ 033}{2^5 \cdot 13 \cdot 29\ 950\ 897 \cdot 121\ 141\ 729}, \quad c_4 = \frac{4\ 829\ 929\ 719\ 312\ 877}{2^6 \cdot 13 \cdot 29\ 950\ 897 \cdot 121\ 141\ 729},$$

$$c_5 = \frac{25\ 065\ 000\ 012\ 865}{2^5 \cdot 29\ 950\ 897 \cdot 121\ 141\ 729},$$

$$c_6 = \frac{361\ 822\ 130\ 728\ 825\ 554\ 767\ 927}{2^8 \cdot 13 \cdot 17^2 \cdot 547 \cdot 29\ 950\ 897 \cdot 121\ 141\ 729},$$

$$c_7 = \frac{504\ 484\ 475\ 034\ 083\ 518\ 117\ 899}{2^7 \cdot 13 \cdot 17^2 \cdot 547 \cdot 29\ 950\ 897 \cdot 121\ 141\ 729},$$

$$c_8 = \frac{7\ 820\ 093\ 402\ 727\ 813\ 879\ 507}{2^5 \cdot 13 \cdot 17^2 \cdot 547 \cdot 29\ 950\ 897 \cdot 121\ 141\ 729}$$

$$c_9 = \frac{15 \cdot 58\ 689\ 602\ 654\ 444\ 245\ 753\ 703}{2^8 \cdot 13 \cdot 17^3 \cdot 547 \cdot 29\ 950\ 897 \cdot 121\ 141\ 729}$$

$$c_{10} = \frac{15 \cdot 31\ 803\ 685\ 229\ 979\ 508\ 608\ 701}{2^7 \cdot 13 \cdot 17^2 \cdot 547 \cdot 29\ 950\ 897 \cdot 121\ 141\ 729}$$

Приравнявая коэффициенты при x^{n+12} в обеих частях тождества (20) и принимая во внимание (8) - (19) и значения чисел c_1, c_2, \dots, c_{10} , получаем:

$$a_{17}(n) = \frac{1}{2 \cdot 29\ 950\ 897} \left\{ \sum_{d_1 d_2 = n+12} \left(\frac{d_1}{17} \right) d_2^7 - \right.$$

$$\frac{35\ 642\ 140\ 826\ 895}{2^5 \cdot 13 \cdot 17^3 \cdot 121\ 141\ 729} \sum_{Q=n+12} \left(4913x_1^6 - 10115(n+12)x_1^4 + 4958(n+12)^2 x_1^2 - 343(n+12)^3 \right) -$$

$$\frac{51\ 922\ 138\ 011\ 369}{2^4 \cdot 13 \cdot 17^3 \cdot 121\ 141\ 729} \sum_{Q=n+12} \left(4913x_2^6 - 8670(n+12)x_2^4 + 3672(n+12)^2 x_2^2 - 216(n+12)^3 \right) -$$

$$+ \frac{12\ 306\ 586\ 348\ 033}{2^4 \cdot 13 \cdot 17^3 \cdot 121\ 141\ 729} \sum_{Q=n+12} \left(4913x_3^6 - 7225(n+12)x_3^4 + 2550(n+12)^2 x_3^2 - 125(n+12)^3 \right) -$$

$$+ \frac{4\ 829\ 929\ 779\ 312\ 877}{2^5 \cdot 13 \cdot 17^3 \cdot 121\ 141\ 729} \sum_{Q=n+12} \left(4913x_4^6 - 4335(n+12)x_4^4 + 918(n+12)^2 x_4^2 - 27(n+12)^3 \right) -$$



$$\begin{aligned}
& + \frac{5\ 013\ 000\ 002\ 573}{2^2 \cdot 3 \cdot 17^2 \cdot 121 \cdot 141 \cdot 729} \sum_{Q=n+12} (70695 x_3^2 x_4^4 - 1445 (n+12) (18 x_3^2 x_4^2 - 12 x_3 x_4^2 + 5 x_4^2) + \\
& \quad + 306 (n+12)^2 (8 x_3^2 - 12 x_3 x_4 + 13 x_4^2) - 216 (n+12)^3) + \\
& - \frac{361\ 822\ 130\ 488\ 835\ 554\ 761\ 927}{2^7 \cdot 13 \cdot 17^5 \cdot 547 \cdot 121 \cdot 141 \cdot 729} \sum_{Q^*=n+12} (4913 x_7^6 - 1445 (n+12) x_7^4 + 102 (n+12)^2 x_7^2 - (n+12)^3) + \\
& + \frac{504\ 764\ 479\ 034\ 083\ 518\ 147\ 899}{2^6 \cdot 13 \cdot 17^5 \cdot 547 \cdot 121 \cdot 141 \cdot 729} \sum_{Q^*=n+12} (4913 x_9^6 - 1445 (n+12) x_9^4 + 102 (n+12)^2 x_9^2 - (n+12)^3) + \\
& + \frac{7\ 820\ 093\ 402\ 727\ 813\ 879\ 507}{2^4 \cdot 3 \cdot 17^5 \cdot 547 \cdot 121 \cdot 141 \cdot 729} \sum_{Q^*=n+12} (4913 x_4^6 - 2890 (n+12) x_4^4 + 408 (n+12)^2 x_4^2 - 8 (n+12)^3) - \\
& - \frac{58\ 689\ 602\ 654\ 414\ 245\ 753\ 403}{2^7 \cdot 13 \cdot 17^5 \cdot 547 \cdot 121 \cdot 141 \cdot 729} \sum_{Q^*=n+12} (73695 x_7^2 x_3^2 - 1445 (n+12) (x_7^4 + 6 x_7^2 x_3^2) + \\
& \quad + 51 (n+12)^2 (4 x_7^2 + 2 x_3^2) - 3 (n+12)^3) + \\
& + \frac{31\ 807\ 685\ 229\ 919\ 508\ 608\ 701}{2^6 \cdot 13 \cdot 17^5 \cdot 547 \cdot 121 \cdot 141 \cdot 729} \sum_{Q^*=n+12} (73695 x_7^2 x_4^2 - 2890 (n+12) (x_7^4 + 2 x_7^2 x_4^2 + 3 x_4^2 x_7^2) + \\
& \quad + 102 (n+12)^2 (5 x_7^2 + 4 x_7 x_4 + x_4^2) - 8 (n+12)^3) \}.
\end{aligned}$$

Поступила 10.V.1992

Кафедра алгебры и геометрии

Տ. Գրիգորյան

ՄԱՆՏԻՔԻ ԵՐԱՊԵՏՈՒԹՅԱՆ ԱԿԱԴՄԻԱ

Երևանի պետական համալսարանի Գեոմետրիայի և Ալգեբրայի Կադրերի Կենտրոնի Գիտությունների Կոնգրեսի, 1989, Թ. 258, 45-59.

ЗАДАЧА О РАСТЯЖЕНИИ И ИЗГИБЕ МОМЕНТАМИ ЕСТЕ-
СТВЕННО ЗАКРУЧЕННОГО КРУГОВОГО ИЗОТРОПНОГО ЦИЛИНДРА
С ПРОЦОНЫМИ ШЕЛЫМИ

К. В. Кахалა

В работе /3,4/ дан алгоритм решения задач теории упругости для тел, близких к цилиндрическим, позволяющий учитывать возмущение цилиндрических поверхностей лишь в граничных условиях.

В данной статье указанным способом дано решение задач растяжения и изгиба моментами для естественно закрученных однородных изотропных брусьев с поперечным сечением, представляющим собой круговую область с прямолинейными разрезами.

Пусть изотропное тело ограничено плоскостями $x_3 = 0$ и $x_3 = l$ ($l > 0$) и поверхностью, уравнения которой даны в виде

$$\begin{aligned}x_1 &= x_1^0(s) \cos \alpha - x_2^0(s) \sin \alpha, \\x_2 &= x_2^0(s) \cos \alpha + x_1^0(s) \sin \alpha, \\x_3 &= x_3^0(s),\end{aligned} \quad (I)$$

где s - дуговая абсцисса на кривой L границы области S ,

N. Kachakhidze



CORRECTION

to the paper "On the Number of irreducible Representations of a Sym-
metric Group. II", Proceedings of Tbilisi University, v.28⁶, 1989, 46-59.

ავ. ჯავახიშვილის სახელობის თბილისის სახელმწიფო

უნივერსიტეტის ბეჭდვა

311, 1993

УДК 539.31

ЗАДАЧА О РАСТЯЖЕНИИ И ИЗГИБЕ МОМЕНТАМИ ЕСТЕ-
 СТВЕННО ЗАКРУЧЕННОГО КРУТОВОГО ИЗОТРОПНОГО ЦИЛИНДРА
 С ПРОДОЛЬНЫМИ ЦЕЗИИ

К. В. Кахал

В работе [3,4] дан алгоритм решения задач теории упругости для тел, близких к цилиндрическим, позволяющий учитывать возмущение цилиндрических поверхностей лишь в граничных условиях.

В данной статье указанным способом дано решение задач растяжения и изгиба моментами для естественно закрученных однородных изотропных брусьев с поперечным сечением, представляющим собой круговую область с прямолинейными разрезами.

Пусть изотропное тело ограничено плоскостями $x_3 = 0$ и $x_3 = l$ ($l > 0$) и поверхностью, уравнения которой даны в виде

$$\begin{aligned} x_1 &= x_1^0(s) \cos \alpha - x_2^0(s) \sin \alpha, \\ x_2 &= x_2^0(s) \cos \alpha + x_1^0(s) \sin \alpha, \\ x_3 &= x_3^0, \end{aligned} \quad (I)$$

где s — дуговая абсцисса на кривой L границы области S ,



УДК 62-50
62-50.01.01.01

полученной сечением области Σ , занятой телом, плоскостью $x_3=0$, а $\alpha=\theta x_3$ - угол поворота поперечных сечений тела при равномерном закручивании тела, где θ - малый параметр.

Предполагается, что начало прямоугольной системы декартовых координат $Ox_1x_2x_3$ помещено в центре инерции основания тела при $x_3=0$ (назовем это основание нижним), а оси Ox_1 и Ox_2 направлены по главным осям инерции этого основания.

В рассматриваемых задачах боковая поверхность (I) свободна от нагрузки, поэтому будут иметь место следующие граничные условия

$$\tau_{k\gamma} \equiv \sum_{j=1}^3 \tau_{jk} n_j = 0 \quad (k=1,2,3) \quad (2)$$

в точках поверхности (I), а в области Σ , занятой телом, покомпонентные напряжения τ_{jk} и соответствующие им компоненты деформации e_{jk} должны удовлетворять следующим уравнениям равновесия и условиям совместности Сен-Венана:

$$\sum_{j=1}^3 \partial_j \tau_{jk} = 0 \quad (k=1,2,3), \quad (3)$$

$$\partial_i \partial_j e_{ij} = \partial_j (-\partial_i e_{ij} + \partial_i e_{ji} + \partial_j e_{ij}) \quad (i,j,\gamma=1,2,3), \quad (4)$$

где $\partial_\alpha \equiv \frac{\partial}{\partial x_\alpha}$ ($\alpha = 1,2,3$) обозначает оператор дифференцирования.

Будут рассматриваться только малые деформации. Тогда между компонентами деформаций и компонентами смещения u_α имеют место следующие зависимости:

$$e_{\alpha\beta} = \partial_\alpha u_\beta + \partial_\beta u_\alpha, \quad e_{i\gamma} = \partial_i u_\gamma \quad (\alpha \neq \beta, \alpha, \beta, \gamma = 1,2,3). \quad (5)$$

С торцевых условий будет сказано ниже.



Искомые компоненты напряжения представим в виде /4/

$$\tau_{\alpha\beta} = \sum_{\kappa=0}^N \theta^{\kappa} \tau_{\alpha\beta}^{(\kappa)}, \quad (6)$$

где θ - указанный малый параметр, $\tau_{\alpha\beta}^{(0)}$ - решение задач Сен-Венана для цилиндрического тела с "невозмущенной" боковой поверхностью, а $\tau_{\alpha\beta}^{(\kappa)}$ ($\kappa \geq 1$) - дополнительные напряжения, подлежащие определению.

Подстановкой выражения (6) в уравнения равновесия и граничные условия (2), как показано в работе /4/, искомые компоненты напряжения $\tau_{\alpha\beta}^{(\kappa)}$ должны удовлетворять следующим граничным условиям:

$$\begin{aligned} & \tau_{1\alpha}^{(\kappa)} n_{\alpha}^0 + \tau_{2\alpha}^{(\kappa)} n_{\alpha}^0 + \sum_{m=1}^{\kappa} \frac{1}{m!} \sum_{j=0}^m c_m^j \left\{ [x_1 \partial_2 - \right. \\ & \left. - x_2 \partial_1]^{(m-j)} \tau_{1\alpha} \frac{d^j n_1}{d\theta^j} + [x_1 \partial_2 - x_2 \partial_1]^{(m-j)} \tau_{2\alpha} \frac{d^j n_2}{d\theta^j} \right\} x_3^{m-j} + \\ & + \sum_{m=0}^{\kappa-1} \left\{ \frac{1}{m!} [x_1 \partial_2 - x_2 \partial_1]^{(m)} \tau_{\alpha\beta}^{(\kappa-m-1)} [n_1, \tau_2(\xi) - \right. \\ & \left. - n_2, \tau_1(\xi)] \right\}_{\theta=0} x_3^m = 0, \end{aligned} \quad (7)$$

где

$$[x_1 \partial_2 - x_2 \partial_1]^{(m)} \equiv \left[x_1 \frac{\partial}{\partial x_2} - x_2 \frac{\partial}{\partial x_1} \right]^{(m)}, \quad c_m^j = \frac{m!}{j!(m-j)!},$$

$$\frac{d^{2i+1} n_j}{d\theta^{2i+1}} = (-1)^{i+2-j} n_{3-j}^0 x_3^{2i+1}, \quad \frac{d^{2i} n_j}{d\theta^{2i}} = (-1)^i x_3^{2i} n_j^0,$$



π_j - косинусы нормали к поверхности (I), а π_j^0 - косинусы нормали к цилиндрической поверхности, параметрическое уравнение которой будет дано в виде

$$x_1 = x_1^0(s), \quad x_2 = x_2^0(s), \quad x_3 = x_3. \quad (8)$$

Итак, для определения компонентов напряжения $\tau_{\alpha\beta}^{(k)}$ ($k = 1, 2, \dots, N$) на первом этапе требуется определить компоненты напряжений $\tau_{\alpha\beta}^{(0)}$, т.е. решить задачи Сен-Венана для цилиндрических тел, ограниченных поверхностью (8).

Торцевые условия при $x_3 = 0$ имеют вид [2]

$$\iint_S \tau_{\alpha 3}^{(0)} ds - P_\alpha + \sum_{k=1}^N \theta^k \iint_S \tau_{\alpha 3}^{(k)} ds = 0, \quad (\alpha = 1, 2, 3),$$

$$\iint_S (x_1 \tau_{23}^{(0)} - x_2 \tau_{13}^{(0)}) ds - m_3 + \sum_{k=1}^N \theta^k \iint_S (x_1 \tau_{23}^{(k)} - x_2 \tau_{13}^{(k)}) ds = 0,$$

$$\iint_S x_2 \tau_{33}^{(0)} ds - m_1 + \sum_{k=1}^N \theta^k \iint_S x_2 \tau_{33}^{(k)} ds = 0,$$

$$\iint_S x_1 \tau_{33}^{(0)} ds + m_2 + \sum_{k=1}^N \theta^k \iint_S x_1 \tau_{33}^{(k)} ds = 0,$$

где P_3 и P_1, P_2 - продольные и поперечные силы, приложенные в произвольной точке основания при $x_3 = 0$, а m_3 и m_1, m_2 - крутящие и изгибающие моменты.

Искомые компоненты напряжения $\tau_{\alpha\beta}^{(k)}$ ($k = 1, 2, \dots, N$) должны быть представлены в виде [2]



$$\tau_{\alpha\beta}^{(K)} = \left(\tau_{\alpha\beta}^{(K)}\right)^a + \left(\tau_{\alpha\beta}^{(K)}\right)^s,$$

где $\left(\tau_{\alpha\beta}^{(K)}\right)^a$ - решение задач Альманзи с заданными правыми частями, а $\left(\tau_{\alpha\beta}^{(K)}\right)^s$ - решение задач Сен-Венана с торцевыми условиями (при $x_3 = 0$)

$$\iint_S \left(\tau_{\alpha 3}^{(K)}\right)^s ds = - \iint_S \left(\tau_{\alpha 3}^{(K)}\right)^a ds \quad (\alpha = 1, 2, 3).$$

$$\iint_S \left[x_1 \left(\tau_{23}^{(K)}\right)^s - x_2 \left(\tau_{13}^{(K)}\right)^s \right] ds = - \iint_S \left[x_1 \left(\tau_{23}^{(K)}\right)^a - x_2 \left(\tau_{13}^{(K)}\right)^a \right] ds,$$

$$\iint_S x_\beta \left(\tau_{33}^{(K)}\right)^s ds = \iint_S x_\beta \left(\tau_{33}^{(K)}\right)^a ds \quad (\beta = 1, 2, \dots).$$

Рассмотрим изотропный, естественно закрученный круговой цилиндр высотой l и радиусом R . Пусть рассматриваемое тело имеет продольные щели, образующие которых параллельны оси Ox_3 , начало системы координат Ox_1, x_2, x_3 помещено в нижнем основании тела в центре круга, а прямолинейные щели расположены в плоскости x_1, Ox_3 .

Нормальное сечение естественно закрученного кругового цилиндра со щелями будет представлять собой круговую область с прямолинейными разрезами, соответствующими щелям, расположенным вдоль диаметра, не выходящими на внешнюю круговую границу

Обозначим разрезы через $\gamma_1, \gamma_2, \dots, \gamma_q$, где q - натуральное число, а γ_i - величина, заданных на верхнем и нижнем краях разрезов, будут связаны дополнительно $+$ - соответственно.

Пусть в нижнем основании тела при $x_3 = 0$ приложены про-



дольные силы, главный вектор которых P приложен в центре инерции и направлен параллельно оси Ox_3 и, кроме того, изгибающие пары с моментами m_1 и m_2 .

Тогда для компонентов напряжения $\tau_{\alpha\beta}^{(0)}$ будет иметь следующие выражения / 2 /:

$$\tau_{\alpha\beta}^{(0)} = 0, \quad \tau_{33}^{(0)} = (\alpha_0^* + \alpha_1^* x_1 + \alpha_2^* x_2) E \quad (9)$$

где постоянные α_j^* принимают значения

$$\alpha_0^* = -P(Y_{33})^{-1}, \quad \alpha_1^* = m_2(Y_{11})^{-1}, \quad \alpha_2^* = -m_1(Y_{22})^{-1},$$

$$Y_{11} = E \int_S x_1^2 ds, \quad Y_{22} = E \int_S x_2^2 ds, \quad Y_{33} = E \int_S ds = E S^*.$$

Учитывая (9), граничные условия (4) для $k=1$ примут

вид

$$\tau_{n\alpha}^{(1)} = 0, \quad \tau_{n3}^{(1)} = g(s) \quad (\alpha=1, 2), \quad (10)$$

где

$$\tau_{n\alpha}^{(1)} \equiv \tau_{1\alpha}^{(1)} n_1^0 + \tau_{2\alpha}^{(1)} n_2^0 \quad (\alpha=1, 2, 3),$$

$$g(s) = [(\alpha_1^* x_1^2 + \alpha_2^* x_1 x_2 + \alpha_0^* x_1) n_2^0 - (\alpha_1^* x_1 x_2 + \alpha_2^* x_2^2 + \alpha_0^* x_2) n_1^0] E. \quad (11)$$

Очевидно, что главный вектор усилий $g(s)$ равен нулю и поэтому $\tau_{\alpha\beta}^{(1)}$ будет представлять собой решение антиплоской задачи / 2 /.

Тогда можем написать / 2 /

$$\tau_{\alpha\beta}^{(1)} = 0, \quad \tau_{33}^{(1)} = 0, \quad \tau_{\alpha 3}^{(1)} = \mu \partial_\alpha X_* \quad (\alpha, \beta=1, 2), \quad (12)$$

где гармоническая функция X_* является решением граничной задачи Боймана



$$\partial_n \chi_* \equiv \partial_1 \chi_* n_1^0 + \partial_2 \chi_* n_2^0 = \frac{1}{\mu} g_0(s)$$

в точках контура γ_0 .

$$(\partial_n \chi_*)_{\kappa}^{\pm} = \frac{1}{\mu} g_{\kappa}^{\pm}(s) \quad (\kappa = 1, 2, \dots, q) \quad (14)$$

в точках контура γ_{κ} , где g_0 и g_{κ}^{\pm} - значения функции $g(s)$ (см. (II)) на контуре γ_0 и в точках разреза γ_{κ} с номером κ , взятых соответственно для краев $\tau_2 > 0$ (g_{κ}^+) и $\tau_2 < 0$ (g_{κ}^-).

Вместо функции χ_* введем сопряженную к ней гармоническую функцию $\chi(x_1, x_2)$, определенную условиями Коши-Римана

$$\partial_1 \chi = \partial_2 \chi_*, \quad \partial_2 \chi = -\partial_1 \chi_*$$

Учитывая, что

$$n_1^0 = \frac{\partial x_2}{\partial s}, \quad n_2^0 = \frac{\partial x_1}{\partial s},$$

можем написать

$$\partial_n \chi_* \equiv \frac{\partial \chi_*}{\partial n} = \frac{\partial \chi}{\partial s} \equiv \partial_s \chi.$$

Тогда, согласно выражениям (13) и (14), для введенной функции χ получим следующие граничные условия:

$$\begin{aligned} \chi^+ &= \frac{1}{\mu} \int_C^s g_0(s) ds && \text{на окружности } \gamma_0, \\ (\chi^{\pm})_{\kappa} &= \frac{1}{\mu} \int_{s_{\kappa}}^s g_{\kappa}^{\pm}(s) ds && \text{на разрезах } \gamma_{\kappa}, \end{aligned} \quad (15)$$

где действительные постоянные C_{κ} подлежат определению, а s_{κ} - произвольная точка на разрезе γ_{κ} .

Обозначим разрез γ_k соответственно $a_k b_k$ где $a_1 < b_1 < a_2 < b_2 < \dots < a_g < b_g$. Тогда граничную задачу для функции $X(x_1, x_2)$ можно свести на плоскости комплексной переменной $z = x_1 + ix_2$ к следующей граничной задаче: найти кусочно-голоморфную функцию $F(z) = X(x_1, x_2) + iX_*(x_1, x_2)$, почти ограниченную вблизи концов разрезов $a_k b_k$, по заданным граничным условиям

$$\operatorname{Re} F(z) = f_0(t), \quad t \in \gamma_0, \quad [\operatorname{Re} F(z)]_k^\pm = f_k^\pm(t) + C_k, \quad t \in \gamma_k, \\ (k = 1, 2, \dots, g; \quad t = x_1(s) + ix_2(s)),$$

где

$$2\pi f_0 = \int_0^s g_0 ds, \quad \mu f_k^\pm(t) = \int_{a_k}^t g_k^\pm dt \quad (16)$$

удовлетворяют условию Гельдера.

Почти ограниченной функцией вблизи узла p называется функция $\varphi(z)$, удовлетворяющая условию $\lim_{|z-p| \rightarrow 0} |z-p|^\epsilon \varphi(z) = 0$ для любого $\epsilon > 0$.

Приведем решение этой граничной задачи, данной Г.А.Кутателадзе (см. /2/, стр.72).

Введем новую функцию $\Phi(z)$, определенную равенствами

$$\Phi(z) = F(z) + \Phi_0(z), \quad z \in S^+, \\ \Phi(z) = -F\left(\frac{R^2}{\bar{z}}\right) + \Phi_0(z), \quad z \in S^-, \quad (17)$$

где

$$\Phi_0(z) = \frac{1}{2\pi i} \int_{\gamma_0} \frac{f_0(t) dt}{t-z} - \frac{1}{4\pi i} \int_{\gamma_0} \frac{f_0(t) dt}{z} \quad (18)$$



Через S^+ обозначена круговая область с разрезами, ограниченная окружностью γ_0 , а через S^- - внешняя по отношению к γ_0 бесконечная область.

Пусть γ_k^* обозначают разрезы вдоль действительной оси, являющиеся инверсиями разрезов γ_k относительно окружности γ_0 . Тогда рассматриваемая задача для $\varphi(z)$ сводится к следующей граничной задаче.

Найти функцию $\varphi(z)$, голоморфную в бесконечной плоскости с разрезами $\gamma_k + \gamma_k^*$ ($k = 1, 2, \dots, q$), по граничным условиям:

$$[\varphi(t) + \overline{\varphi(t)}]_k = \begin{cases} g_k^+(t), & t \in \gamma_k \\ -g_k^+(t), & t \in \gamma_k^* \end{cases} \quad (19)$$

где

$$g_k^{\pm}(t) = 2f_k^{\pm}(t) + 2c_k - 2[\varphi_0(t) + \overline{\varphi_0(t)}]_k^{\pm} \quad (20)$$

Решение этой задачи имеет вид / I /

$$\varphi(z) = \sum_{k=1}^q \frac{1}{2\pi i} \int_{\gamma_k} [f_k^+(t) - f_k^-(t)] \left(\frac{1}{t-z} + \frac{z}{tz-R^2} \right) dt + \tilde{\chi}(z) \int_{\gamma_k} \frac{g_k(t)}{\tilde{\chi}^+(t)} \left[\frac{1}{t-z} - \frac{t^{2q+1} R^{2-2q}}{tz-R^2} \right] dt \quad (21)$$

при соблюдении условий

$$\sum_{k=1}^q \frac{1}{\pi i} \int_{\gamma_k} \frac{g_k(t)}{\tilde{\chi}^+(t)} \left[t^j + \frac{t^{2q-j-2}}{R^{2q-2j-2}} \right] dt = 0, \quad (22)$$

где

$$\tilde{\chi}(z) = \prod_{j=1}^q \left[(z-a_j)(z-b_j) \left(z - \frac{R^2}{a_j} \right) \left(z - \frac{R^2}{b_j} \right) \right]^{1/2}, \quad (23)$$

$$g_k(t) = g_k^+(t) + g_k^-(t) \quad (k=1, 2, \dots, q).$$

Здесь подразумевается та ветвь, при которой

$$\lim_{z \rightarrow \infty} z^{-q} \tilde{\chi}(z) = 1.$$

Если подставить в условия (15) значение $g_k(t)$, то получим систему алгебраических уравнений относительно постоянных c_1, c_2, \dots, c_q , которая всегда однозначно разрешима / 1 /.

Вычислим в явном виде функции $f_k(t)$ и $g_k(t)$, входящие в выражения (15) - (20). Примем во внимание, что на разрезах вдоль оси Ox_1 , $x_2 = 0$ и $n_1 = 0$, на верхнем крае разреза $n_2^0 = +1$, а на нижнем $n_2^0 = -1$. Кроме того, если рассмотреть полярные координаты на окружности γ_0 радиуса R , будем иметь

$$x_1 = R \cos \theta, \quad x_2 = R \sin \theta, \quad n_1^0 = \cos \theta, \quad n_2^0 = \sin \theta.$$

Поэтому для функции $g(s)$ (см. (11)) получим следующие граничные значения (на γ_0 произвольную постоянную интегрирования можем взять равной нулю):

$$g_0^{\pm}(s) = g(s) = 0 \quad \text{на окружности } \gamma_0, \quad (24)$$

$$g_k^{\pm}(s) = \pm (a_1^* x_1^2 + a_0^* x_2) E \quad \text{на разрезах } \gamma_k.$$

Учитывая граничные значения (24), можем написать (см. (16) и (19))

$$f_0(t) = 0, \quad \Phi_0(t) = 0, \quad (25)$$

$$\mu_{\pm}^{\pm}(t) = \pm E \left[\frac{1}{3} a_1^* (t^3 - a_1^3) + \frac{1}{2} a_0^* (t^2 - a_k^2) \right].$$

Тогда граничные функции $g_k^{\pm}(t)$, определенные равенствами (20), примут следующий вид:



$$g_K^{\pm}(t) = \pm \frac{2E}{\mu} \left[\frac{1}{3} a_1^* (t^3 - a_K^3) + \frac{1}{2} a_0^* (t^2 - a_K^2) \right] + 2c_K$$

и, как легко видеть, будем иметь (см. (23))

$$g_K(t) = 4c_K \quad (\kappa = 1, 2, \dots, q). \quad (27)$$

Подставив значения $g_K(t)$ в условия (22), получим систему алгебраических уравнений относительно постоянных c_1, c_2, \dots, c_q

в следующем виде:

$$\sum_{\kappa=1}^q \beta_{j\kappa} c_{\kappa} = 0 \quad (j=0, 1, 2, \dots, q-1), \quad (28)$$

где

$$\beta_{j\kappa} = \frac{1}{\mathcal{D}_i} \int_{\gamma_K} \frac{\left[t^j + \frac{t^{2q-j-2}}{R^{2q-2j-2}} \right] dt}{\prod_{\alpha=1}^q \left[(t-a_{\alpha})(t-b_{\alpha}) \left(t - \frac{R^2}{a_{\alpha}} \right) \left(t - \frac{R^2}{b_{\alpha}} \right) \right]^{1/2}}$$

Определитель системы (28), как показано в / I /, отличен от нуля, т.е. однородная система алгебраических уравнений (28) имеет тривиальное решение

$$c_1 = c_2 = \dots = c_q = 0.$$

Таким образом, функции $g_K(t)$ тождественно равны нулю и условия существования решения задачи (19) выполнены автоматически.

Функция $\Phi(t)$, определенная равенством (21), будет на равенством

$$\Phi(z) = \sum_{\kappa=1}^q \frac{1}{2\pi i} \left\{ \int_{\gamma_K} \frac{2E}{\mu} \left[\frac{1}{3} a_1^* (t^3 - a_K^3) + \frac{1}{2} a_0^* (t^2 - a_K^2) \right] \left(\frac{1}{1-z} + \frac{z}{tz - R^2} \right) dt \right\}. \quad (29)$$

Вычислив интегралы, входящие в (29), можно выписать левое выражение для функции

$$\begin{aligned} \Phi(z) = & \frac{E}{\mu \Omega^2 i} \sum_{k=1}^q \left\{ \frac{2}{9} a_1^* (b_k^* - a_k^3) + \frac{1}{2} a_0^* (b_k^2 - a_k^2) + \right. \\ & + \left[\frac{i}{6} a_1^* (b_k^2 - a_k^2) + \frac{1}{2} a_0^* (b_k - a_k) \right] z + \frac{1}{3} a_1^* (b_k - a_k) z^2 - \\ & - \left(\frac{1}{3} a_1^* a_k^3 + \frac{1}{2} a_0^* a_k^2 \right) \ln \frac{(b_k - z)(b_k z - R^2)}{(a_k - z)(a_k z - R^2)} + \\ & + \left[\frac{i}{6} a_1^* (b_k^2 - a_k^2) + \frac{1}{2} a_0^* (b_k - a_k) \right] \frac{R^2}{z} + \frac{1}{3} a_1^* (b_k - a_k) \frac{R^4}{z^2} + \\ & + \left(\frac{i}{3} a_1^* z^3 + \frac{1}{2} a_0^* z^2 \right) \ln \frac{b_k - z}{a_k - z} + \left(\frac{1}{3} a_1^* \frac{R^6}{z^3} + \right. \\ & \left. + \frac{1}{2} a_0^* \frac{R^4}{z^2} \right) \ln \frac{b_k z - R^2}{a_k z - R^2} \Big\}. \end{aligned}$$

Из выражения (17) получим

$$F^*(z) = \Phi(z), \quad z \in S^+$$

Здесь принято $\mathcal{C}_r(z) = 0$ (см. (25)).

Таким образом, если учесть, что $\chi = \operatorname{Re} F(z)$, рассматриваемая в данной работе задача решена и решение представлено в явном виде.

Поступила 2.IV.1992.

Кафедра
теоретической механики



Литература

1. Н.И.Мухомишвили. Сингулярные интегральные уравнения. - М., Наука, 1968- 511 с.
2. Г.М.Хатиашвили. Задачи Альманзи-Мичелла для однородных и составных тел. - Тбилиси. Мецниереба, 1983. - 236 с.
3. Г.М.Хатиашвили, К.В.Кахая. О деформации цилиндрических тел со слабой изогнутой осью. - Труды ВЦ АН ГССР, Т.ХХ:1.- С. 104-115.
4. К.В.Кахая. О задачах Сен-Венана для однородных естественно закрученных изогнутых брусьев. - Труды ВЦ АН ГССР, 1960, Т.ХХ:1. - С.116-125.

კავშირით

საქართველოს საბჭოთაო სოციალური რევოლუციის ხელისუფლების მხარეში
დასრულებული მუშაობის შესახებ და შედეგების შესახებ

რეზიუმე

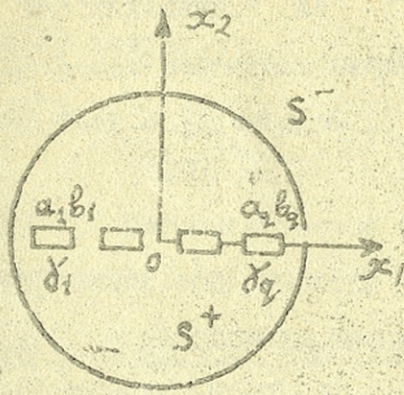
აღნიშნულია ტექნიკურად დატვირთული ძეგლის კრძალის ძალით
დატვირთვისა და მდგრადობის უზრუნველყოფის ამოცანა, რეგულაციის ძეგლის გამო-
ვით კვლევა ნარეზობების დამატებით დასრულებულ ტარისგამოღებულ ფორმების
მიხედვით ხდება.

K. Kakhaya

PROBLEMS OF EXTENSION AND BENDING WITH A COUPLE
OF NATURALLY TWISTED CIRCULAR ISOTROPIC
BEAM WITH LONGITUDINAL CUTS

Summary

The problems of extension by longitudinal force and bending due to a couple of forces of a naturally twisted beam are solved when the cross-section of a body represents a circular area with cuts along the diameter of the circle.



ՔՐԸ.

Труды Тбилисского государственного университета
им. В.Джавахидзе

საბჭოთავო უნივერსიტეტის
საბუნებისმეტყველო მეცნიერებების
ფაკულტეტის შრომები
314, 1993

УДК 593.31

ВТОРИЧНЫЙ ЭФФЕКТ ПРИ РАСТЯЖЕНИИ ЕСТЕСТВЕННО
ЗАКРУЧЕННОГО ОДНОРОДНОГО АНИЗОТРОПНОГО ТЕЛА
В ГЕОМЕТРИЧЕСКОЙ НЕЛИНЕЙНОЙ ПОСТАНОВКЕ

М. И. Кеверашвили

Рассмотрим в декартовой прямоугольной системе координат $Ox_1Ox_2Ox_3$ естественно закрученное однородное анизотропное тело¹, боковая поверхность которого свободна от внешних напряжений, а на свободном ($S_1 = \ell$) основании действующие усилия статически эквивалентны растягивающей силе P , приложенной к центру инерции указанного основания и направленной параллельно оси Ox_1 .

Смещения и углы поворота считаем не настолько малыми, чтобы можно было пренебречь нелинейными членами в компонентах деформации, но при этом напряжения в теле не превосходят предела пропорциональности, т.е. задачу решаем в геометрически нелинейной постановке.

Определение такого тела дано в работе / 1 /.

Обозначим поперечное сечение такого недеформированного тела через S , а его границу - через L .

Произведем замену координат:

$$\xi = \xi_1 - \kappa \eta_1 \xi_1, \quad \eta = \eta_1 + \kappa \xi_1 \eta_1, \quad \zeta = \zeta_1. \quad (1)$$

тогда в системе ξ, η, ζ рассматриваемое тело переходит в призматическое, с ограниченной поверхностью $F(\xi, \eta) = 0$.

Если x, y, z - координаты точки тела после деформации, тогда ее же координаты ξ, η, ζ до деформации можно записать в виде:

$$x = \xi + u, \quad y = \eta + v, \quad z = \zeta + w,$$

где u, v, w - компоненты вектора смещения.

Связь между производными по координатам ξ, η, ζ и x, y, z с точностью до κ^2 , дана в работе [2].

Как известно, формулы для компонентов деформации в координатах конечного состояния в нелинейной теории имеют вид:

$$\epsilon_x = \frac{\partial u}{\partial x} - \frac{1}{2} \left[\left(\frac{\partial u}{\partial x} \right)^2 + \left(\frac{\partial v}{\partial x} \right)^2 + \left(\frac{\partial w}{\partial x} \right)^2 \right],$$

(2)

$$\epsilon_{yz} = \frac{1}{2} \left(\frac{\partial v}{\partial z} + \frac{\partial w}{\partial y} \right) - \frac{1}{2} \left(\frac{\partial u}{\partial y} \frac{\partial u}{\partial z} + \frac{\partial v}{\partial y} \frac{\partial v}{\partial z} + \frac{\partial w}{\partial y} \frac{\partial w}{\partial z} \right).$$

Решение задачи в смещениях будем искать в следующем виде:

$$\begin{aligned} u &= -\alpha (\sigma_{13} \xi + \frac{1}{2} \sigma_{33} \eta) + \alpha \kappa u_1 + \alpha^2 u_2 + \alpha^3 \kappa u_3, \\ v &= -\alpha (\sigma_{23} \eta + \frac{1}{2} \sigma_{33} \xi) + \alpha \kappa v_1 + \alpha^2 v_2 + \alpha^3 \kappa v_3, \\ w &= \alpha \zeta + \alpha \kappa w_1 + \alpha^2 w_2 + \alpha^3 \kappa w_3, \end{aligned} \quad (3)$$



где $\alpha = P/ES$ - постоянная, σ_i ($i = 1, 2, 3$) - упругие константы, u_1, v_1, w_1 и u_2, v_2, w_2 - известные компоненты смещения /3, 4/, а u_3, v_3, w_3 - искомые дополнительные компоненты смещения, выражающие вторичные эффекты при растяжении рассматриваемого тела, т.е. ряды будем производить по членам порядка $\alpha^2 k$.

Компоненты деформации, соответствующие смещениям (3), с учетом (2) с точностью по $\alpha^2 k$ принимают вид:

$$\epsilon_x = -\alpha \sigma_1 + \alpha k \left(\epsilon_x^{(0)} - \frac{1}{2} 5 \sigma_3 \right) + \alpha^2 \left[\epsilon_x^{(2)} - \frac{3}{8} (4 \sigma_1^2 + \sigma_3^2) \right] + \alpha^2 k \left[\epsilon_x^{(0)} - 5 \sigma_3 (\sigma_1 + \sigma_2) \right],$$

$$\epsilon_y = -\alpha \sigma_2 + \alpha k \left(\epsilon_y^{(0)} + \frac{1}{2} 5 \sigma_3 \right) + \alpha^2 \left[\epsilon_y^{(2)} - \frac{3}{8} (4 \sigma_2^2 + \sigma_3^2) \right] + \alpha^2 k \left[\epsilon_y^{(0)} + 5 \sigma_3 (\sigma_1 + \sigma_2) \right],$$

$$\epsilon_z = \alpha + \alpha k \epsilon_z^{(0)} + \alpha^2 \left(\epsilon_z^{(2)} - \frac{3}{2} \right) + \alpha^2 k \epsilon_z^{(0)},$$

$$\epsilon_{xy} = -\frac{1}{2} \alpha \sigma_3 + \alpha k \left[\epsilon_{xy}^{(0)} + \frac{1}{2} 5 (\sigma_1 - \sigma_2) \right] + \alpha^2 \left[\epsilon_{xy}^{(2)} - \frac{3}{4} (\sigma_1 + \sigma_2) \sigma_3 \right] + \alpha^2 k \left[\epsilon_{xy}^{(0)} + 5 (\sigma_1^2 - \sigma_2^2) \right], \quad (4)$$

$$\epsilon_{xz} = \alpha k \left[\epsilon_{xz}^{(0)} + \frac{1}{2} (\eta \sigma_1 - \frac{1}{2} \sigma_3 \xi) \right] + \alpha^2 \epsilon_{xz}^{(2)} + \alpha^2 k \left[\epsilon_{xz}^{(0)} + \frac{1}{2} \eta (\sigma_1 - 1) + \frac{1}{4} \sigma_3 (\eta \sigma_3 - 2 \xi \sigma_2 + \xi - 2 \sigma_1 \xi) \right],$$

$$\epsilon_{yz} = \alpha k \left[\epsilon_{yz}^{(0)} + \frac{1}{2} \left(\frac{1}{2} \sigma_3 \eta - \xi \sigma_2 \right) \right] + \alpha^2 \epsilon_{yz}^{(2)} + \alpha^2 k \left[\epsilon_{yz}^{(0)} - \frac{1}{2} \xi \sigma_3 (\sigma_2 - 1) + \frac{1}{4} \sigma_3 (-\xi \sigma_3 + 2 \eta \sigma_2 - \eta + 2 \sigma_1 \eta) \right],$$

где

$$\epsilon_x^{(0)} = \frac{\partial u_1}{\partial x}, \quad \epsilon_y^{(0)} = \frac{\partial v_1}{\partial y}, \quad \epsilon_z^{(0)} = \frac{\partial w_1}{\partial z}, \quad \epsilon_{xy}^{(0)} = \frac{1}{2} \left(\frac{\partial u_1}{\partial y} + \frac{\partial v_1}{\partial x} \right),$$

$$\epsilon_{xz}^{(0)} = \frac{1}{2} \left(\frac{\partial u_1}{\partial z} + \frac{\partial w_1}{\partial x} \right), \quad \epsilon_{yz}^{(0)} = \frac{1}{2} \left(\frac{\partial v_1}{\partial z} + \frac{\partial w_1}{\partial y} \right) \quad (i=1, 2, 3)$$

По результатам работ / 3 / и / 4 / компоненты напряжений, соответствующие смещениям u_j, v_j, w_j ($j = 1, 2$), соответственно равны:

$$\begin{aligned} \sigma_x^{(1)} &= [Q(\epsilon_2 - \epsilon_1) - \frac{1}{2}\epsilon_3(H-A)]/\zeta, & \sigma_y^{(1)} &= [R(\epsilon_2 - \epsilon_1) - \frac{1}{2}\epsilon_3(B-H)]/\zeta, \\ \sigma_z^{(1)} &= [T(\epsilon_2 - \epsilon_1) - \frac{1}{2}\epsilon_3(F-G)]/\zeta, & \tau_{xy}^{(1)} &= [D(\epsilon_2 - \epsilon_1) - \frac{1}{2}\epsilon_3(R-Q)]/\zeta, \\ \tau_{xz}^{(1)} &= (N\epsilon_2 + \frac{1}{2}M\epsilon_3)\xi - (M\epsilon_1 + \frac{1}{2}N\epsilon_3 - E)\eta, \\ \tau_{yz}^{(1)} &= (L\epsilon_2 + \frac{1}{2}N\epsilon_3 - E)\xi - (N\epsilon_1 + \frac{1}{2}L\epsilon_3)\eta. \end{aligned} \quad (5)$$

$$\sigma_x^{(2)} = \frac{3}{2} \left[A(\epsilon_1^2 + \frac{1}{4}\epsilon_3^2) + H(\epsilon_2^2 + \frac{1}{4}\epsilon_3^2) + G + Q(\epsilon_1 + \epsilon_2)\epsilon_3 \right],$$

$$\sigma_y^{(2)} = \frac{3}{2} \left[H(\epsilon_1^2 + \frac{1}{4}\epsilon_3^2) + B(\epsilon_2^2 + \frac{1}{4}\epsilon_3^2) + F + R(\epsilon_1 + \epsilon_2)\epsilon_3 \right],$$

$$\sigma_z^{(2)} = \frac{3}{2} \left[G(\epsilon_1^2 + \frac{1}{4}\epsilon_3^2) + F(\epsilon_2^2 + \frac{1}{4}\epsilon_3^2) + C + T(\epsilon_1 + \epsilon_2)\epsilon_3 \right],$$

$$\tau_{xy}^{(2)} = \frac{3}{2} \left[Q(\epsilon_1^2 + \frac{1}{4}\epsilon_3^2) + R(\epsilon_2^2 + \frac{1}{4}\epsilon_3^2) + T + D(\epsilon_1 + \epsilon_2)\epsilon_3 \right],$$

$$\tau_{xz}^{(2)} = 0, \quad \tau_{yz}^{(2)} = 0,$$

где A, B, \dots, R, T - упругие постоянные.

Используя значения компонентов напряжений (5), для компонентов напряжений, соответствующих деформациям (4), получим:

$$\sigma_x = \alpha^2 \alpha_x \left\{ \sigma_x^{(1)} - \zeta(\epsilon_1 - \epsilon_2) \left[\epsilon_3(H-A) - 2Q(\epsilon_1 - \epsilon_2) \right] \right\},$$

$$\sigma_y = \alpha^2 \alpha_y \left\{ \sigma_y^{(1)} - \zeta(\epsilon_1 + \epsilon_2) \left[\epsilon_3(H-B) - 2R(\epsilon_1 - \epsilon_2) \right] \right\}.$$



$$\sigma_x = \alpha E + \alpha^2 k \left\{ \sigma_x^{(3)} - 5(\sigma_1 + \sigma_2) [\sigma_3(G-F) - 2T(\sigma_1 - \sigma_2)] \right\},$$

$$\tau_{xy} = \alpha^2 k \left\{ \tau_{xy}^{(3)} - 5(\sigma_1 + \sigma_2) [\sigma_3(Q-R) - 2D(\sigma_1 - \sigma_2)] \right\},$$

$$\begin{aligned} \tau_{xz} = \alpha k E \eta + \alpha^2 k \left\{ \tau_{xz}^{(3)} + N[\xi \sigma_3(1 - 2\sigma_2) + \frac{1}{2} \sigma_3(2\eta \sigma_2 - \xi \sigma_3 + \right. \\ \left. + 2\sigma_1 \eta - \eta)] + M[\eta \sigma_1(2\sigma_1 - 1) + \frac{1}{2} \sigma_3(\eta \sigma_3 - 2\xi \sigma_2 + \xi - 2\sigma_1 \xi)] \right\}, \end{aligned} \quad (6)$$

$$\begin{aligned} \tau_{yz} = -\alpha k E \xi + \alpha^2 k \left\{ \tau_{yz}^{(3)} + L[\xi \sigma_3(1 - 2\sigma_2) + \frac{1}{2} \sigma_3(2\eta \sigma_2 - \xi \sigma_3 + \right. \\ \left. + 2\sigma_1 \eta - \eta)] + N[\eta \sigma_1(2\sigma_1 - 1) + \frac{1}{2} \sigma_3(\eta \sigma_3 - 2\xi \sigma_2 + \xi - 2\sigma_1 \xi)] \right\}, \end{aligned}$$

где $\sigma_x^{(3)}, \sigma_y^{(3)}, \dots, \tau_{yz}^{(3)}$ — покомые дополнительные компоненты напряжений, соответствующие смещениям u_3, v_3, w_3

Уравнения равновесия рассматриваемого тела примут вид:

$$\begin{aligned} \frac{\partial \sigma_x^{(3)}}{\partial x} + \frac{\partial \tau_{xy}^{(3)}}{\partial y} + \frac{\partial \tau_{xz}^{(3)}}{\partial z} = 0, \quad \frac{\partial \tau_{xy}^{(3)}}{\partial x} + \frac{\partial \sigma_y^{(3)}}{\partial y} + \frac{\partial \tau_{yz}^{(3)}}{\partial z} = 0, \\ \frac{\partial \tau_{xz}^{(3)}}{\partial x} + \frac{\partial \tau_{yz}^{(3)}}{\partial y} + \frac{\partial \sigma_z^{(3)}}{\partial z} + (2\sigma_1 + 2\sigma_2 - 1) \left[N(\sigma_1 - \sigma_2) - \frac{1}{2} \sigma_3(M - \eta) - \right. \\ \left. (\sigma_1 - \sigma_2) [\sigma_3(G-F) - 2T(\sigma_1 - \sigma_2)] \right] = 0. \end{aligned} \quad (7)$$

Связь между направляющими косинусами нормали деформированной и недеформированной поверхностей с точностью до α, α^2 и α^3 будет иметь вид:

$$\begin{aligned} \cos \hat{n}, x = (1 + \alpha \sigma_1) \cos \hat{n}, \xi + \left[k\xi + \alpha k \xi (\sigma_1 + \sigma_2) + \frac{1}{2} \alpha \sigma_3 \right] \cos \hat{n}, \eta - \\ - \alpha (\sigma_1 - \frac{1}{2} k \xi \sigma_3) \cos^2 \hat{n}, \xi - \alpha (\sigma_2 + k \xi \sigma_2) \cos^2 \hat{n}, \xi \cos \hat{n}, \eta - \\ - \alpha (\sigma_2 + \frac{1}{2} k \xi \sigma_3) \cos \hat{n}, \xi \cos^2 \hat{n}, \eta - \alpha k \tau_{xy} \cos^2 \hat{n}, \eta, \end{aligned} \quad (8)$$

$$\begin{aligned} \cos \hat{n}_1 \hat{y} = & [-k\zeta - \alpha k\zeta(\sigma_1 + \sigma_2) + \frac{1}{2} \alpha \sigma_3] \cos \hat{n}_1 \hat{x} + (1 + \alpha \sigma_2) \cos \hat{n}_1 \hat{\eta} - \\ & - \alpha(\sigma_3 + k\zeta \sigma_2) \cos \hat{n}_1 \hat{x} \cos^2 \hat{n}_1 \hat{\eta} - \alpha(\sigma_2 - \frac{1}{2} k\zeta \sigma_3) \cos^3 \hat{n}_1 \hat{\eta} - \\ & - \alpha(\sigma_1 - \frac{3}{2} k\zeta \sigma_3) \cos^2 \hat{n}_1 \hat{x} \cos \hat{n}_1 \hat{\eta} + \alpha k\zeta \sigma_1 \cos^3 \hat{n}_1 \hat{x} \end{aligned}$$

$$\begin{aligned} \cos \hat{n}_1 \hat{z} = & -k[\alpha(\sigma_1 \eta - \frac{1}{2} \zeta \sigma_3 - \eta) + \eta] \cos \hat{n}_1 \hat{x} + k[\zeta - \alpha(\zeta - \sigma_2 \zeta + \\ & + \frac{1}{2} \sigma_3 \eta)] \cos \hat{n}_1 \hat{\eta} + \alpha k \eta \sigma_1 \cos^3 \hat{n}_1 \hat{x} + \alpha k(\eta \sigma_3 - \zeta \sigma_1) \cos^2 \hat{n}_1 \hat{x} \cos \hat{n}_1 \hat{\eta} + \\ & + \alpha k(\eta \sigma_2 - \zeta \sigma_3) \cos \hat{n}_1 \hat{x} \cos^2 \hat{n}_1 \hat{\eta} - \alpha k \zeta \sigma_2 \cos^3 \hat{n}_1 \hat{\eta} \end{aligned}$$

На основании последних зависимостей граничные условия на контуре L выражаются следующим образом:

$$\begin{aligned} \sigma_x^{(3)} \cos \hat{n}_1 \hat{x} + \tau_{xy}^{(3)} \cos \hat{n}_1 \hat{\eta} = & [\sigma_3(A - H) - 2Q(\sigma_1 - \sigma_2)](\sigma_1 + \sigma_2) \zeta \cos \hat{n}_1 \hat{x} + \\ & + [\sigma_3(Q - R) - 2D(\sigma_1 - \sigma_2)](\sigma_1 + \sigma_2) \zeta \cos \hat{n}_1 \hat{\eta} \end{aligned} \quad (9)$$

$$\begin{aligned} \tau_{xy}^{(3)} \cos \hat{n}_1 \hat{x} + \sigma_y^{(3)} \cos \hat{n}_1 \hat{\eta} = & [\sigma_3(Q - R) - 2D(\sigma_1 - \sigma_2)](\sigma_1 + \sigma_2) \zeta \cos \hat{n}_1 \hat{x} + \\ & + [\sigma_3(H - B) - 2R(\sigma_1 - \sigma_2)](\sigma_1 + \sigma_2) \zeta \cos \hat{n}_1 \hat{\eta} \end{aligned}$$

$$\begin{aligned} \tau_{xz}^{(3)} \cos \hat{n}_1 \hat{x} + \tau_{yz}^{(3)} \cos \hat{n}_1 \hat{\eta} = & - \left\{ \eta \left[\zeta + \frac{3\zeta}{8} (4\sigma_1^2 + \sigma_3^2) + \frac{3\zeta}{8} (4\sigma_2^2 + \sigma_3^2) + \frac{3}{2} C + \right. \right. \\ & + \frac{3}{2} T(\sigma_1 + \sigma_2) \sigma_3] + N \left[\frac{1}{2} \sigma_3 (2\eta \sigma_2 + 2\sigma_1 \eta - \eta \zeta \sigma_3) - \right. \\ & - \zeta \sigma_2 (2\sigma_2 - 1)] + M \left[\frac{1}{2} \sigma_3 (\eta \sigma_3 - 2\zeta \sigma_2 + \zeta - 2\sigma_1 \zeta) + \right. \\ & + \eta \sigma_1 (2\sigma_1 - 1)] \left. \right\} \cos \hat{n}_1 \hat{\eta} + \left\{ \zeta \left[\frac{3\zeta}{8} (4\sigma_1^2 + \sigma_3^2) + \frac{3\zeta}{8} (4\sigma_2^2 + \right. \right. \\ & + \sigma_3^2) + \frac{3}{2} C + \frac{3}{2} T(\sigma_1 + \sigma_2) \sigma_3] - L \left[\frac{1}{2} \sigma_3 (-\zeta \sigma_3 + 2\eta \sigma_2 - \right. \\ & - \eta + 2\sigma_1 \eta) - \zeta \sigma_2 (2\sigma_2 - 1)] - N \left[\frac{1}{2} \sigma_3 (\eta \sigma_3 - 2\zeta \sigma_2 + \zeta - \right. \\ & \left. - 2\sigma_1 \zeta) + \eta \sigma_1 (2\sigma_1 - 1) \right] \left. \right\} \cos \hat{n}_1 \hat{x} \end{aligned}$$



Кроме этого, компоненты деформации $\epsilon_x^{(3)}, \epsilon_y^{(3)}, \dots, \epsilon_{yz}^{(3)}$ соответствующие напряжениям $\sigma_x^{(3)}, \sigma_y^{(3)}, \dots, \sigma_{yz}^{(3)}$ не удовлетворяют условиям совместности Сан-Венана.

Для искомого компонента напряжений примем:

$$\begin{aligned} \sigma_x^{(3)} &= [\sigma_3(A-H) - 2Q(\sigma_1 - \sigma_2)](\sigma_1 + \sigma_2)S, \\ \sigma_y^{(3)} &= [\sigma_3(H-B) - 2R(\sigma_1 - \sigma_2)](\sigma_1 + \sigma_2)S, \\ \sigma_z^{(3)} &= [\sigma_3(G-F) - 2T(\sigma_1 - \sigma_2)](\sigma_1 + \sigma_2)S, \\ \tau_{xy}^{(3)} &= [\sigma_3(Q-R) - 2D(\sigma_1 - \sigma_2)](\sigma_1 + \sigma_2)S. \end{aligned} \tag{10}$$

$$\begin{aligned} \tau_{xz}^{(3)} &= \eta \left[E + \frac{3G}{8} (\sigma_1^2 + \sigma_3^2) + \frac{3F}{8} (\sigma_2^2 + \sigma_3^2) + \frac{3}{2}C + \frac{3}{2}T(\sigma_1 + \sigma_2)\sigma_3 \right] - \\ & - N \left[\frac{1}{2}\sigma_3(\sigma_1 - 2\sigma_2 - \sigma_3) - F\sigma_2(2\sigma_2 - 1) \right] - M \left[\frac{1}{2}\sigma_3(\sigma_1 - 2\sigma_2 - \sigma_3) + \right. \\ & \left. - 2F\sigma_2 - F - 2G, F) + \eta\sigma_3(2\sigma_2 - 1) \right], \end{aligned}$$

$$\begin{aligned} \tau_{yz}^{(3)} &= \xi \left[E + \frac{3G}{8} (\sigma_1^2 + \sigma_3^2) + \frac{3F}{8} (\sigma_2^2 + \sigma_3^2) + \frac{3}{2}C + \frac{3}{2}T(\sigma_1 + \sigma_2)\sigma_3 \right] - \\ & - N \left[\frac{1}{2}\sigma_3(\sigma_1 - 2\sigma_2 - \sigma_3) - F\sigma_2(2\sigma_2 - 1) \right] - M \left[\frac{1}{2}\sigma_3(\sigma_1 - 2\sigma_2 - \sigma_3) - \right. \\ & \left. - 2F\sigma_2 + F - 2G, F) + \eta\sigma_3(2\sigma_2 - 1) \right]. \end{aligned}$$

Нетрудно проверить, что напряжения (10) удовлетворяют всем условиям поставленной задачи, т.е. искомого напряжения постав-

Искомые компоненты смещения u_3, v_3, w_3 соответ-

ствующие деформации... теории упругости.



Литература

1. П.М.Риз. Изв.АН СССР, Серия матем., № 4, 1939.
2. М.И.Кезерашвили. Тр.ТГУ, 307(28), мат., мех., астр. 1991, 82.
3. А.К.Рухадзе, И.Р., Раскинович. Тр.ИГи, № 8 (148), 1971.
4. Д.А.Горгилазе, В.А.Менугос. Тр.ИГи, математика, № 6(162), 1973.

შეჯამება

მონათხრობს განიხილავს ერთგვარობით ანიზოტროპული
 სხეულის მთავარი დახრების ეფექტის გეომეტრიკულად
 არაწრფივ თეორიას

რეზიუმე

მოცემულია მუდმივობა დატრეხილი ერთგვარობით ანიზოტროპული
 სხეულის მთავარი დახრების ეფექტის ანიზოტროპულად არა-
 წრფივ თეორიაში.

თარგმნის დადასტურების კომიტეტის ანგარიშით სსსრ.

M.Kezerashvili

THE SECONDARY EFFECT OF STRETCHING OF NATURALLY TWISTED ANISOTROPIC HOMOGENEOUS BODY IN GEOMETRICALLY NON-LINEAR THEORY

Summary

The title problem is studied and the stress components are calculated in analytical form.

Труды Уральского государственного университета
им. И. Давыдова

Ученые труды Уральского государственного университета
Ученые труды Уральского государственного университета
314, 1993

УДК 538

ПРИМЕНЕНИЕ ПРАВИЛОМ ПОРИСТОГО ПЛОСКОГО
ПРОВОДНИКА ЭЛЕКТРИЧЕСКОГО ПОЛЯ С УЧЕТОМ ТЕПЛОПЕРЕДАЧИ

Л. А. Давыдов

Давыдовское течение вокруг вращающегося диска впервые было
изучено Карманом / 1 /, который в плоскости замес переменных су-
ществительных уравнения Навье-Стокса и обобщенным дифференци-
альным уравнениями. Позднее эти уравнения были усовершенствованы
Карманом / 2 /, и уравнения, полученные Карманом, были ре-
шены численно. Обратная задача, когда диск находится в потоке,
а бесконечная жидкость вращается с постоянной угловой скоростью,
была изучена Годдардом / 3 /. Та же задача, когда диск и бес-
конечная жидкость вращаются с разными угловыми скоростями, была
рассмотрена Годдардом и Дансом / 4 /.

С другой стороны, Стюарт / 5 /, используя предположения
Бэтчелора / 6 /, изучил эффект постоянного отсоса для значений
малых значений параметра отсоса.

Какутана / 7 / обобщил задачу Кармана для электропроводя-
щей жидкости при наличии магнитного поля, когда электрическое поле
по направлению мало. В работе Сирнапракасарево и Гупта / 8 / была
изучена задача о вращении пористого диска в обтекательной



кости при больших значениях скорости отсоса.

В настоящей работе методом функции Лорна и малого параметра изучается задача о движении пористой пластины и проводящей жидкости при больших значениях скорости отсоса с учетом теплопередачи.

Рассмотрим задачу о стационарном движении вязкой несжимаемой жидкости, возникшей из состояния покоя при вращении пористой пластины, вращающейся со скоростью $\alpha\omega$ (где α - постоянное число). Дуть с пластины происходит равномерный отсос той же жидкости со скоростью v_0 . Предположим, что скорость отсоса и постоянное магнитное поле перпендикулярны плоскости пластины. Допустим, что приложенное магнитное поле мало.

Для решения задачи воспользуемся уравнениями движения в цилиндрических координатах. С учетом того, что течение жидкости осесимметрично, система уравнений движения примет вид

$$\begin{cases} v_r \frac{\partial v_r}{\partial r} + v_z \frac{\partial v_r}{\partial z} - \frac{v_r^2}{r} = \frac{1}{\rho} \frac{\partial p}{\partial r} + \nu \left(\frac{\partial^2 v_r}{\partial r^2} + \frac{1}{r} \frac{\partial v_r}{\partial r} - \frac{v_r}{r^2} \right) - \frac{e B_0^2}{\rho} v_r, \\ v_r \frac{\partial v_z}{\partial r} + v_z \frac{\partial v_z}{\partial z} + \frac{v_z v_z}{r} = \nu \left(\frac{\partial^2 v_z}{\partial r^2} - \frac{v_z}{r} + \frac{1}{r} \frac{\partial v_z}{\partial z} \right) - \frac{e B_0^2}{\rho} v_z, \\ \frac{\partial v_r}{\partial r} + \frac{\partial v_z}{r \partial z} - \frac{1}{r} \frac{\partial p}{\partial z} + \nu \left(\frac{\partial^2 v_r}{\partial r^2} + \frac{1}{r} \frac{\partial v_r}{\partial r} + \frac{\partial^2 v_z}{\partial z^2} \right) = 0. \end{cases} \quad (1)$$

В этой системе нужно добавить уравнение неразрывности

$$\frac{\partial v_r}{\partial r} + \frac{v_r}{r} + \frac{\partial v_z}{\partial z} = 0. \quad (2)$$

Систему (1) - (2) должны решать при следующих граничных условиях:

$$\begin{cases} r=0, & v_r=0, & v_z = \alpha\omega, & v_z = v_0, \\ r=\infty, & v_r=0, & v_z=0. \end{cases} \quad (3)$$

Положим

$$\begin{cases} v_r = \omega r f(\xi), & v_z = \omega r q(\xi), & v_z = \sqrt{\omega} [h(\xi) - v_0], \\ p = -\rho \nu \omega F, & v_0 = \sqrt{\omega} v_0', & z = \sqrt{\nu} z'. \end{cases} \quad (4)$$

Подстановка (4) в систему (1)-(2) даст следующую систему уравнений

$$\begin{cases} F'' + \nu_0 F' = HF' + \epsilon^2 - Q^2 + m^2 F, \\ Q'' + \nu_0 Q' = 2FQ + HQ' + m^2 Q, \\ HN' - \nu_0 N' = P' + N'', \\ N' + 2F = 0, \end{cases} \quad (5)$$

где $m_1 = \frac{\epsilon B_0^2}{\rho \omega}$. Если дополнительно известна переменная $\eta = \nu_0 z'$, то система (5) примет вид

$$\begin{cases} F'' + F' = \epsilon [HF'] + \epsilon^2 [F^2 - Q^2 + m^2 F], \\ Q'' + Q' = \epsilon [HQ'] + \epsilon^2 [2FQ + m^2 Q], \\ \epsilon [HN'] + N' = \epsilon P' + N'', \\ N' + \epsilon [2F] = 0, \end{cases} \quad (6)$$

где $\epsilon = 1/\nu_0$. Для системы (6) получаются следующие граничные условия:

$$\begin{cases} \eta = 0, & F = 0, & Q = a, & N = 0, \\ \eta = \infty, & F = 0, & Q = 0 \end{cases} \quad (7)$$

Решение задачи (6)-(7) можно представить в виде

$$\begin{cases} F(\eta) = \epsilon \int_0^\eta [HF'] G(\eta, \xi) d\xi + \epsilon^2 \int_0^\infty [F^2 - Q^2 + m^2 F] G(\eta, \xi) d\xi, \\ Q(\eta) = \int_0^\infty [HQ'] G(\eta, \xi) d\xi + \epsilon^2 \int_0^\infty [2FQ + m^2 Q] G(\eta, \xi) d\xi, \\ N(\eta) = -2\epsilon \int_0^\eta F d\xi, \end{cases} \quad (8)$$

где $G(\eta, \xi)$ - функция Грина задачи

$$\begin{cases} G'' + G' = 0, \\ G|_{\eta=0} = 0, & G'|_{\eta=\infty} = 0. \end{cases}$$

Она имеет вид

$$G = \begin{cases} G_1 = e^{-\eta} - 1, & 0 \leq \eta < \xi, \\ G_2 = (1 - e^\xi) e^{-\eta}, & \xi \leq \eta < \infty. \end{cases}$$



ҚАЗАҚСТАН РЕСПУБЛИКАСЫ
ҒЫЛЫМ АКАДЕМИЯСЫ

Будем искать решение системы (8) в виде рядов по малому параметру ε

$$\begin{cases} F = \sum_{k=0}^{\infty} \varepsilon^{2k+1} F_k, \\ Q = \sum_{k=0}^{\infty} \varepsilon^{2k} Q_k, \\ H = \sum_{k=0}^{\infty} \varepsilon^{2k+1} H_k. \end{cases} \quad (9)$$

Подставляя ряды (9) в систему (7) и приравнивая коэффициенты при одинаковых степенях ε , получим следующие рекуррентные соотношения:

$$F_0 = \int_0^{\infty} [-Q_0^2] G(\eta, \xi) d\xi,$$

$$F_1 = \int_0^{\infty} [-2Q_0 Q_1 + m^2 F_0] G(\eta, \xi) d\xi,$$

$$F_n = \int_0^{\infty} \left[\sum_{r=0}^{n-1} (H_r F_{n-r-1} + F_r F_{n-r-1}) - \sum_{r=0}^{n-1} Q_r Q_{n-r-1} + m^2 F_{n-1} \right] G(\eta, \xi) d\xi \quad (10a),$$

$$Q_0 = B(\eta),$$

$$Q_1 = \int_0^{\infty} [m^2 Q_0] G(\eta, \xi) d\xi,$$

$$Q_n = \int_0^{\infty} \left[\sum_{r=0}^{n-1} (2F_r Q_{n-r-1} + H_r Q_{n-r-1}) + m^2 Q_{n-1} \right] G(\eta, \xi) d\xi \quad (10b),$$

$$H_n = -2 \int_0^{\infty} F_n d\xi \quad (n \geq 0),$$

где $B(\eta)$ является решением задачи

$$B''(\eta) + B'(\eta) = 0,$$

$$B'(0) = 1, \quad B(\infty) = 0.$$

Первые три приближения $F_0, F_1, F_2, Q_0, Q_1, Q_2, H_0, H_1, H_2$ и т.д.

$$F_0 = \frac{a^4}{2} [e^{-\eta} - e^{-2\eta}].$$

$$F_1 = a^4 m^2 \left[-\left(\frac{\eta}{2} + \frac{5}{4}\right) e^{-\eta} + \left(\eta + \frac{3}{4}\right) e^{-2\eta} \right],$$

$$F_2 = \frac{a^4}{144} [e^{3+7\eta} + 18e^{-3\eta} + 6(\eta + 12\eta) e^{-2\eta} - (36\eta + 59) e^{-\eta}] + \frac{a^4 m^4}{8} \left[-(8\eta^2 + 28\eta + 29) e^{-2\eta} + (3\eta^2 + 14\eta + 29) e^{-\eta} \right].$$

$$Q_0 = a e^{-\eta},$$

$$Q_1 = -a m^2 \eta e^{-\eta},$$

$$Q_2 = a^3 \left[\left(-\frac{\eta}{2} + \frac{1}{12}\right) e^{-\eta} - \frac{1}{12} e^{-3\eta} \right] + a m^4 \left(\frac{\eta^2}{2} + \eta \right) e^{-\eta},$$

$$H_0 = -\frac{a^2}{2} (e^{-\eta} - 1)^2,$$

$$H_1 = a^4 m^2 \left[\eta (e^{-2\eta} - e^{-\eta}) + \frac{3}{4} (e^{-\eta} - 1)^2 \right],$$

$$H_2 = \frac{a^4}{288} [201 - (144\eta + 190) e^{-\eta} + (144\eta + 156) e^{-2\eta} + 24e^{-3\eta} - e^{-4\eta}] + \frac{a^4 m^4}{8} [(4\eta^2 - 36\eta + 47) e^{-\eta} - (8\eta^2 - 36\eta + 47) e^{-2\eta} - 47]$$

Так как тангенциальная составляющая скорости Q зависит от четных степеней параметра a , распределение скорости будет симметричным относительно оси η при одинаковых значениях по модулю параметра a . Радиальная составляющая скорости F зависит от четных степеней параметра a , поэтому распределение скорости будет одинаковым при одинаковых значениях по модулю параметра a .

Распределение тангенциальной и радиальной составляющих скорости показаны на рисунках 1 и 2. Обе составляющие скорости при постоянном ε возрастают при уменьшении параметра m , а при постоянной m возрастают при уменьшении параметра ε .

Вышеописанные расчеты справедливы в случае бесконечной

пластины. Однако при достаточно большом радиусе R приближенно можно пренебречь влиянием кромки и вычислить значение момента сопротивления вращению пластины.

Будем иметь для момента M сил сопротивления на пластине

$$M = - \int_0^R \tau_{\varphi x} r^2 dr = - \int_0^R 2\eta r^2 \left(\frac{\partial v_{\varphi}}{\partial x} \right)_{x=0} dr =$$

$$= - \frac{\eta r_0 v_0 \omega \sqrt{\omega} R^4}{2\sqrt{3}} \left(\frac{\partial Q}{\partial \eta} \right)_{\eta=0}$$

Пусть M_0 и $Q'(0)$ - значения M и $Q'(0)$ при $\eta=0$.

Они имеют вид

$$Q'(0) = -a \left[1 + \epsilon^2 m^2 + \epsilon^4 \left(\frac{a^2}{3} - m^4 \right) \right],$$

$$Q''(0) = -a \left[1 + \frac{a^2 \epsilon^4}{3} \right],$$

$$\frac{M}{M_0} = \frac{3 + 3\epsilon^2 m^2 + \epsilon^4 (a^2 - 3m^4)}{3 + a^2 \epsilon^4}$$

График выражений $\frac{M}{M_0}$ показан на рисунке 3. Расчеты показывают, что при постоянном значении параметра a сопротивление на пластине возрастает при возрастании параметра ϵ , а при постоянном значении ϵ сопротивление уменьшается при возрастании параметра a .

Рассмотрим задачу теплопередачи вращающейся пластины. Точное решение задачи о нагревании вязкой несжимаемой жидкости вращающимся диском было дано И.А.Кибелем / 9 /, а затем Л.А.Дорфманом / 10 /. В последнее время в ряде работ были обобщены задачи теплопередачи и были даны различные методы их решения.

В настоящей работе задача теплопередачи вращающейся пластине с учетом джоулева тепла решается методом функции Грина с малым параметром.



Напишем уравнение притока тепла

$$\rho c_p \left(v_y \frac{\partial T}{\partial y} + v_x \frac{\partial T}{\partial x} \right) = \lambda \left[\frac{1}{y} \frac{\partial T}{\partial y} + \frac{\partial^2 T}{\partial y^2} + \frac{\partial^2 T}{\partial x^2} \right] + \mu \left\{ \lambda \left(\frac{\partial v_x}{\partial y} \right)^2 + \lambda \left(\frac{v_x}{y} \right)^2 + \lambda \left(\frac{\partial v_x}{\partial x} \right)^2 + \left(\frac{\partial v_y}{\partial y} - \frac{v_y}{y} \right)^2 + \left(\frac{\partial v_y}{\partial x} \right)^2 + \left(\frac{\partial v_x}{\partial y} + \frac{\partial v_y}{\partial x} \right)^2 \right\} + \epsilon B_0^2 (v_y^2 + v_x^2). \quad (10)$$

Так же, как в случае, рассмотренном Лиселем, решения ищем в виде

$$T = T_1(x) + y^2 T_2(x). \quad (11)$$

Пусть

$$\begin{cases} T_1 = \frac{\mu \omega \nu V_0}{\lambda} \tau_1 \\ T_2 = \frac{\mu \omega^2 V_0}{\lambda} \tau_2 \end{cases} \quad (12)$$

Подстановка (4) и (12) в уравнение (10) даст следующую систему уравнений:

$$\tau_1'' + \nu_0 P_7 \tau_1' = -4\tau_2 - \frac{1}{\nu_0} (4F^2 + 2H^2) + F_7 H \tau_1', \quad (13)$$

$$\tau_2'' + \nu_0 P_7 \tau_2' = P_7 (2F\tau_2 + H\tau_1') - \frac{1}{\nu_0} (Q^2 + F^2) - \frac{m^2}{\nu_0} (Q^2 + F^2).$$

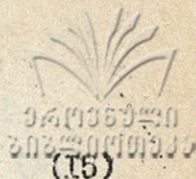
где $P_7 = \frac{\rho c_p \nu_0}{\lambda}$ — число Прандтля. Если дополнительно ввести переменную $\eta = \nu_0' x'$, то (13) примет вид

$$\begin{cases} \tau_1'' + P_7 \tau_1' = \epsilon [P_7 (H\tau_1') - 2H^2] - \epsilon^2 [4\tau_2] - \epsilon^3 [4F^2], \\ \tau_2'' + P_7 \tau_2' = \epsilon [P_7 (H\tau_1') - Q^2 - F^2] + \epsilon^2 [P_7 (2F\tau_2)] - \epsilon^3 [m^2 (F^2 + Q^2)]. \end{cases} \quad (14)$$

Граничные условия мы будем брать в одном из следующих двух видов:

а) Шлифшина поддерживается при постоянной температуре T_0 .

или что



$$\begin{cases} z=0, & T_1=T_0, & T_2=0, \\ z=\infty, & T_1=0, & T_2=0. \end{cases} \quad (15)$$

б) Шестиугольник представлена сама по себе так, что на поверхности ее $\frac{\partial T}{\partial z} = 0$, тогда

$$\begin{cases} z=0, & \frac{\partial T_1}{\partial z} = \frac{\partial T_2}{\partial z} = 0, \\ z=\infty, & T_1 = T_2 = 0. \end{cases} \quad (16)$$

При наших допущениях граничные условия (15) и (16) примут вид

$$\begin{cases} \eta=0, & \tau_1=\tau_0, & \tau_2=0, \\ \eta=\infty, & \tau_1=0, & \tau_2=0. \end{cases} \quad (17)$$

$$\begin{cases} \dot{\eta}=0, & \frac{d\tau_1}{d\eta} = \frac{d\tau_2}{d\eta} = 0, \\ \eta=\infty, & \tau_1=0, & \tau_2=0. \end{cases} \quad (18)$$

Решение задачи (14)-(17) или (14)-(18) можно представить

в виде

$$\begin{aligned} \tau_1 &= \varepsilon \int_0^{\infty} [F_1(H\tau_2) - 2H\tau_2^2] G(\eta, \xi) d\xi - \varepsilon^2 \int_0^{\infty} [4\tau_2^2] G(\eta, \xi) d\xi - \\ &\quad - \varepsilon^3 \int_0^{\infty} [4F^2] G(\eta, \xi) d\xi, \\ \tau_2 &= \varepsilon \int_0^{\infty} [P_1(H\tau_2^2) - Q^2 - F^2] G(\eta, \xi) d\xi + \varepsilon^2 \int_0^{\infty} [P_1(2F\tau_2)] G d\xi - \\ &\quad - \varepsilon^3 \int_0^{\infty} m^2 [F^2 + Q^2] G(\eta, \xi) d\xi. \end{aligned} \quad (19)$$

где $G(\eta, \xi)$ — функция Грина.

Для задачи (14)-(17) функция Грина имеет следующий вид:

$$G = \begin{cases} G_1 = \frac{e^{-P_2\eta} - 1}{P_2}, & 0 \leq \eta < 5, \\ G_2 = \frac{1 - e^{-P_2\xi}}{P_2} e^{-P_2\eta}, & 5 < \eta < \infty, \end{cases}$$

а для задачи (14)-(18), она имеет вид

$$\bar{G} = \begin{cases} G_1 = -\frac{1}{P_2}, & 0 \leq \eta < 5, \\ G_2 = -\frac{e^{-P_2\xi}}{P_2} e^{-P_2\eta}, & 5 < \eta < \infty. \end{cases}$$



Рассмотрим задачу (14)-(17). Будем искать решения (14) в виде рядов по малому параметру

$$\begin{cases} \tau_1 = \tau_{10} + \epsilon^3 \tau_{11} + \epsilon^4 \tau_{12} + \dots \\ \tau_2 = \epsilon \tau_{20} + \epsilon^3 \tau_{21} + \epsilon^5 \tau_{22} + \dots \end{cases} \quad (19)$$

Подставляя ряды (9)-(19) в систему (14) и приравнивая коэффициенты при одинаковых степенях ϵ , получаем следующие рекуррентные формулы:

для четных индексов функции τ_1

$$\tau_{1,0} = f_1(\eta),$$

$$\tau_{1,2} = \int_0^\infty [F_7(H_0 \tau'_{1,0})] G(\eta, \xi) d\xi,$$

$$\tau_{1,2i-2} = \int_0^\infty [F_7 [H_{i-2} \tau'_{1,0} + \sum_{n=0}^{i-4} H_n \tau'_{1,2i-2n-6}]] G(\eta, \xi) d\xi \quad (i \geq 4);$$

для нечетных индексов функции τ_1

$$\tau_{1,1} = \int_0^\infty (-4\tau_{2,0}) G(\eta, \xi) d\xi,$$

$$\tau_{1,3} = \int_0^\infty (-4\tau_{2,1}) G(\eta, \xi) d\xi,$$

$$\tau_{1,2i+1} = \int_0^\infty [F_7 \sum_{n=0}^{i-2} H_n \tau'_{1,2i-2n-3} - \sum_{n=0}^{i-2} (2H'_2 H'_{i-1-n} + 4F_2 F_{i-1-n}) - 4\tau_{2,i}] G(\eta, \xi) d\xi \quad (i \geq 2);$$

для функции τ_2

$$\tau_{2,0} = \int_0^\infty (-Q_0^2) G(\eta, \xi) d\xi,$$

$$\tau_{2,1} = \int_0^\infty (2Q_0 Q'_1 - m^2 Q_0^2) G(\eta, \xi) d\xi,$$

$$\tau_{2,2} = \int_0^\infty [2F_2 F_0 \tau_{2,0} + 2H_0 \tau'_{2,0} - F_0'^2 - Q_1'^2 - 2Q_0' Q_2' - m^2 2Q_0 Q_1] G(\eta, \xi) d\xi,$$

$$\tau_{2,i} = \int_0^\infty [2F_2 \sum_{n=0}^{i-2} F_n \tau_{2,i-2-n} + F_2 \sum_{n=0}^{i-2} H_n \tau'_{2,i-2-n} - \sum_{n=0}^i Q_n' Q_{i-n} -$$

$$- \sum_{n=0}^{i-2} F_n' F_{i-2-n} - m^2 \left(\sum_{n=0}^{i-1} Q_n Q_{i-1-n} + \sum_{n=0}^{i-3} F_n F_{i-1-n} \right)] G(\eta, \xi) d\xi,$$



где $H(\eta)$ является решением задачи

$$H''(\eta) + P_7 H'(\eta) = 0,$$

$$H(0) = \tau_0, \quad H(\infty) = 0.$$

Первые два приближения $\tau_{10}, \tau_{11}, \tau_{20}, \tau_{21}$ имеют следующий

вид

$$\tau_{10} = \tau_0 e^{-P_7 \eta},$$

$$\tau_{11} = \frac{4\alpha^2}{P_7^2(P_7-2)} \left[\frac{P_7}{\eta-2} (e^{-2\eta} - e^{-P_7 \eta}) - e^{-P_7 \eta} \eta \right],$$

$$\tau_{20} = \frac{\alpha^2}{2(P_7-2)} [e^{-2\eta} - e^{-P_7 \eta}].$$

$$\tau_{21} = \frac{\alpha^2 m^2}{(P_7-2)^2} \left[(P_7-1)(e^{-2\eta} - e^{-P_7 \eta}) - (P_7-2)\eta e^{-2\eta} \right].$$

Рассмотрев задачу (14)-(18), оказывается, что решения задачи должны искать в виде рядов

$$\begin{cases} \tau_1 = \varepsilon^3 \tau_{10} + \varepsilon^5 \tau_{11} + \varepsilon^7 \tau_{12} + \dots = \sum_{i=0}^{\infty} \varepsilon^{2i+3} \tau_{1i}, \\ \tau_2 = \varepsilon \tau_{20} + \varepsilon^3 \tau_{21} + \varepsilon^5 \tau_{22} + \dots = \sum_{i=0}^{\infty} \varepsilon^{2i+1} \tau_{2i}. \end{cases} \quad (20)$$

Подставляя ряды (9)-(20) в систему (14) и снова приравнявая коэффициенты при одинаковых степенях ε , получаем следующие рекуррентные формулы:

$$\tau_{10} = \int_0^{\infty} (-4\tau_{20}) G(\eta, \zeta) d\zeta,$$

$$\tau_{11} = \int_0^{\infty} (-4\tau_{21}) G(\eta, \zeta) d\zeta,$$

$$\tau_{1i} = \int_0^{\infty} \left[P_7 \sum_{n=0}^{i-2} H_n' \tau_{1i-n-2} - 2 \sum_{n=0}^{i-2} H_n' H_n' \tau_{1i-n-2} - 4 \sum_{n=0}^{i-2} P_n P_{i-n-2} \tau_{2i} \right] G(\eta, \zeta) d\zeta \quad (i \geq 2),$$

$$\tau_{20} = \int_0^{\infty} (-Q_0^2) G(\eta, \zeta) d\zeta,$$

$$\tau_{21} = \int_0^{\infty} (-2Q_0' Q_1' - m^2 Q_0^2) G(\eta, \zeta) d\zeta,$$



$$\tau_{21} = \int_0^{\infty} (2P_1 F_0 \tau_{10} + P_1 H_0 \tau'_{10} - F_0'^2 - Q_1'^2 - 2Q_0' Q_1' - m^2 \lambda Q_0 Q_1) e^{-\gamma t} dt$$

$$\tau_{2i} = \int_0^{\infty} \left[2P_1 \sum_{\gamma=0}^{i-2} F_{\gamma} \tau_{2+i-2-\gamma} + P_1 \sum_{\gamma=0}^{i-2} H_{\gamma} \tau'_{2+i-2-\gamma} - \sum_{\gamma=0}^i Q_{\gamma}' Q_{i-\gamma}' - \sum_{\gamma=0}^{i-2} F_{\gamma}' F_{i-2-\gamma}' - m^2 \left(\sum_{\gamma=0}^{i-1} Q_{\gamma} Q_{i-\gamma-1} + \sum_{\gamma=0}^{i-3} F_{\gamma} F_{i-\gamma-3} \right) \right] e^{-\gamma t} dt$$

(i ≥ 3).

Первые два приближения τ_{10} , τ_{11} , τ_{20} , τ_{21} имеют следующий вид:

$$\tau_{10} = \frac{2a^4}{P_1^2(P_1-2)} \left[\frac{P_1^2}{2(P_1-2)} e^{-2\gamma} - \frac{P_1^2+2P_1-4}{P_1(P_1-2)} e^{-P_1\gamma} - 2\gamma e^{-P_1\gamma} \right]$$

$$\tau_{11} = \frac{4a^2 m^2}{P_1^2(P_1-2)^2} \left[\frac{P_1^2}{2} \gamma e^{-2\gamma} + (3P_1-4)\gamma e^{-P_1\gamma} - \frac{P_1^2(P_1+2)}{4(P_1-2)} e^{-2\gamma} + \frac{P_1^3+3P_1^2-10P_1+8}{P_1(P_1-2)} e^{-P_1\gamma} \right]$$

$$\tau_{20} = \frac{a^4}{2P_1(P_1+2)} \left[P_1 e^{-2\gamma} - 2e^{-P_1\gamma} \right]$$

$$\tau_{21} = -\frac{a^2 m^2}{P_1} \left[\left(\frac{P_1}{P_1-2} \gamma - 1 \right) e^{-2\gamma} - \frac{3P_1-4}{(P_1-2)^2} \left(e^{-2\gamma} - e^{-P_1\gamma} \right) \right]$$

Вычисления и построение графиков функций τ_1 и τ_2 для случаев а) и б) для различных значений параметров a , m , ϵ и P_1 показывают, что при постоянных значениях параметров m , ϵ , P_1 функции τ_1 и τ_2 возрастают при возрастании параметра a , при постоянных a , m и ϵ функции возрастают при уменьшении числа P_1 и при постоянных a , m и P_1 возрастают при возрастании параметра ϵ .



ლიტერატურა

1. P. von Karman. ZAMM 1(1021)233.
2. W.G.Cochran. Proc.Cambridge Phil.Soc. 30(1934) 365.
3. V.T.Bodewijt. ZAMM 20(1940) 241.
4. M.H.Rogers and Lance. J.Fluid Mech. 7(1960) 617.
5. J.T.Stuart. J.Mech.and Appl.Math. 7(1954) 446.
6. G.K.Batchelor. Quart.J.Mech.and Appl.Math. 4(1951) 29.
7. T.Kakutani. J.Phys.Soc.Japan 17(1962) 1496.
8. V.Suryaprakasarao and A.S.Gupta. J.Phys.Soc.Japan 21,N11(1966)2490.
9. Д.А.Джикдзе, Труды ТГУ, Математика.Механика.Астрономия, т.307, 1991.
10. И.А.Кабель. ЦМ, том XI, 1947.
11. Л.А.Дорфман. Изв. АН СССР, ОТН, № 12, 1957.
12. Л.А.Дорфман. Гидродинамическое соприкосновение и теплообмен вращающихся тел, М., 1960, 259 с.
13. А.Б.Ватакин, Г.А.Любимов, С.А.Регирер. Магнитогидродинамические течения в каналах."Наука", М., 1970, 672.

ს. კ. ბეჭ

საქართველოს ეროვნული ბიბლიოთეკის დირექტორის განცხადებით
სიბუხით სიმბოლურად შეიქმნა საქართველოს ეროვნული ბიბლიოთეკის

სიბუხით

განისს უნდა იქნას და მისი პარამეტრის შედარებით შესწავლას
საქართველოს ეროვნული ბიბლიოთეკის დირექტორის განცხადებით სიბუხით
სიმბოლურად შეიქმნა საქართველოს ეროვნული ბიბლიოთეკის
სიბუხით სიმბოლურად შეიქმნა საქართველოს ეროვნული ბიბლიოთეკის
სიბუხით სიმბოლურად შეიქმნა საქართველოს ეროვნული ბიბლიოთეკის



L. Jukidze

THE MOTION OF A ROTATING POROUS PLATE IN CONDUCTING
FLUID WITH ACCOUNT OF HEAT TRANSFER

Summary

Taking account of heat transfer rotating porous plate motion in conducting fluid has been studied by the method of Green's function and the perturbation theory for large values of suction parameter and small values of stable magnetic field. The Joule heat was taken into account in solving the problem of heat transfer.

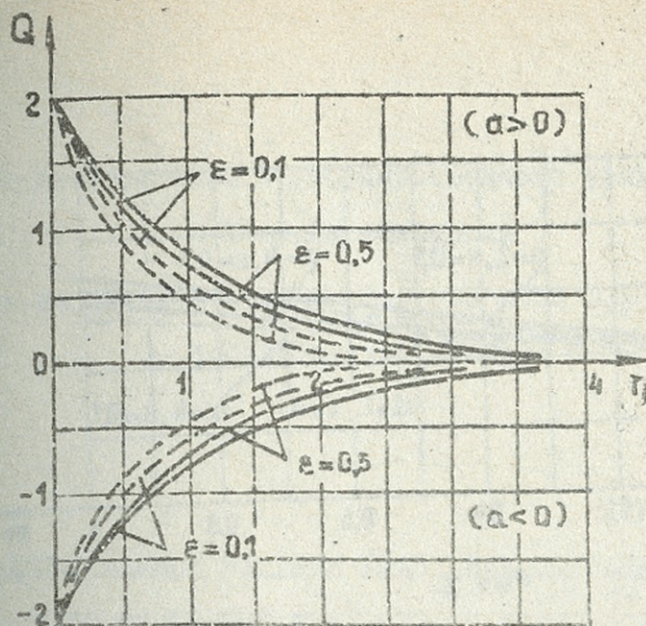


Рис. 1 $m = 0,1$ —
 $m = 0,9$ - - -

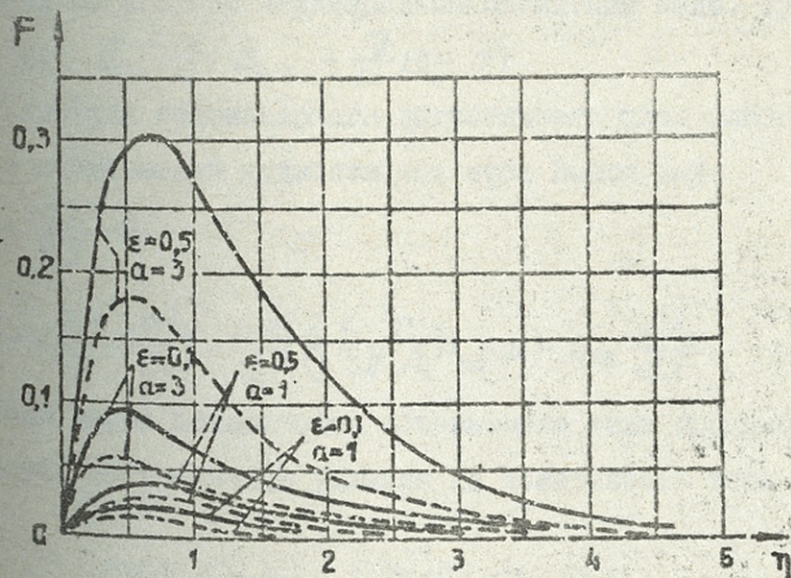


Рис. 2 $m = 0,1$ —
 $m = 0,9$ - - -

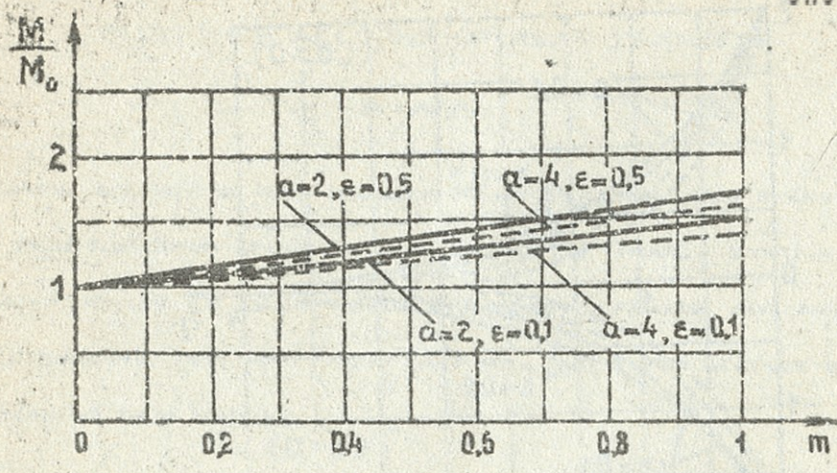


Рис. 3

Труды Тбилисского государственного университета
им. И. Джавახишвили

ფიზიკის მეცნიერებათა დარგის სამეცნიერო
ცენტრის სტატიები

314, 1993

УДК 538

ПРИБЛИЖЕННОЕ РЕШЕНИЕ УРАВНЕНИЯ ПОГРАНИЧНОГО
СЛОЯ СЛАБОПРОВОДЯЩЕЙ ЖИДКОСТИ, НАХОДЯЩЕЙСЯ В НЕОДНОРОДНОМ
МАГНИТНОМ ПОЛЕ

И. П. Грдзелидзе

Рассматривается движение вязкой несжимаемой слабопроводящей
жидкости во внешнем неоднородном магнитном поле. Пусть это поле
имеет вид $\vec{B} \left(\frac{x}{L} B_0, -\frac{y}{L} B_0, 0 \right)$.

Уравнения стационарного пограничного слоя слабопроводящей
вязкой несжимаемой жидкости при этом имеют вид

$$u \frac{\partial u}{\partial x} + v \frac{\partial v}{\partial y} = 0, \quad (1)$$

$$u \frac{\partial u}{\partial x} + v \frac{\partial u}{\partial y} = \nu \frac{\partial^2 u}{\partial y^2} + \frac{6 B_0^2}{\rho \mu L^2} (x^2 + y^2) (u_\infty - u) + u_\infty \frac{d u_\infty}{d x}. \quad (2)$$

Если через поверхность обтекаемого тела происходит отсос
или вдув, то граничные условия на поверхности тела будут иметь
вид

$$u(x, 0) = 0, \quad v(x, 0) = -v_w(x). \quad (3)$$

Для приближенного решения задачи будет использован метод
последовательных приближений, разработанный для пограничного
слоя "конечной толщины". Поэтому граничное условие на бесконеч-



ности заменяется условием

$$u(x, \delta(x)) = 0, \quad (4)$$

где $\delta(x)$ — конечная толщина пограничного слоя. Эта толщина неизвестна. Для ее определения требуется выполнение условий:

$$\left. \frac{\partial u}{\partial y} \right|_{y=\delta(x)} = 0. \quad (5)$$

В задаче (I) — (5) перейдем к безразмерному виду, вводя следующие переменные:

$$u = u_0 u_1; \quad v = \frac{\delta_0 u_0}{L} v_1; \quad u_\infty = u_0 u_{\infty 1}; \quad v_w = \frac{u_0 \delta_0}{L} v_{w1};$$

$$x = L x_1; \quad y = \delta_0 y_1; \quad \delta = \delta_0 \delta_1; \quad \tau = \tau_0 \tau_1 = \mu \frac{u_0}{\delta_0} \tau_1. \quad (6)$$

Тогда система уравнений (1), (2) и граничные условия (3)–(5) примут вид:

$$\frac{\partial u_1}{\partial x_1} + \frac{\partial v_1}{\partial y_1} = 0, \quad (7)$$

$$\frac{\partial^2 u_1}{\partial y_1^2} = u_1 \frac{\partial u_1}{\partial x_1} + v_1 \frac{\partial u_1}{\partial y_1} - \left(\frac{\mu^2}{Re} x_1^2 + \frac{\mu^2}{Re^2} y_1^2 \right) (u_{\infty 1} - u_1) - u_{\infty 1} \frac{d u_{\infty 1}}{d x_1}, \quad (8)$$

$$u_1(x, 0) = 0, \quad v_1(x, 0) = -v_{w1}(x_1); \quad u_1(x_1, \delta_1(x_1)) = 0, \quad (9)$$

$$\left. \frac{\partial u_1}{\partial y_1} \right|_{y_1 = \delta_1(x_1)} = 0, \quad (10)$$

$$\tau_1 = \left. \frac{\partial u_1}{\partial y_1} \right|_{y_1 = 0}. \quad (11)$$

Здесь введены

$$\mu^2 = \frac{\nu \delta_0^2 L^2}{\rho \nu}, \quad Re = \frac{u_0 L}{\nu}, \quad \frac{\delta_0^2}{L^2} = \frac{1}{Re}$$

В последующем для простоты штрихи у безразмерных величин не будем принимать во внимание.

Будем искать решение задачи (7) — (9) методом последова-

тельных приближений / I /:

$$u(x, y) = u_1(x, y) + u_2(x, y) + u_3(x, y) + \dots \quad (12)$$

$$v(x, y) = v_1(x, y) + v_2(x, y) + v_3(x, y) + \dots,$$

где u_1 и v_1 удовлетворяют следующим граничным условиям:

$$u_1(x, 0) = 0, \quad v_1(x, 0) = -v_w(x), \quad u_1(x, \delta) = U_\infty(x), \quad (13)$$

а функция u_k и v_k , где $k \geq 2$, — однородным граничным условиям, соответствующим (12).

Ограничимся двумя первыми приближениями задачи. При этом u_1 функция удовлетворяет уравнению

$$\frac{\partial^2 u_1}{\partial y^2} = 0 \quad (14)$$

и граничным условиям (12), а функция $u_2(x, y)$ удовлетворяет уравнению

$$\frac{\partial^2 u_2}{\partial y^2} = u_1 \frac{\partial u_1}{\partial x} + v_1 \frac{\partial u_1}{\partial y} - \left(\frac{M^2}{Re} x^2 + \frac{M^2}{Re^2} y^2 \right) (u_\infty - u_1) - U_\infty \frac{dU_\infty}{dx} \quad (15)$$

Решение задачи (12), (13) имеет вид

$$u_1(x, y) = \frac{U_\infty}{\delta} y, \quad (16)$$

а для функций $v_1(x, y)$ из уравнения неразрывности (7) и граничного условия (13) будем иметь:

$$v_1(x, y) = - \left(\frac{U_\infty}{\delta} \right)' \frac{y^2}{2} - v_0(x), \quad (17)$$

где штрих обозначает производную по x .

Подставляя (16) и (17) в (15) и интегрируя два раза по y , получим

$$u_2(x, y) = \frac{U_\infty}{\delta} \left(\frac{U_\infty}{\delta} \right)' \frac{y^4}{24} - v_w(x) \frac{U_\infty}{\delta} \frac{y^2}{2} - \frac{M^2}{Re} x^2 U_\infty \left(\frac{y^2}{2} - \frac{y^3}{6\delta} \right) - \frac{M^2}{Re^2} U_\infty \left(\frac{y^4}{12} - \frac{y^5}{20\delta} \right) - U_\infty U_\infty' \frac{y^2}{2} + C_1 y + C_2.$$

Определяя c_1 и c_2 из граничных условий

$$u_1(x, 0) = 0, \quad u_2(x, \delta) = 0,$$

найдем окончательный вид функций $u_1(x, y)$.

Подставляя значения $u_1(x, y)$ и $u_2(x, y)$ в (12), получим решение задачи в двух первых приближениях

$$\begin{aligned} u(x, y) \approx u_1(x, y) + u_2(x, y) = & \frac{U_\infty}{\delta} y + \left\{ \frac{U_\infty}{\delta} \left(\frac{U_\infty}{\delta} \right)' \left(\frac{y^4}{24} - \frac{y\delta}{24} \right) - \right. \\ & - \frac{\nu_w U_\infty}{2} \left(\frac{y^2}{\delta} - y \right) - \frac{\mu^2}{R_e} U_\infty x^2 \left(\frac{y^2}{2} - \frac{y^3}{6\delta} - \frac{y\delta}{3} \right) - \\ & \left. - \frac{\mu^2}{R_e^2} U_\infty \left(\frac{y^4}{12} - \frac{y^5}{20\delta} - \frac{\delta^3 y}{30} \right) - U_\infty U_\infty' \left(\frac{y^2}{2} - \frac{y\delta}{2} \right) \right\}; \end{aligned}$$

$$v(x, y) \approx v_1(x, y) + v_2(x, y) = -\frac{y^2}{2} \left(\frac{U_\infty}{\delta} \right)' - \nu_w(x) + v_2(x, y).$$

Для нахождения неизвестной толщины пограничного слоя $\delta(x)$ потребуем выполнения условия непрерывного перехода скорости пограничного слоя в скорость внешнего потока

$$\left. \frac{\partial v}{\partial y} \right|_{y=\delta} = 0.$$

Для определения $\delta(x)$ оно дает нелинейное дифференциальное уравнение

$$(\delta^2)' + \left(\epsilon \frac{U_\infty'}{U_\infty} + \frac{\nu}{3} \frac{\mu^2}{R_e} \frac{x^2}{U_\infty} \right) \delta^2 + \frac{4}{5} \frac{\mu^2}{R_e^2 U_\infty} \delta^4 + \frac{8\nu_w(x)}{U_\infty} \delta = \frac{16}{U_\infty}. \quad (19)$$

Так как аналитическое решение этого уравнения в общем виде затруднительно, рассмотрим несколько частных случаев задания скорости просачивания, когда возможно решение уравнения (19).



1. Пусть скорость просачивания имеет вид

$$v_w(x) = -\frac{1}{10} \frac{M^2}{Re} \delta^3.$$

(20)

Тогда уравнение (10) даст

$$(\delta^2)' + \left(6 \frac{u_\infty'}{u_\infty} + \frac{8}{3} \frac{M^2}{Re} \frac{x^2}{u_\infty}\right) \delta^2 = \frac{16}{u_\infty}.$$

Решая это уравнение при условии, что $\delta(0) = 0$, получим

$$\delta^2 = 16 \exp\left[-\int_0^x \left(6 \frac{u_\infty'}{u_\infty} + \frac{8}{3} \frac{M^2}{Re} \frac{\alpha^2}{u_\infty}\right) d\alpha\right] \times$$

(21)

$$\times \int_0^x \frac{1}{u_\infty} \left\{ \exp\left[\int_0^\alpha \left(6 \frac{u_\infty'}{u_\infty} + \frac{8}{3} \frac{M^2}{Re} \frac{\beta^2}{u_\infty}\right) d\beta\right] \right\} d\alpha.$$

Рассмотрим несколько случаев задания скорости внешнего потока.

а. Пусть $u_\infty = \text{const} = 1$.

Тогда для толщины будем

иметь

$$\delta^2 = 16 e^{-\frac{8}{9} \frac{M^2}{Re} x^3} \int_0^x e^{\frac{8}{9} \frac{M^2}{Re} \alpha^3} d\alpha.$$

Считая $\frac{M^2}{Re} \ll 1$, разлагая экспоненту в ряд и интегрируя, получим

$$\delta^2 = 16 \left(x - \frac{2}{3} \frac{M^2}{Re} x^4\right). \quad (22)$$

При отсутствии магнитного поля будем иметь:

$$\delta^2 = 16x.$$

б. Пусть скорость внешнего потока равна

$$u_\infty(x) = x+1. \quad (23)$$

Тогда (21) даст

$$\delta^2 = \frac{e^{-\frac{8}{3} \frac{M^2}{Re} \left(\frac{x^2}{2} - x\right)}}{(x+1)^{6 + \frac{8}{3} \frac{M^2}{Re}}} \int_0^x (\alpha+1)^{\frac{8}{3} \frac{M^2}{Re} + 5} e^{\frac{8}{3} \frac{M^2}{Re} \left(\frac{\alpha^2}{2} - \alpha\right)} d\alpha. \quad (24)$$

2. Подберем скорость просачивания в виде

$$v_w(x) = - \left[\frac{1}{10} \frac{\mu^2 \delta^2}{R_e^2} + \left(\frac{3}{4} u_\infty' + \frac{1}{3} \frac{\mu^2}{R_e} x^2 \right) \delta \right]. \quad (25)$$

Тогда из (19) уравнения получим

$$(\delta^2)' = \frac{16}{u_\infty},$$

решение которого имеет простой вид:

$$\delta^2 = \int_0^x \frac{16}{u_\infty} d\alpha.$$

Отсюда видно, что при подбore скорости просачивания в виде (25) толщина пограничного слоя не зависит от магнитного поля.

В случае $u_\infty = \text{const} = 1$ и $u_\infty = x+1$ для толщины пограничного слоя будем иметь соответственно:

$$\delta = 4\sqrt{x}, \quad \delta = 4\sqrt{\epsilon n(x+1)}.$$

3. Если скорость просачивания имеет вид

$$v_w(x) = - \left(\frac{1}{3} \frac{\mu^2}{R_e} x^2 \delta + \frac{1}{10} \frac{\mu^2}{R_e^2} \delta^3 \right), \quad (26)$$

то соответствующая толщина определяется из выражения

$$\delta^2 = 16\epsilon \int_0^x \frac{\epsilon \int_0^\alpha (\epsilon n u_\infty)' d\beta}{u_\infty} d\alpha. \quad (27)$$

Если $u_\infty = 1$, $u_\infty = x+1$, для толщины получим

$$\delta = 4\sqrt{x}, \quad \delta = \left\{ \frac{2}{3} \left[1 - (x+1)^{-6} \right] \right\}^{1/2}. \quad (28)$$

Здесь, как и в предыдущем случае, толщина пограничного слоя не зависит от магнитного поля.

4. Пусть скорость просачивания определяется выражением

$$v_w(x) = - \left(\frac{3}{4} u_\infty' \delta + \frac{1}{10} \frac{\mu^2}{R_e^2} \delta^3 \right), \quad (29)$$

• тогда для толщины будем иметь

$$\delta^2 = 16e^{-\frac{8}{3} \frac{M^2}{Re} \int_0^x \frac{\alpha^2}{u_\infty} d\alpha} \int_0^x \frac{e^{-\frac{8}{3} \frac{M^2}{Re} \int_0^\alpha \frac{\beta^2}{u_\infty} d\beta}}{u_\infty} d\alpha. \quad (30)$$

Если $u_\infty = 1$, то получим

$$\delta^2 = 16e^{-\frac{8}{9} \frac{M^2}{Re} x^3} \int_0^x e^{-\frac{8}{9} \frac{M^2}{Re} \alpha^3} d\alpha,$$

считая, что $\frac{M^2}{Re} \ll 1$, можно разложить экспоненту в ряд. Ограничиваясь двумя членами разложения и интегрируя, получим приближенно:

$$\delta^2 \approx 16 \left(x - \frac{2}{3} \frac{M^2}{Re} x^4 \right). \quad (31)$$

Вычисляя трение на поверхности обтекаемого тела, получим:

$$\tau = \left. \frac{\partial u}{\partial y} \right|_{y=0} = u_\infty \left[\frac{1}{\delta} - \left(\frac{u_\infty}{\delta} \right)' \frac{\delta^2}{24} + \frac{v_w}{2} + \frac{M^2}{Re} \frac{\delta x^2}{3} + \frac{M^2}{Re^2} \frac{\delta^3}{30} + \frac{u_\infty' \delta}{2} \right].$$

Поступила 15.XI.1992

Кафедра

дифференциальных и интегральных
уравнений

Литература

1. А.Б.Ватажин, Г.А.Любимов, А.С.Регирер. Магнитогидродинамические течения в каналах. М., Наука, 1970, 672 с.
2. Д.В.Шарикадзе. Магнитная гидродинамика, № 4, 1968, с.53-55.
3. М.Е.Швец. ПММ, т.Е, в.3, 1949, с.257-266.
4. Д.В.Шарикадзе, М.А.Евзат, К.А.Халия. Труды ТГУ, Математика, Механика. Астрономия, т.270, 1987, с.175-193.



ბ. გრძელაძე

ახლოებითი ამონახსნები საზღვრული ფენის განტოლებებისათვის
სუსტად გამტარუნარიანი სითხის სუსტად იონიზირებულ გარემო-
ებში არსებული უსივრცე ველის შემთხვევაში

რეზიუმე

საზღვრული ფენის განტოლებების ამონახსნები ახლოებითი ამონახსნების
შეხვედრის საშუალებით სუსტად გამტარუნარიანი სითხის სუსტად იონიზირებულ
გარემოებში არსებული უსივრცე ველის შემთხვევაში.

I. Grdzeldze

APPROXIMATE SOLUTION OF BOUNDARY LAYER EQUATIONS
OF A WEAKLY CONDUCTIVE FLUID CONSIDERED IN NON-UNI-
FORM MAGNETIC FIELDS

Summary

The boundary layer equations of a weakly conductive fluid con-
sidered in non-uniform magnetic fields with percolation are solved by
using the method of successive approximations.



Труды Тбилисского государственного университета

им. Ив. Джавахишвили

თბილისის სახელმწიფო უნივერსიტეტის სამეცნიერო

უბიჯისათვის გამოცემა

314, 1993

УДК 538

ПОДОБНЫЕ ТЕЧЕНИЯ СЛАБОПРОВОДЯЩЕЙ ЖИДКОСТИ
МЕЖДУ ДВУМЯ ПЛАСТИНАМИ С УЧЕТОМ МАГНИТНОГО ПОЛЯ
И СТОСА

Л.А.Джикидзе

Подобные решения уравнений движения жидкости, сглаживаемой между двумя пластинами, вызывают большой интерес в теории гидродинамической смазки. Упрощения, приводящие дифференциальные уравнения в частных производных к обыкновенным дифференциальным уравнениям, сделали возможным глубоко изучить характер течений.

В работе / 1 / впервые были получены подобные решения в случае нестационарного течения жидкости между двумя пластинами, когда расстояние между пластинами пропорционально величине $(1 - \alpha t)^{1/2}$, где α^{-1} выражает характерное время. В работе / 2 / эта задача была обобщена в случае, когда пластины вращаются со скоростью, пропорциональной величине $\Omega (1 - \alpha t)^{-1}$, где Ω выражает характерную угловую скорость.

Большой интерес вызывает тот случай, когда к дискам приложено магнитное поле. В работах /3/, /4/ и /5/ было исследовано влияние магнитного поля на течение, но авторы этих работ частично или полностью пренебрегали инерционными членами в уравнениях

Навье-Стокса. В работах /6/ и /7/ полностью были сохранены инерционные члены.

В настоящей работе методом функции Грина и малого параметра изучается задача о движении слабопроводящей жидкости между двумя пластинами, когда пластины вращаются со скоростями $a\omega(t)$ и $b\omega(t)$ (где a и b - постоянные числа) и через пластины происходит вдув и отсос той же жидкости со скоростью $v_0(t)$.

Пусть верхняя пластина совершает движение относительно нижней пластины со скоростью $h'(t)$, где $h(t)$ - расстояние между пластинами, и пусть перпендикулярно пластинам приложено магнитное поле $B(t)$.

Для решения задачи воспользуемся уравнениями движения в цилиндрических координатах. С учетом того, что течение жидкости осесимметрично, система уравнений движения примет вид:

$$\begin{cases} \frac{\partial v_r}{\partial t} + v_r \frac{\partial v_r}{\partial r} + v_z \frac{\partial v_r}{\partial z} - \frac{v_\varphi^2}{r} = -\frac{1}{\rho} \frac{\partial p}{\partial r} + \nu \left(\frac{\partial^2 v_r}{\partial z^2} + \frac{1}{r} \frac{\partial v_r}{\partial r} - \frac{v_r}{r^2} \right) - \frac{5B^2}{\rho} v_r, \\ \frac{\partial v_\varphi}{\partial t} + v_r \frac{\partial v_\varphi}{\partial r} + v_z \frac{\partial v_\varphi}{\partial z} + \frac{v_r v_\varphi}{r} = \nu \left(\frac{\partial^2 v_\varphi}{\partial z^2} - \frac{v_\varphi^2}{r} + \frac{1}{r} \frac{\partial v_\varphi}{\partial r} \right) - \frac{5B^2}{\rho} v_\varphi, \\ \frac{\partial v_z}{\partial t} + v_r \frac{\partial v_z}{\partial r} + v_z \frac{\partial v_z}{\partial z} = -\frac{1}{\rho} \frac{\partial p}{\partial z} + \nu \left(\frac{\partial^2 v_z}{\partial z^2} + \frac{1}{r} \frac{\partial v_z}{\partial r} + \frac{\partial^2 v_z}{\partial r^2} \right). \end{cases} \quad (I)$$

К этой системе нужно добавить уравнение неразрывности

$$\frac{\partial v_r}{\partial r} + \frac{v_r}{r} + \frac{\partial v_z}{\partial z} = 0. \quad (2)$$

Систему (1) - (2) должны решать при следующих граничных условиях:

$$\begin{cases} z=0: v_r=0; v_\varphi=a\omega(t), v_z=v_0(t), \\ z=h(t): v_r=0; v_\varphi=b\omega(t), v_z=h'(t)+v_0(t). \end{cases} \quad (3)$$

Пусть



$$\left\{ \begin{aligned} v_\eta &= \frac{\omega_0 t}{1-\omega_0 t} f(\eta), & v_\varphi &= \frac{\omega_0 t}{1-\omega_0 t} q(\eta), & v_x &= \frac{\omega_0 h_0}{\sqrt{1-\omega_0 t}} g(\eta), \\ \frac{P}{\rho} &= \frac{\omega_0 v}{(1-\omega_0 t)} \left[(1-\omega_0 t) P(\eta) + \frac{i^2}{2h_0^2} K \right], & \eta &= \frac{x}{h_0 \sqrt{1-\omega_0 t}}, \\ v_0 &= \frac{\omega_0 h_0}{\sqrt{1-\omega_0 t}} u_0, & h(t) &= h_0 \sqrt{1-\omega_0 t}, & B &= \frac{B_0}{\sqrt{1-\omega_0 t}}, & \omega &= \frac{\omega_0}{1-\omega_0 t}. \end{aligned} \right. \quad (4)$$

Рассмотрим два случая:

а) Допустим, что к пластинам приложено большое магнитное поле. Тогда подстановка (4) в систему (1)-(2) дает следующую систему уравнений:

$$\left\{ \begin{aligned} f'' - m^2 f &= \operatorname{Re} \left[f + \frac{1}{2} \eta f' + g f' + f^2 - q^2 \right]; K \\ q'' - m^2 q &= \operatorname{Re} \left[q + \frac{1}{2} \eta q' + 2f q + g q' \right], \\ g' + 2f &= 0, \\ \frac{\partial P}{\partial \eta} &= g'' - \operatorname{Re} \left[\frac{q}{2} + \frac{\eta}{2} g' + g q' \right], \end{aligned} \right. \quad (5)$$

где $m^2 = \frac{6B_0^2 h_0^2}{\rho v}$, $\operatorname{Re} = \frac{\omega_0 h_0}{v}$, а K - постоянная, зависящая от m и Re .

Для системы (5) получаются следующие граничные условия:

$$\left\{ \begin{aligned} \eta=0, & f=0, q=a, g=u_0, \\ \eta=1, & f=0, q=b, g=u_0 \cdot \frac{1}{2}. \end{aligned} \right. \quad (6)$$

Решение задачи (5) - (6) можно представить в виде

$$\left\{ \begin{aligned} f(\eta) &= \operatorname{Re} \int_0^1 \left(f + \frac{1}{2} s f' + g f' + f^2 - q^2 \right) G(\eta, s) ds + K \int_0^1 G(\eta, s) ds, \\ q(\eta) &= \operatorname{Re} \int_0^1 \left(q + \frac{1}{2} s q' + 2f q + g q' \right) G(\eta, s) ds, \\ g(\eta) &= -2 \int_0^1 f ds, \end{aligned} \right. \quad (7)$$

где $G(\eta, s)$ - функция Грина задачи

$$\left\{ \begin{aligned} G'' - m^2 G &= 0, \\ G|_{\eta=0} &= 0, & G|_{\eta=1} &= 0. \end{aligned} \right.$$

Они имеют вид

$$G = \begin{cases} G_1 = \frac{\operatorname{sh} m(\xi-1)}{m \operatorname{sh} m} \operatorname{sh} m \eta, & 0 < \eta < \xi, \\ G_2 = \frac{\operatorname{sh} m(\eta-1)}{m \operatorname{sh} m} \operatorname{sh} m \xi, & \xi < \eta < 1. \end{cases}$$

Будем искать решение системы (7) в виде рядов по малому параметру

$$f = \sum_{\beta=0}^{\infty} R_{\epsilon}^{\beta} f_{\beta}, \quad g = \sum_{\beta=0}^{\infty} R_{\epsilon}^{\beta} g_{\beta},$$

$$g = \sum_{\beta=0}^{\infty} R_{\epsilon}^{\beta} g_{\beta}, \quad K = \sum_{\beta=0}^{\infty} R_{\epsilon}^{\beta} K_{\beta}.$$

Подставляя ряды (8) в систему (7) и приравнивая коэффициенты при одинаковых степенях R_{ϵ} , получим следующие рекуррентные соотношения:

$$f_0 = \int_0^1 K_0 G(\eta, \xi) d\xi,$$

$$f_{\beta} = \int_0^1 \left[f_{\beta-1} + \frac{1}{2} \xi f'_{\beta-1} + \sum_{\alpha=0}^{\beta-1} \frac{1}{\alpha} (g_{\alpha} f'_{\beta-\alpha-1} - g'_{\alpha} f_{\beta-\alpha-1} + f_{\alpha} f'_{\beta-\alpha-1}) + K_{\beta} \right] G(\eta, \xi) d\xi,$$

$$g_0 = A(\eta),$$

$$g_{\beta} = \int_0^1 \left[g_{\beta-1} + \frac{1}{2} \xi g'_{\beta-1} + \sum_{\alpha=0}^{\beta-1} (2f_{\alpha} g'_{\beta-\alpha-1} + g'_{\alpha} g'_{\beta-\alpha-1}) \right] G(\eta, \xi) d\xi,$$

$$g_0 = -2 \int_0^1 f_0 d\xi + u_0,$$

$$g_{\beta} = -2 \int_0^1 f_{\beta} d\xi,$$

где $A(\eta)$ является решением задачи



$$A''(\eta) - m^2 A(\eta) = 0,$$

$$A(0) = a, \quad A(1) = b.$$

Первые два приближения $f_0, f_1, \eta_0, \eta_1, \varrho_0, \varrho_1, k_0, k_1$ имеют вид:

$$f_0 = \frac{K_0}{m^2 \operatorname{sh} m} [\operatorname{sh} m \eta + \operatorname{sh} m(1-\eta) - \operatorname{sh} m],$$

$$\eta_0 = \frac{1}{\operatorname{sh} m} [b \operatorname{sh} m \eta + a \operatorname{sh} m(1-\eta)],$$

$$\varrho_0 = -\frac{2K_0}{m^3 \operatorname{sh} m} [\operatorname{ch} m \eta - \operatorname{sh} m(1-\eta) - \eta m \operatorname{sh} m + (\operatorname{ch} m - 1)] + \dots$$

$$K_0 = \frac{m^3 \operatorname{sh} m}{4[2(\operatorname{ch} m - 1) - m \operatorname{sh} m]},$$

$$\int_1 = \frac{K_0 [(m^2 - K_0) \operatorname{sh}^2 m - 2K_0(\operatorname{ch} m - 1)] - K_1 m^4 \operatorname{sh}^2 m}{m^6 \operatorname{sh}^3 m} [\operatorname{sh} m(\eta - 1) -$$

$$- \operatorname{sh} m \eta + \operatorname{sh} m] + \frac{K_0^2}{6m^6 \operatorname{sh}^3 m} [(2 \operatorname{sh} m - \operatorname{sh} 2m)(\operatorname{ch} m(2\eta - 1) + 3) +$$

$$+ (\operatorname{ch} 2m + 4 \operatorname{ch} m - 5)(\operatorname{sh} 1\eta - \operatorname{sh} m(\eta - 1))] + \frac{K_0(m^2 - 2K_0)(\operatorname{ch} m - 1)}{2m^5 \operatorname{sh}^2 m} [\operatorname{sh} m \eta +$$

$$+ \operatorname{sh} m(\eta - 1)] + \frac{K_0(m + 4K_0)}{8m^4 \operatorname{sh} m} [\operatorname{sh} m(\operatorname{ch} m(\eta - 1) - \operatorname{ch} m \eta) \eta - m \operatorname{sh} m \times$$

$$\times (\operatorname{sh} m(\eta - 1) - \operatorname{sh} m, \eta^2 + (\operatorname{ch} m - 1 - m \operatorname{sh} \eta) \operatorname{sh} m \eta] +$$

$$+ \frac{K_0[2K_0(\operatorname{ch} m - 1) + 10m^3 \operatorname{sh} m]}{2m^4 \operatorname{sh} m} [(\eta - 1) \operatorname{sh} m \eta - \eta \operatorname{sh} m(\eta - 1)] +$$

$$+ \frac{1}{6m \operatorname{sh}^2 m} \left\{ b^2 [\operatorname{sh} m(\operatorname{ch} 2m \eta + 3) - \operatorname{sh} m \eta (\operatorname{ch} 2m + 3) + 4 \operatorname{sh} m(\eta - 1)] - \right.$$

$$- 2ab [\operatorname{sh} m(\operatorname{ch} m(2\eta - 1) + 3 \operatorname{ch} m) + 4 \operatorname{ch} m(\operatorname{sh} m(\eta - 1) - \operatorname{sh} m \eta)] +$$

$$+ a^2 [\operatorname{sh} m(\operatorname{ch} 2m(\eta - 1) + 3) + (\operatorname{ch}^2 m + 3) \operatorname{sh} m(\eta - 1) - 4 \operatorname{sh} m \eta],$$



$$\begin{aligned}
 q_1 = & \frac{2k_0(a+b)(ch\ m-1)}{m^4 sh^3 m} [sh\ m\eta - sh\ m(\eta-1) - sh\ m] + \\
 & + \frac{3m^2 - 12k_0}{8m^3 sh^2 m} [sh\ m(b\ ch\ m\eta - a\ ch\ m(\eta-1)\eta + (a-b\ ch\ m)sh\ m\eta)] + \\
 & + \frac{m^2 + 4k_0}{8m^2 sh\ m} [b\ sh\ m\eta - a\ sh\ m(\eta-1)]\eta^2 + \\
 & + \frac{u_0 m^3 sh\ m + 2k_0(ch\ m-1)}{2m^3 sh^2 m} [b\ sh\ m\eta - a\ sh\ m(\eta-1)]\eta - \\
 & - \frac{(a+4u_0)m^3 sh\ m + 4k_0[m\ sh\ m - 2(ch\ m-1)]}{8m^3 sh^2 m} b\ sh\ m\eta
 \end{aligned}$$

$$\begin{aligned}
 q_2 = & \frac{2k_0[(m^2 - k_0)sh^2 m - 2k_0(ch\ m-1)] - k_1 m^4 sh\ m}{m^7 sh^3 m} [ch\ m\eta - \\
 & - ch\ m(\eta-1) - \eta\ m\ sh\ m + (ch\ m-1)] - \frac{k_0(m^2 - k_0)(ch\ m-1)}{m^6 sh^2 m} [ch\ m\eta + \\
 & + ch\ m(\eta-1) - (ch\ m+1)] - \frac{k_0^2}{6m^7 sh^3 m} [(2sh\ m - sh\ 2m)(sh\ m(2\eta-1) + \\
 & + 6m\eta + sh\ m) + 2(ch\ 2m + 4ch\ m - 5)(ch\ m\eta - ch\ m(\eta-1) + ch\ m-1)] - \\
 & - \frac{k_0[2k_0(ch\ m-1) + u_0 m^3 sh\ m]}{m^6 sh\ m} [m\eta\ ch\ m\eta - ch\ m(\eta-1) + sh(\eta-1) - \\
 & - sh\ m\eta - m(ch\ m-1) + sh\ m] - \frac{k_0(m+4k_0)}{4m^6 sh\ m} \left\{ sh[3m\eta(sh\ m(\eta-1) - \right. \\
 & - sh\ m\eta) - (m^2\eta + 3)(ch\ m(\eta-1) - ch\ m\eta) + 3(ch\ m-1)] + m(ch\ m - \\
 & \left. - 1 - m\ sh\ m)(ch\ m-1) \right\} - \frac{1}{6m^2 sh^2 m} \left\{ b^2 [sh\ m(sh\ 2m\eta + 6m\eta) - \right.
 \end{aligned}$$

$$- 2(ch\ 2m+3)(ch\ m-1) + 8(ch\ m(\eta-1) - ch\ m)] - 2ab \times$$

$$\times [sh\ m(sh\ m(2\eta-1) + 6m\eta\ ch\ m + sh\ m) + 8\ ch\ m(ch\ m(\eta-1) -$$

$$- ch\ m\eta - ch\ m+1)] + a^2 [sh\ m(sh\ 2m(\eta-1) + 6m\eta + sh\ 2m) +$$

$$+ 2(ch\ 2m+3)(ch\ m(\eta-1) - ch\ m) - 8(ch\ m\eta-1)] \},$$

$$K_1 = \frac{K_0 [(m^2 - K_0) sh^2 m - 2K_0 (ch\ m-1)]}{m^4 sh^2 m}$$

$$- \frac{K_0 (m+4K_0)}{3m^3 [2(ch\ m-1) - m\ sh\ m]} \{ sh\ m [(m^2+6)(ch\ m-1) - 3m\ sh\ m] +$$

$$+ m(ch\ m-1 - m\ sh\ m)(ch\ m-1) \} - \frac{m}{12\ sh\ m [2(ch\ m-1) - m\ sh\ m]} \{ \alpha +$$

$$+ \beta^2 \} [sh\ m(sh\ 2m+6m) - 2(ch\ m-1)(ch\ 2m+1)] - 4ab \times$$

$$\times [sh\ m(sh\ m+3m\ ch\ m) - 8\ ch\ m(ch\ m-1)] \} -$$

$$\frac{K_0^2}{6m^4 sh^2 m [2(ch\ m-1) - m\ sh\ m]} [(2\ ch\ m - sh\ 2m)(sh\ m+3m) +$$

$$+ 2(ch\ 2m + 4ch\ m-5)(ch\ m-1)] \}.$$

$m^2 = Re m^2$
3411369-11

б) Предположим, что магнитное поле таково, что $m^2 = Re m^2$. Тогда подстановка (4) в систему (1) - (2) дает следующую систему уравнений:

$$\begin{cases} f'' = Re [(1+m_0^2)f + \frac{1}{2}\eta f' + g f' + f^2 - q^2] + K, \\ q'' = Re [(1+m_0^2)q + \frac{1}{2}\eta q' + 2f q + g q'], \\ \frac{\partial P}{\partial \eta} = q'' - Re [\frac{1}{2}g + \frac{\eta}{2}q' + g q'], \\ g' + 2f = 0. \end{cases} \quad (9)$$

Решение задачи (6) - (9) можно представить в виде:

$$\begin{cases} f(\eta) = Re \int_0^1 [(1+m_0^2)f + \frac{1}{2}\eta f' + g f' + f^2 - q^2] G(\eta, \xi) d\xi + \\ \quad + K \int_0^1 G(\eta, \xi) d\xi, \\ q(\eta) = Re \int_0^1 [(1+m_0^2)q + \frac{1}{2}\eta q' + 2f q + g q'] G(\eta, \xi) d\xi, \\ g(\eta) = -2 \int_0^\eta f d\xi, \end{cases} \quad (10)$$

где $G(\eta, \xi)$ - функция Грина задачи

$$\begin{aligned} G'' &= \rho, \\ G|_{\eta=0} &= 0, \quad G|_{\eta=1} = 0. \end{aligned}$$

Она имеет вид

$$G = \begin{cases} G_1 = (\xi-1)\eta, & 0 \leq \eta < \xi, \\ G_2 = (\eta-1)\xi, & \xi < \eta \leq 1. \end{cases}$$

Подставляя ряды (8) в систему (10) и приравнивая коэффициенты при одинаковых степенях Re , получим следующие рекуррентные соотношения:

$$\begin{aligned} f_0 &= \int_0^1 K_0 G(\eta, \xi) d\xi, \\ f_\beta &= \int_0^1 [(1+m_0^2)f_{\beta-1} + \frac{1}{2}\eta f'_{\beta-1} + \sum_{\alpha=0}^{\beta-1} (g_\alpha f_{\beta-\alpha-1} - q_\alpha q_{\beta-\alpha-1} + \\ &\quad + f_\alpha f_{\beta-\alpha-1}) + K_\beta] G(\eta, \xi) d\xi, \end{aligned}$$

$$q_{\beta} = C(\eta)$$

$$q_{\beta} = \int_0^1 \left[(1+m_0^2) q_{\beta-1} + \frac{1}{2} \zeta q'_{\beta-1} + \sum_{\alpha=0}^{\beta-1} 2f_{\alpha} q'_{\beta-\alpha-1} + \right. \\ \left. + g_{\alpha} q'_{\beta-\alpha-1} \right] G(\eta, \zeta) d\zeta,$$

$$q_0 = -2 \int_0^1 f_0 d\zeta + u_0,$$

$$q_{\beta} = -2 \int_0^1 f_{\beta} d\zeta,$$

где $G(\eta)$ - решение задачи

$$C''(\eta) = 0,$$

$$C(0) = a, \quad C(1) = b:$$

Первые два приближения $f_0, f_1, q_0, q_1, g_0, g_1, K_0, K_1$ имеют вид:

$$f_0 = \frac{K_0}{2} (\eta^2 - \eta),$$

$$q_0 = a + (b-a)\eta,$$

$$g_0 = -\frac{K_0}{6} (2\eta^3 - 3\eta^2) + u_0,$$

$$K_0 = -3,$$

$$f_1 = \frac{(1+m_0^2)K_0}{24} [5\eta^4 - 12\eta^3 + 6\eta^2 + \eta] + \frac{K_0^2}{360} [3\eta^5 - 2\eta - \eta^6] + \\ + \frac{K_0}{24} [\eta^4 - \eta^3] - \frac{b-a}{12} [4a(\eta^3 - \eta) + (b-a)(\eta^4 - \eta)] + \\ + \frac{(K_1 - a^2)}{2} (\eta^2 - \eta),$$

$$q_1 = \frac{[(1+m_0^2)a + u_0(b-a)]}{2} (\eta^2 - \eta) + \frac{(3+2m_0^2)(b-a) - aK_0}{12} \times \\ \times (\eta^3 - \eta) + \frac{aK_0}{24} (\eta^4 - \eta) + \frac{K_0(b-a)}{120} (\eta^5 - \eta),$$



$$g_1 = \frac{(4+m_0^2)K_0}{24} (2\eta^5 - 6\eta^4 + 4\eta^3 + \eta^2) + \frac{K_0^2}{2520} (2\eta^7 - 7\eta^6 + 14\eta^5 - 14\eta^4 + 7\eta^3 - \eta^2) - \frac{K_0}{120} (4\eta^5 - 5\eta^4) - \frac{b-a}{60} [10a(\eta^4 - 2\eta^2) + (b-a)(2\eta^5 - 5\eta^2)] - \frac{K_1 - a^2}{6} (2\eta^6 - 3\eta^2),$$

$$K_1 = a^2 + \frac{(4+5m_0^2)K_0}{20} - \frac{3K_0^2}{140} + \frac{(a-b)(7a+3b)}{10}.$$

Вычислены все характеристики течения и построены соответствующие графики.

Поступила 15.XI.1991

Кафедра
теоретической механики

Литература

1. S. Ishizawa. Bull of the J.S.M.E., 1966, Vol.9, N35, 533-550.
2. E.A.Hanza and D.A.MacDonald. Quarterly of Applied Mathematic, 1984, Vol.41, 495-511.
3. W.F.Hughes and R.A.Elco. Journal of Fluid Mechanics, 1962, Vol.13, 21-32.
4. D.C.Kurma. E.R.Maki and R.J.Donelly. Journal of Fluid Mechanics, Vol.19, 395-400.
5. S.Kanayama. ASME Journal of Lubrication Technology, 1969, vol.91, N2, 589-596.
6. E.A.Hanza. ASME Journal of Tribology, 1988, vol.110, N2, 375-377.

ზ. ჯიჯიძე

SIMILAR FLOWS OF A WEAKLY CONDUCTIVE FLUID BETWEEN TWO PLATES IN THE PRESENCE OF A MAGNETIC FIELD AND SUCTION

Summary

Similar flows of a weakly conductive fluid flowing between two porous rotating plates have been studied by the method of Green's function and the perturbation theory of small parameters. Besides rotation, the upper plate moves towards the lower plate at $h'(t)$ speed, where $h(t)$ is the distance between the plates. The plates rotate at different angular velocities and the external magnetic field $B(t)$ is applied perpendicularly to them while injection and suction of fluid into the plates (exudation and leakage) take place at one and the same, $V_0(t)$, speed.

All the characteristics of the flow are calculated and corresponding graphs plotted.



им. И. Джавахидзе

ნაგავიბიძვრის საბერძნის იბერიის საბერძნის

უნივერსიტეტის შრომები

314, 1993

УДК 538

ДВУМЕРНОЕ ПУЛЬСИРУЮЩЕЕ ТЕЧЕНИЕ ВЯЗКОЙ НЕСХИМАЕМОЙ ЖИДКОСТИ В ПОРИСТОМ КАНАЛЕ

Д.В. Шархадзе, Р.Г. Левдариани

Рассматривается двумерное нестационарное течение вязкой несжимаемой жидкости в пористом канале, вызванное периодическим изменением во времени как перепада давления, так и скоростей просачивания жидкости через стенки канала.

Если направить ось OX параллельно стенкам, а ось OY перпендикулярно им, то уравнения нестационарного двумерного движения вязкой несжимаемой жидкости будут иметь вид:

$$\frac{\partial u}{\partial t} + u \frac{\partial u}{\partial x} + v \frac{\partial u}{\partial y} = -\frac{1}{\rho} \frac{\partial p}{\partial x} + \nu \left(\frac{\partial^2 u}{\partial x^2} + \frac{\partial^2 u}{\partial y^2} \right),$$

$$\frac{\partial v}{\partial t} + u \frac{\partial v}{\partial x} + v \frac{\partial v}{\partial y} = -\frac{1}{\rho} \frac{\partial p}{\partial y} + \nu \left(\frac{\partial^2 v}{\partial x^2} + \frac{\partial^2 v}{\partial y^2} \right), \quad (I)$$

$$\frac{\partial u}{\partial x} + \frac{\partial v}{\partial y} = 0.$$

Искомые скорости $u(x, y, t)$ и $v(x, y, t)$ должны удовлетворять следующим предельным условиям:

$$\begin{aligned} u(x, y, 0) &= 0, & v(x, y, 0) &= 0, \\ u(x, -h, t) &= 0, & v(x, -h, t) &= V_{W_1}(t), \\ u(x, h, t) &= 0, & v(x, h, t) &= V_{W_2}(t). \end{aligned} \quad (2)$$

Введем следующие безразмерные величины:

$$\begin{aligned} u &= u_0 u_1, & v &= v_0 v_1, & x &= lx_1 = \frac{u_0}{v_0} h x_1, & y &= h y_1, & t &= \frac{h^2}{\nu} t_1, \\ \rho &= \frac{\rho_0 u_0^2}{v_0 h} P_1, & V_{W_1} &= v_0 v_{01}, & V_{W_2} &= v_0 v_{02}. \end{aligned}$$

Тогда из системы (1) будем иметь уравнения в безразмерном виде:

$$\begin{aligned} \left(\frac{v_0}{u_0}\right)^2 \frac{\partial^2 u}{\partial x^2} + \frac{\partial^2 u}{\partial y^2} - \frac{\partial u}{\partial t} &= R_0 \left(u \frac{\partial u}{\partial x} + v \frac{\partial u}{\partial y} \right) + \frac{\partial P}{\partial x}, \\ \left(\frac{v_0}{u_0}\right)^2 \frac{\partial^2 v}{\partial x^2} + \frac{\partial^2 v}{\partial y^2} - \frac{\partial v}{\partial t} &= R_0 \left(u \frac{\partial v}{\partial x} + v \frac{\partial v}{\partial y} \right) + \left(\frac{u_0}{v_0}\right) \frac{\partial P}{\partial y}, \\ \frac{\partial u}{\partial x} + \frac{\partial v}{\partial y} &= 0, \end{aligned} \quad (3)$$

где u_0 , v_0 - характеристические средняя скорость и скорость просачивания соответственно, l - длина канала, h - половина расстояния между стенками, $R_0 = \frac{v_0 h}{\nu}$ - число Рейнольдса просачивания. В системе (3) для простоты опущены индексы.

Идем решение системы (3) в виде:

$$u(x, y, t) = (1-x) \frac{\partial f(y, t)}{\partial y}, \quad v(x, y, t) = f(y, t). \quad (4)$$

Тогда она примет вид:

$$\begin{aligned} \frac{\partial^3 f}{\partial y^3} - \frac{\partial^2 f}{\partial y \partial t} &= R_0 \left[f \frac{\partial^2 f}{\partial y^2} - \left(\frac{\partial f}{\partial y}\right)^2 \right] + \frac{1}{1-x} \frac{\partial P}{\partial x}, \\ \frac{\partial^2 f}{\partial y^2} - \frac{\partial f}{\partial t} &= R_0 f \frac{\partial f}{\partial y} + \frac{u_0}{v_0} \frac{\partial P}{\partial y}. \end{aligned} \quad (5)$$



Допустим, что величины $\frac{1}{1-x} \frac{\partial P}{\partial x}$, $v_{01}(t)$ и $v_{02}(t)$ меняются по периодическому закону:

$$\begin{aligned} \frac{1}{1-x} \frac{\partial P}{\partial x} &= a + \varepsilon e^{i\omega t} b, \\ v_{01} &= c(1 + \varepsilon e^{i\omega t}), \\ v_{02} &= d(1 + \varepsilon e^{i\omega t}), \end{aligned} \quad (6)$$

где a, b - неизвестные постоянные, определяемые из граничных условий, а c, d - заданные постоянные.

Будем искать функцию $f(y, t)$ в виде:

$$f(y, t) = \varphi(y) + \varepsilon e^{i\omega t} \psi(y). \quad (7)$$

Подставляя (7) в систему (5) и отбрасывая члены, содержащие ε^2 и выше, из первого уравнения системы (5) будем иметь:

$$\varphi''' = R_0 (\varphi \varphi'' - \varphi'^2) + a, \quad (8)$$

$$\varphi''' - i\omega \psi' = R_0 (\varphi \varphi'' + \varphi \psi'' - 2\varphi' \psi'), \quad (9)$$

а из (2) следующие граничные условия:

$$\begin{aligned} \varphi(-1) &= c, & \varphi(1) &= d, \\ \varphi'(-1) &= 0, & \varphi'(1) &= 0, \\ \varphi(-1) &= c, & \varphi(1) &= d, \\ \varphi'(-1) &= 0, & \varphi'(1) &= 0. \end{aligned} \quad (10)$$

Будем считать, что число Рейнольдса просачивания $R_0 = \frac{v_0 h}{\nu}$ мало. Представим функции $\varphi(y)$ и $\psi(y)$, а также неизвестные постоянные a и b в виде рядов по степеням R_0 :

$$\varphi(y) = \sum_{k=0}^{\infty} R_0^k \varphi_k(y), \quad \psi(y) = \sum_{k=0}^{\infty} R_0^k \psi_k(y), \quad (11)$$

$$a = \sum_{k=0}^{\infty} R_0^k a_k,$$

$$b = \sum_{k=0}^{\infty} R_0^k b_k.$$

Подставляя (II) в уравнения (8) и (9) и приравнявая коэффициенты при одинаковых степенях R_0 , получим в первых двух приближениях:

$$\begin{aligned} \varphi_0''' &= a_0, \\ \varphi_0''' - i\omega\varphi_0' &= b_0, \\ \varphi_1''' &= \varphi_0\varphi_0'' - \varphi_0'^2 + a_1, \\ \varphi_1''' - i\omega\varphi_1' &= b_1 + \varphi_0\varphi_0'' + \varphi_0''\varphi_0 - 2\varphi_0'\varphi_0', \end{aligned} \quad (12)$$

где φ_0 , φ_0 , φ_1 и φ_1 функции должны удовлетворять следующим граничным условиям:

$$\begin{aligned} \varphi_0(-1) &= c, & \varphi_0(1) &= d, & \varphi_0'(-1) &= 0, & \varphi_0'(1) &= 0, \\ \varphi_0(-1) &= c, & \varphi_0(1) &= d, & \varphi_0'(-1) &= 0, & \varphi_0'(1) &= 0, \\ \varphi_k(-1) &= 0, & \varphi_k(1) &= 0, & \varphi_k'(-1) &= 0, & \varphi_k'(1) &= 0, \end{aligned} \quad (13)$$

где $k \geq 1, 2, \dots$, а штрихи показывают производные по y .

Решение системы (12) не представляет труда. Мы найдем функции φ_0 , φ_1 и φ_0 , а также величины a_0 , b_0 , a_1 . Нахождение функции φ_1 и величины b_1 в допущенном приближении не имеет смысла, так как слагаемые, содержащие φ_1 и b_1 имеют коэффициентами произведение двух бесконечно малых величин εR_0 .

Таким образом, для φ_0 , φ_0 , φ_1 , a_0 , b_0 и a_1 получим следующие выражения:

$$\varphi_0(y) = A(y^3 - 3y) + B,$$

$$\varphi_0(y) = \frac{1}{D} [4A(\operatorname{sh}\sqrt{i\omega}y - y\sqrt{i\omega} \operatorname{ch}\sqrt{i\omega}) + B].$$



$$a_0 = 6A, \quad b_0 = \frac{1}{D} [4a(i\omega)^{3/2} \operatorname{ch} \sqrt{i\omega}], \quad a_1 = \frac{324}{35} A^2,$$

$$\varphi_1 = \frac{AB}{4} (y^2 - 1)^2 - \frac{A^2}{70} (y^7 - 3y^3 + 2y),$$

где введены обозначения:

$$A = \frac{c-d}{4}, \quad B = \frac{c+d}{2}, \quad D = 2(\operatorname{sh} \sqrt{i\omega} - \sqrt{i\omega} \operatorname{ch} \sqrt{i\omega}).$$

Окончательно для компонентов скорости и перепадов давления вдоль и поперек основного течения в предложенном приближении будем иметь:

$$u(x, y, t) = (1-x) [\varphi_0'(y) + R_0 \varphi_1'(y) + \epsilon e^{i\omega t} \varphi_0'(y)],$$

$$v(x, y, t) = \varphi_0(y) + R_0 \varphi_1(y) + \epsilon e^{i\omega t} [\varphi_0(y) + R_0 \varphi_1(y)],$$

$$\frac{\partial p}{\partial x} = (1-x) [a_0 + R_0 a_1 + \epsilon e^{i\omega t} b_0],$$

$$\frac{\partial p}{\partial y} = \frac{y_0}{u_0} [\varphi_0'' + R_0 \varphi_1'' + \epsilon e^{i\omega t} (\varphi_0'' - i\omega \varphi_0) - R_0 \varphi_0 \varphi_0'].$$

Поступила 10. II. 1990

Кафедра

теоретической механики,

спец. лаборатория ИММ

Литература

1. A.S. Bermann, J. of Applied Physics, v.24, N9, 1953, p.1232-1235.
2. R.M. Terrill, G.M. Shrestha, ZAMP, 16, 1965, p.470-482.
3. В.М. Ерошкин, Л.И. Зайчик. Гидродинамика и теплообмен на проницаемых поверхностях., Москва, "Наука", 1984.



լսնոն ունեցող սոսկի մարմնի մասին.

Այսպիսով Երևանի քաղաքում կայանալից էլեկտրական ճառագայթների և արևային ճառագայթների միջև առկա է ընդհանուր հարաբերակցություն, որի հետևանքով էլեկտրական ճառագայթների արագությունը մեծանում է արևային ճառագայթների արագության հարաբերակցության համեմատականում. այսինքն $(-\frac{1}{g} \frac{\partial p}{\partial x} = H e^{-i\omega t})$, երբ սոսկի մարմնի արագությունը մեծանում է, ապա էլեկտրական ճառագայթների արագությունը մեծանում է արևային ճառագայթների արագության համեմատականում. այսինքն $\eta (\frac{\partial v}{\partial t})^2$, սակայն չափում են սոսկի ϵv^2 . Երբ ճառագայթների արագությունը մեծանում է, ապա էլեկտրական ճառագայթների արագությունը մեծանում է արևային ճառագայթների արագության համեմատականում. այսինքն ϵv^2 . Երբ ճառագայթների արագությունը մեծանում է, ապա էլեկտրական ճառագայթների արագությունը մեծանում է արևային ճառագայթների արագության համեմատականում. այսինքն ϵv^2 .

Վերջում ասենք, որ էլեկտրական ճառագայթների արագությունը մեծանում է արևային ճառագայթների արագության համեմատականում. այսինքն ϵv^2 . Երբ ճառագայթների արագությունը մեծանում է, ապա էլեկտրական ճառագայթների արագությունը մեծանում է արևային ճառագայթների արագության համեմատականում. այսինքն ϵv^2 .

Վերջում ասենք, որ էլեկտրական ճառագայթների արագությունը մեծանում է արևային ճառագայթների արագության համեմատականում. այսինքն ϵv^2 .

$$\frac{\partial \vec{v}}{\partial t} + (\vec{v}\Delta)\vec{v} = -\frac{1}{\rho} \text{grad } p + \nu \Delta \vec{v} - \frac{\epsilon}{\rho} [H[\vec{v}, \vec{H}]]$$

$$\rho C_p \left(\frac{\partial T}{\partial t} + (\vec{v}\nabla)T \right) = \kappa \Delta T + \Phi + \epsilon [\vec{v}, \vec{H}]^2$$

(1)

$$\theta(\xi, \tau) \Big|_{\xi=1} = B_1 e^{-2i\alpha\tau}, \quad \theta(\xi, \tau) = B_2 e^{-2i\alpha\tau},$$

քաղցրահամ (2) ստացվողն ձևով եւ ճշգրտորէն կաճուի:

$$u(\xi, \tau) = \Phi(\xi) e^{i\alpha\tau}, \quad \theta(\xi, \tau) = F(\xi) e^{-2i\alpha\tau}.$$

Սահմանադրութիւնն ըստ կոեփորագրութիւնստի (3)-(4) կստանա՞նք յորտէս ճշգրտորէն ճշգրտորէն Յարմար զտեսչութիւն 171:

$$u(\xi, \tau) = \frac{A_1 \operatorname{sh} \sqrt{\mu^2 - i\alpha} (1+\xi) + A_2 \operatorname{sh} \sqrt{\mu^2 - i\alpha} (1-\xi)}{\operatorname{sh} 2\sqrt{\mu^2 - i\alpha}} - \frac{D}{\mu^2 - i\alpha} \left(\frac{\operatorname{ch} \sqrt{\mu^2 - i\alpha} \xi}{\operatorname{ch} \sqrt{\mu^2 - i\alpha}} - 1 \right) \Big\} e^{-i\alpha\tau} \quad (5)$$

$$\begin{aligned} \theta(\xi, \tau) = & \left\{ C_1 e^{-\sqrt{\alpha s} (1-i)\xi} + C_2 e^{\sqrt{\alpha s} (1-i)\xi} + \right. \\ & + \frac{1}{4\mu^2 - 2i\alpha(2-3)} (a_1 \operatorname{ch} 2\sqrt{\mu^2 - i\alpha} (1+\xi) + a_2 \operatorname{ch} 2\sqrt{\mu^2 - i\alpha} (1-\xi) + \\ & + a_3 \operatorname{ch} 2\sqrt{\mu^2 - i\alpha} \xi + a_4 \operatorname{sh} 2\sqrt{\mu^2 - i\alpha} (1+2\xi) + a_5 \operatorname{sh} 2\sqrt{\mu^2 - i\alpha} (1-2\xi)) + \\ & \left. + \frac{1}{\mu^2 - i\alpha(1-2s)} (a_6 \operatorname{ch} \sqrt{\mu^2 - i\alpha} \xi + a_7 \operatorname{sh} \sqrt{\mu^2 - i\alpha} (1+\xi) + \right. \\ & \left. + a_8 \operatorname{sh} \sqrt{\mu^2 - i\alpha} (1-\xi)) + \frac{a_9}{2i\alpha s} \right\} e^{-2i\alpha\tau}. \quad (6) \end{aligned}$$

կարծ

$$\begin{aligned} C_1 = & \frac{1}{2s \operatorname{sh} 2\sqrt{\alpha s} (1-i)} \left[\frac{1}{4\mu^2 - 2i\alpha(2-3)} \left[e^{-\sqrt{\alpha s} (1-i)} (a_1 \operatorname{ch} 4\sqrt{\mu^2 - i\alpha} + \right. \right. \\ & + a_5 \operatorname{sh} 3\sqrt{\mu^2 - i\alpha} + a_4 \operatorname{ch} 2\sqrt{\mu^2 - i\alpha} + a_6 \operatorname{sh} \sqrt{\mu^2 - i\alpha} + a_7) - \\ & - e^{\sqrt{\alpha s} (1-i)} (a_2 \operatorname{ch} 4\sqrt{\mu^2 - i\alpha} + a_5 \operatorname{sh} 3\sqrt{\mu^2 - i\alpha} + a_4 \operatorname{ch} 2\sqrt{\mu^2 - i\alpha} + \\ & \left. \left. + a_5 \operatorname{sh} \sqrt{\mu^2 - i\alpha} + a_1) \right] + \frac{1}{\mu^2 - i\alpha(1-2s)} \left[e^{-\sqrt{\alpha s} (1-i)} (a_3 \operatorname{ch} \sqrt{\mu^2 - i\alpha} + \right. \right. \end{aligned}$$



$$a_7 \operatorname{sh} 2\sqrt{M^2 - i\alpha} - e^{\sqrt{\alpha S}(1-i)} \left(a_3 \operatorname{ch} \sqrt{M^2 - i\alpha} + a_8 \operatorname{sh} 2\sqrt{M^2 - i\alpha} \right) - \frac{a_9}{i\alpha S} \operatorname{sh} \sqrt{\alpha S}(1-i) + B_2 e^{\sqrt{\alpha S}(1-i)} - B_1 e^{-\sqrt{\alpha S}(1-i)} \Big\},$$

$$C_a = \frac{i}{2 \operatorname{sh} 2\sqrt{\alpha S}(1-i)} \left\{ \frac{1}{4M^2 - 2i\alpha(2-S)} \left[e^{-\sqrt{\alpha S}(1-i)} \left(a_2 \operatorname{ch} 4\sqrt{M^2 - i\alpha} + a_6 \operatorname{sh} 3\sqrt{M^2 - i\alpha} + a_4 \operatorname{ch} 2\sqrt{M^2 - i\alpha} + a_5 \operatorname{sh} \sqrt{M^2 - i\alpha} + a_1 \right) - e^{\sqrt{\alpha S}(1-i)} \left(a_7 \operatorname{ch} 4\sqrt{M^2 - i\alpha} + a_5 \operatorname{sh} 3\sqrt{M^2 - i\alpha} + a_4 \operatorname{ch} 2\sqrt{M^2 - i\alpha} + a_6 \operatorname{sh} \sqrt{M^2 - i\alpha} + a_3 \right) \right] + \frac{1}{M^2 - i\alpha(1-2S)} \left[e^{-\sqrt{\alpha S}(1-i)} \left(a_3 \operatorname{ch} \sqrt{M^2 - i\alpha} + a_8 \operatorname{sh} 2\sqrt{M^2 - i\alpha} \right) - e^{\sqrt{\alpha S}(1-i)} \left(a_3 \operatorname{ch} \sqrt{M^2 - i\alpha} + a_7 \operatorname{sh} 2\sqrt{M^2 - i\alpha} \right) \right] - \frac{a_9}{i\alpha S} \operatorname{sh} \sqrt{\alpha S}(1-i) + B_1 e^{\sqrt{\alpha S}(1-i)} - B_2 e^{-\sqrt{\alpha S}(1-i)} \Big\},$$

$$a_1 = \frac{H_1^2 (2M^2 - i\alpha)}{2 \operatorname{ch}^2 2\sqrt{M^2 - i\alpha}}, \quad a_2 = \frac{H_2^2 (2M^2 - i\alpha)}{2 \operatorname{sh}^2 2\sqrt{M^2 - i\alpha}},$$

$$a_3 = \frac{2M^2 D^2}{(M^2 - i\alpha) \operatorname{ch} \sqrt{M^2 - i\alpha}}, \quad a_4 = \frac{H_1 H_2 (2M^2 - i\alpha)}{\operatorname{sh}^2 2\sqrt{M^2 - i\alpha}} - \frac{D^2 (2M^2 - i\alpha)}{(M^2 - i\alpha)^2 \operatorname{ch}^2 \sqrt{M^2 - i\alpha}},$$

$$a_5 = \frac{H_1 D (2M^2 - i\alpha)}{(M^2 - i\alpha) \operatorname{sh} 2\sqrt{M^2 - i\alpha} \operatorname{ch} \sqrt{M^2 - i\alpha}},$$



$$a_6 = \frac{A_2 D (2M^2 - i\alpha)}{(M^2 - i\alpha) \operatorname{sh} 2\sqrt{M^2 - i\alpha} \operatorname{ch} \sqrt{M^2 - i\alpha}},$$

$$a_7 = -\frac{2M^2 D A_2}{(M^2 - i\alpha) \operatorname{sh} 2\sqrt{M^2 - i\alpha}}, \quad a_8 = -\frac{2DM^2 A_2}{(M^2 - i\alpha) \operatorname{sh} 2\sqrt{M^2 - i\alpha}}$$

$$a_9 = \frac{i\alpha}{2} \left(\frac{A_1^2 - 2A_1 A_2 \operatorname{ch} 2\sqrt{M^2 - i\alpha} + A_2^2}{\operatorname{sh}^2 2\sqrt{M^2 - i\alpha}} + \frac{2D(A_1 + A_2)}{(M^2 - i\alpha) \operatorname{ch}^2 \sqrt{M^2 - i\alpha}} \right)$$

$$- \frac{D^2}{2(M^2 - i\alpha)^2 \operatorname{ch}^2 \sqrt{M^2 - i\alpha}} - \frac{M^2 D^2}{(M^2 - i\alpha)^2}$$

ըրեղծին զոճույթի մասնատեղեղծին ժցնճացրոնստրոն ևսգո-
րոս (5)-(6)-թան հրալսրո ճանրղծոն թամոցոթա. ևոմահրոցրոնստրոն սևո
ըամոցոթոս հը. յոն հըջեղո ժցոմոջըջընստրոն թանրոեոըլաթ.

1. Յըրղծո ստրոցոս ($A_1 = A_2 = 0$) ըս ևոճոթաթաթըմս
յըրղծոյ սրո լըսոս ($B_1 = B_2 = 0$). Յոճոթոն թամոջըջըրոս ևս
յոն յըրնսցոյթո ըսթըմոո ($D \neq 0$).

Մաճոն ևոհըհոնս ըս ևոճոթաթաթըմն հրալսրո ճանրղծո
(5)-(6)-թան հաճոթոթըմն ժցըրըթո ևսեո:

$$U(\xi, \tau) = \frac{D}{M^4 + \alpha^2} \left\{ \left(1 - \frac{\operatorname{ch} \alpha(1+\xi) \operatorname{cos} \beta(1-\xi) + \operatorname{ch} \alpha(1-\xi) \operatorname{cos} \beta(1+\xi)}{\operatorname{ch} 2\alpha + \operatorname{cos} 2\beta} \right) \times \right. \\ \times (M^2 \operatorname{cos} \alpha \tau + \alpha \operatorname{sin} \alpha \tau) - \frac{\operatorname{sh} \alpha(1+\xi) \operatorname{sin} \beta(1-\xi) - \operatorname{sh} \alpha(1-\xi) \operatorname{sin} \beta(1+\xi)}{\operatorname{ch} 2\alpha + \operatorname{cos} 2\beta} \times \\ \left. \times (M^2 \operatorname{sin} \alpha \tau - \alpha \operatorname{cos} \alpha \tau) \right\}, \quad (7)$$

$$Q(\xi, \tau) = (P_1 \operatorname{cos} \alpha \tau + q_1 \operatorname{sin} \alpha \tau) f_1(\xi) + (P_1 \operatorname{sin} \alpha \tau - q_1 \operatorname{cos} \alpha \tau) g_1(\xi) + \\ + (P_2 \operatorname{cos} \alpha \tau + q_2 \operatorname{sin} \alpha \tau) f_2(\xi) + (P_2 \operatorname{sin} \alpha \tau - q_2 \operatorname{cos} \alpha \tau) g_2(\xi) +$$

$$+ (P_3 \cos 2\alpha r + q_3 \sin 2\alpha r) f_3(r) + (P_3 \sin 2\alpha r - q_3 \cos 2\alpha r) g_3(r),$$

www

$$a = \pm \sqrt{\frac{\mu^2}{2} + \frac{1}{2} \sqrt{\mu^4 + \alpha^2}}, \quad b = -\frac{1}{2} \frac{\alpha}{a},$$

$$P_1 = \frac{2\mu^4 D^2 (\mu^4 - \alpha^2 (3-4s))}{(\mu^4 + \alpha^2)^2 (\mu^4 + \alpha^2 (1-2s))^2}, \quad q_1 = \frac{2\mu^2 D^2 \alpha [\mu^4 (3-2s) - \alpha^2 (1-2s)]}{(\mu^4 + \alpha^2)^2 (\mu^4 + \alpha^2 (1-2s))^2},$$

$$P_2 = D^2 \frac{\mu^4 (4\mu^4 - \alpha^2 (4-3s)) + \alpha^4 (2+s)}{(\mu^4 + \alpha^2)^2 (4\mu^4 + \alpha^2 (2-s))^2} \cdot \frac{\text{ch} 4a + 2\text{ch} 2a \cos 2b + \cos 4b}{(\text{ch} 2a + \cos 2b)^2}$$

$$- 2\mu^4 D^2 \frac{2 + \mu^2 (2-s)}{(\mu^4 + \alpha^2)^2 (4\mu^4 + \alpha^2 (2-s))^2} \cdot \frac{2 \text{sh} 2a \sin 2b}{(\text{ch} 2a + \cos 2b)^2},$$

$$q_2 = D^2 \frac{\mu^4 (4\mu^4 - \alpha^2 (4-3s)) + \alpha^4 (2-s)}{(\mu^4 + \alpha^2)^2 (4\mu^4 + \alpha^2 (2-s))^2} \cdot \frac{2 \text{sh} 2a \sin 2b}{(\text{ch} 2a + \cos 2b)^2} +$$

$$+ 2\alpha \mu^4 D^2 \frac{2 + \mu^2 (2-s)}{(\mu^4 + \alpha^2)^2 (4\mu^4 + \alpha^2 (2-s))^2} \cdot \frac{\text{ch} 4a + 2\text{ch} 2a \cos 2b + \cos 4b}{(\text{ch} 2a + \cos 2b)^2},$$

$$P_3 = \frac{D^2}{2s(\mu^4 + \alpha^2)^2} \left\{ \frac{(\mu^4 - \alpha^2) (1 + \text{ch} 2a \cos 2b)}{(\text{ch} 2a + \cos 2b)} - 2\alpha \mu^2 \left(\frac{\text{sh} 2a \sin 2b}{(\text{ch} 2a + \cos 2b)^2} - \frac{\mu^2}{\alpha} \right) \right\}$$

$$q_3 = -\frac{D^2}{2s(\mu^4 + \alpha^2)^2} \left\{ 2\alpha \mu^4 \frac{1 + \text{ch} 2a \cos 2b}{(\text{ch} 2a + \cos 2b)^2} + (\mu^4 + \alpha^2) \left(\frac{\text{sh} 2a \sin 2b}{(\text{ch} 2a + \cos 2b)^2} - \frac{\mu^4}{\alpha} \right) \right\},$$

$$f_1(F) = \frac{\cosh a(1+F) \cos b(1-F) + \cosh a(1-F) \cos b(1+F)}{\cosh 2a + \cos 2b}$$

$$= \frac{\cosh \sqrt{\alpha S}(1+F) \cos \sqrt{\alpha S}(1-F) + \cosh \sqrt{\alpha S}(1-F) \cos \sqrt{\alpha S}(1+F)}{\cosh 2\sqrt{\alpha S} + \cos 2\sqrt{\alpha S}}$$

(9)

$$q_1(F) = \frac{\sinh a(1+F) \sin b(1-F) - \sinh a(1-F) \sin b(1+F)}{\cosh 2a + \cos 2b}$$

$$= \frac{\sinh \sqrt{\alpha S}(1+F) \sin \sqrt{\alpha S}(1-F) - \sinh \sqrt{\alpha S}(1-F) \sin \sqrt{\alpha S}(1+F)}{\cosh 2\sqrt{\alpha S} + \cos 2\sqrt{\alpha S}}$$

$$f_2(F) = \frac{\cosh 2a(1+F) \cos 2b(1-F) + \cosh 2a(1-F) \cos 2b(1+F)}{\cosh 4a + \cos 4b}$$

$$= \frac{\cosh \sqrt{\alpha S}(1-F) \cos \sqrt{\alpha S}(1-F) + \cosh \sqrt{\alpha S}(1-F) \cos \sqrt{\alpha S}(1+F)}{\cosh 2\sqrt{\alpha S} + \cos 2\sqrt{\alpha S}}$$

(10)

$$q_2(F) = \frac{\sinh 2a(1+F) \sin 2b(1-F) - \sinh 2a(1-F) \sin 2b(1+F)}{\cosh 4a + \cos 4b}$$

$$= \frac{\sinh \sqrt{\alpha S}(1+F) \sin \sqrt{\alpha S}(1-F) - \sinh \sqrt{\alpha S}(1-F) \sin \sqrt{\alpha S}(1+F)}{\cosh 2\sqrt{\alpha S} + \cos 2\sqrt{\alpha S}}$$

$$f_3(F) = 1 - \frac{\cosh \sqrt{\alpha S}(1+F) \cos \sqrt{\alpha S}(1-F) + \cosh \sqrt{\alpha S}(1-F) \cos \sqrt{\alpha S}(1+F)}{\cosh 2\sqrt{\alpha S} + \cos 2\sqrt{\alpha S}}$$

(11)

$$q_3(F) = \frac{\sinh \sqrt{\alpha S}(1+F) \sin \sqrt{\alpha S}(1-F) - \sinh \sqrt{\alpha S}(1-F) \sin \sqrt{\alpha S}(1+F)}{\cosh 2\sqrt{\alpha S} + \cos 2\sqrt{\alpha S}}$$

00210

$$P_1 = \frac{A_1^2}{4U^2 + \alpha^2(a-s)^2} \left\{ \frac{(4U^4 + \alpha^2(a-s)) \operatorname{sh} 2(\sqrt{as} + 2a) \operatorname{ch} 2\sqrt{as} - 2b}{(\operatorname{ch} 4\sqrt{as} - \operatorname{ch} 4\sqrt{as}) (\operatorname{ch} 8a + \operatorname{ch} 8b - 4\operatorname{ch} 4a \operatorname{ch} 4b + 2)} \right. \\ \left. + (4U^4 + \alpha^2(a-s)) \frac{\operatorname{ch} 2(\sqrt{as} - 2a) \operatorname{ch} 2(\sqrt{as} + 2b) - 2 \operatorname{ch} 2\sqrt{as} \operatorname{ch} 2\sqrt{as}}{(\operatorname{ch} 4\sqrt{as} + \operatorname{ch} 4\sqrt{as}) (\operatorname{ch} 8a + \operatorname{ch} 8b - 4\operatorname{ch} 4a \operatorname{ch} 4b + 2)} \right. \\ \left. + 2\alpha U^2 (s-1) \frac{\operatorname{ch} 2(\sqrt{as} + 2a) \operatorname{sh} 2(\sqrt{as} - 2b) + \operatorname{ch} 2(\sqrt{as} - 2a) \operatorname{sh} 2(\sqrt{as} + 2b) - 2 \operatorname{ch} 2\sqrt{as} \operatorname{sh} 2\sqrt{as}}{(\operatorname{ch} 4\sqrt{as} + \operatorname{ch} 4\sqrt{as}) (\operatorname{ch} 8a + \operatorname{ch} 8b - 4\operatorname{ch} 4a \operatorname{ch} 4b + 2)} \right\}$$

(14)

$$P_1 = \frac{A_1^2}{4U^2 + \alpha^2(a-s)^2} \left\{ \frac{(4U^4 + \alpha^2(a-s)) \operatorname{ch} 2(\sqrt{as} + 2a) \operatorname{sh} 2(\sqrt{as} - 2b)}{(\operatorname{ch} 4\sqrt{as} - \operatorname{ch} 4\sqrt{as}) (\operatorname{ch} 8a + \operatorname{ch} 8b - 4\operatorname{ch} 4a \operatorname{ch} 4b + 2)} \right. \\ \left. + (4U^4 + \alpha^2(a-s)) \frac{\operatorname{ch} 2(\sqrt{as} - 2a) \operatorname{sh} 2(\sqrt{as} + 2b) - 2 \operatorname{ch} 2\sqrt{as} \operatorname{sh} 2\sqrt{as}}{(\operatorname{ch} 4\sqrt{as} - \operatorname{ch} 4\sqrt{as}) (\operatorname{ch} 8a + \operatorname{ch} 8b - 4\operatorname{ch} 4a \operatorname{ch} 4b + 2)} \right. \\ \left. - 2\alpha U^2 (s-1) \frac{\operatorname{sh} 2(\sqrt{as} + 2a) \operatorname{ch} 2(\sqrt{as} - 2b) + \operatorname{sh} 2(\sqrt{as} - 2a) \operatorname{ch} 2(\sqrt{as} + 2b) - 2 \operatorname{sh} 2\sqrt{as} \operatorname{ch} 2\sqrt{as}}{(\operatorname{ch} 4\sqrt{as} - \operatorname{ch} 4\sqrt{as}) (\operatorname{ch} 8a + \operatorname{ch} 8b - 4\operatorname{ch} 4a \operatorname{ch} 4b + 2)} \right\}$$

$$P_2 = \frac{h_1^2}{S} \frac{\operatorname{ch} 4a \operatorname{ch} 4b - 1}{\operatorname{ch} 8a + \operatorname{ch} 8b - 4\operatorname{ch} 4a \operatorname{ch} 4b + 2}$$

(5)

$$Q_2 = \frac{A_1^2}{S} \frac{\operatorname{sh} 4a \operatorname{sh} 4b}{\operatorname{ch} 8a + \operatorname{ch} 8b - 4\operatorname{ch} 4a \operatorname{ch} 4b + 2}$$

$$\begin{aligned}
 f_1(\xi) = & \frac{1}{2} \left\{ \operatorname{sh} 2(\sqrt{\alpha S} + a(1+\xi)) \cos 2(\sqrt{\alpha S} - b(1+\xi)) + \right. \\
 & - \operatorname{sh} 2(\sqrt{\alpha S} - a(1+\xi)) \cos 2(\sqrt{\alpha S} + b(1+\xi)) - \\
 & - \operatorname{sh} (4a + \sqrt{\alpha S}(1-\xi)) \cos (4b - \sqrt{\alpha S}(1+\xi)) + \\
 & + \operatorname{sh} (4a - \sqrt{\alpha S}(1+\xi)) \cos (4b + \sqrt{\alpha S}(1+\xi)) - \\
 & \left. - 2 \operatorname{sh} \sqrt{\alpha S}(1-\xi) \cos \sqrt{\alpha S}(1-\xi) \right\},
 \end{aligned}$$

(16)

$$\begin{aligned}
 g_1(\xi) = & \frac{1}{2} \left\{ \operatorname{ch} 2(\sqrt{\alpha S} + a(1+\xi)) \sin 2(b(1+\xi) - \sqrt{\alpha S}) - \right. \\
 & - \operatorname{ch} 2(\sqrt{\alpha S} - a(1+\xi)) \sin 2(\sqrt{\alpha S} + b(1+\xi)) - \\
 & - \operatorname{ch} (4a + \sqrt{\alpha S}(1+\xi)) \sin (4b - \sqrt{\alpha S}(1+\xi)) - \\
 & - \operatorname{ch} (4a - \sqrt{\alpha S}(1+\xi)) \sin (4b + \sqrt{\alpha S}(1+\xi)) + \\
 & \left. + 2 \operatorname{ch} \sqrt{\alpha S}(1-\xi) \sin \sqrt{\alpha S}(1-\xi) \right\},
 \end{aligned}$$

$$f_2(\xi) = 1 - \frac{\operatorname{ch} \sqrt{\alpha S}(1+\xi) \cos \sqrt{\alpha S}(1-\xi) + \operatorname{ch} \sqrt{\alpha S}(1-\xi) \cos \sqrt{\alpha S}(1+\xi)}{\operatorname{ch} 2\sqrt{\alpha S} + \cos 2\sqrt{\alpha S}},$$

(17)

$$g_2(\xi) = \frac{\operatorname{sh} \sqrt{\alpha S}(1+\xi) \sin \sqrt{\alpha S}(1-\xi) - \operatorname{sh} \sqrt{\alpha S}(1-\xi) \sin \sqrt{\alpha S}(1+\xi)}{\operatorname{ch} 2\sqrt{\alpha S} + \cos 2\sqrt{\alpha S}},$$

$$f_3(\xi) = \frac{\operatorname{ch} \sqrt{\alpha S} \frac{3+\xi}{2} \cos \sqrt{\alpha S} \frac{1-\xi}{2} - \operatorname{ch} \sqrt{\alpha S} \frac{1-\xi}{2} \cos \sqrt{\alpha S} \frac{3+\xi}{2}}{\operatorname{ch} 2\sqrt{\alpha S} - \cos 2\sqrt{\alpha S}},$$

(18)

$$g_3(\xi) = \frac{\operatorname{sh} \sqrt{\alpha S} \frac{3+\xi}{2} \sin \sqrt{\alpha S} \frac{1-\xi}{2} - \operatorname{sh} \sqrt{\alpha S} \frac{1-\xi}{2} \sin \sqrt{\alpha S} \frac{3+\xi}{2}}{\operatorname{ch} 2\sqrt{\alpha S} - \cos 2\sqrt{\alpha S}}$$



$$\theta_1^{(2)}(\xi) = \frac{A_1^2 \mu^2}{2 + h^2 \mu^2} \left(\frac{\xi^2 - 1}{2} + \frac{ch 4\mu - ch 2\mu(1 + \xi)}{4\mu^2} \right) + B_1 \frac{\xi + 1}{2}$$

Քաղցրեն սպ $\mu \rightarrow 0$, աստիճանային ստորոտը զամրեցնելով ստորոտ-
 ժառանգման սղան մահամուտի հասկառու, ետևող չաղուն ստորոտը զամրեցնելով
 ստորոտաթաղանթին զանրեն սղան թիգուցի կանխ.

Յարգմանին հոցեցուն միտից մեծեցնելու հանրան չաղուն
 ստորոտը զեղցից սղան մեծեցնելու հանրան ստորոտը մահամուտից, զորից սա-
 նրեն ստորոտին, ետևող Յարգմանին հոցեցուն թող մեծեցնելու հանրան ստորոտը
 հանրեն ստորոտը զեղցից սղան մեծեցնելու հանրան, զորից չաղուն ստորոտ-
 ոտ զամրեցնելու զեղցից.

3. Թաղանթ, որի թղանթն զամրեցնելու զեղցից սղան ստոր-
 ոտ մահամուտի, զ. զ. $A_1 = A_2 = A_0$, $B_1 = B_2 = B_0$, $D = 0$. աստիճան
 ստորոտին զ ստորոտաթաղանթին հղանրից մահամուտի (5)-(6)-թան մահամու-
 տը թղանթն զեղցից կանխ:

$$U(\xi, \tau) = \frac{A_0}{ch 2a + \cos 2b} \left\{ (ch a(1 + \xi) \cos(1 - \xi) + ch a(1 - \xi) \cos b(1 + \xi)) \cos a\tau - \right.$$

$$\left. - (sh a(1 + \xi) \sin b(1 - \xi) - sh a(1 - \xi) \sin b(1 + \xi)) \sin a\tau, \right. \quad (19)$$

$$\begin{aligned} \theta(\xi, \tau) = & (P_1 \cos a\tau + q_1 \sin a\tau) f_1(\xi) + (P_1 \sin a\tau - q_1 \cos a\tau) g_1(\xi) + \\ & + (P_2 \cos 2a\tau + q_2 \sin 2a\tau) f_2(\xi) + (P_2 \sin 2a\tau - q_2 \cos 2a\tau) g_2(\xi) + \\ & + B_0 \cos a\tau f_3(\xi) + B_0 \sin a\tau g_3(\xi) \end{aligned} \quad (20)$$

$$F_{\text{ած.}} \Big|_{\xi=\pm 1} = \pm \frac{A_0}{\text{ch} 2a + \cos 2b} \left\{ \text{sh} 2a (c \cos \alpha r + b \sin \alpha r) - \sin 2b (b \cos \alpha r - a \sin \alpha r) \right\},$$

եղև սոսնիս Բախնաճրոս րս Եսճարոտ Եոհճարոտսոճրոս ԵղնաԵարոսսո
ճՅՅԳՅՅՅՅ:

$$Q = \frac{2A_0}{(a^2 + b^2)(\text{ch} 2a + \cos 2b)} \left\{ \text{sh} 2a (a \cos \alpha r - b \sin \alpha r) + \sin 2b (b \cos \alpha r + a \sin \alpha r) \right\},$$

$$U_{\text{ած.}} = \frac{A_0}{(a^2 + b^2)(\text{ch} 2a + \cos 2b)} \left\{ \text{sh} 2a (a \cos \alpha r - b \sin \alpha r) + \sin 2b (b \cos \alpha r + a \sin \alpha r) \right\},$$

Եսճարոտ

$$P_1 = \frac{A_0^2}{4\mu^4 + \alpha^2(2-s)^2} \left\{ (4\mu^4 + \alpha^2(2-s)) \frac{\text{ch} 6a \cos 2b + \text{ch} 2a \cos 6b - 2\text{ch} 2a \cos 2b}{(\text{ch} 4a - \cos 4b)^2} + \right. \\ \left. + 2\alpha\mu^2(1-s) \frac{\text{sh} 6a \sin 2b + \text{sh} 2a \sin 6b + 2\text{sh} 2a \sin 2b}{(\text{ch} 4a - \cos 4b)^2} \right\}, \quad (21)$$

$$Q_1 = \frac{A_0^2}{4\mu^4 + \alpha^2(2-s)^2} \left\{ (4\mu^4 + \alpha^2(2-s)) \frac{\text{sh} 6a \sin 2b + \text{sh} 2a \sin 6b + 2\text{sh} 2a \sin 2b}{(\text{ch} 4a - \cos 4b)^2} + \right. \\ \left. + 2\alpha\mu^2(1-s) \frac{\text{ch} 6a \cos 2b + \text{ch} 2a \cos 6b - 2\text{ch} 2a \cos 2b}{(\text{ch} 4a - \cos 4b)^2} \right\},$$

$$P_2 = \frac{A_0^2 (\text{ch} 2a \cos 2b + 1)}{2s (\text{ch} 2a + \cos 2b)^2}, \quad Q_2 = \frac{A_0^2 \text{sh} 2a \sin 2b}{2s (\text{ch} 2a + \cos 2b)^2}, \quad (22)$$

$$f_3(\xi) = \frac{\text{ch} \sqrt{as}(1+\xi) \cos \sqrt{as}(1-\xi) - \text{ch} \sqrt{as}(1-\xi) \cos \sqrt{as}(1+\xi)}{\text{ch} 2\sqrt{as} + \cos 2\sqrt{as}}$$

$$g_3(\xi) = \frac{\text{sh} \sqrt{as}(1+\xi) \sin \sqrt{as}(1-\xi) - \text{sh} \sqrt{as}(1-\xi) \sin \sqrt{as}(1+\xi)}{\text{ch} 2\sqrt{as} + \cos 2\sqrt{as}}$$



$f_1(\xi), g_1(\xi), f_2(\xi)$ და $g_2(\xi)$ -ს

გამოსახულებები

ვინაშე (8)-(10) ვიხსენებთ.

და (2) სივრცითი კოორდინატების განმარტებით უკვე ვიხსენებთ, რომ $\alpha \rightarrow 0$, მაშინ მისი მნიშვნელობა ნივთიერება

$$\theta_1^{(3)}(\xi) = \frac{A_0^2}{2} \frac{\mu^2}{c^2 h^2 \mu} \left(\frac{c^2 h^2 \mu - c^2 h^2 \mu \xi}{4 \mu^2} + \frac{\xi^2 - 1}{2} \right) + B_0,$$

$$\theta_2^{(2)}(\xi) = \frac{A_0^2}{2} \frac{\mu^2}{c^2 h^2 \mu} \left(\frac{c^2 h^2 \mu - c^2 h^2 \mu \xi}{4 \mu^2} + \frac{1 - \xi^2}{2} \right) + B_0.$$

როდესაც $0 < \mu < 1$, მაშინ α კოორდინატების სივრცითი კოორდინატების ვექტორული ნივთიერება, ვინაშე ხაზების სივრცითი კოორდინატების ვექტორი, ხოლო ვექტორი განივი მართკუთხედიანი ხაზების სივრცითი კოორდინატების ვექტორი ვექტორი ნივთიერება.

4. რა ვთქვამთ, რომ სივრცითი კოორდინატების ნივთიერება $D \neq 0$ და ვექტორის მნიშვნელობის მნიშვნელობა ($A_1 = A_2 = A_0$) სივრცითი კოორდინატების ვექტორული ნივთიერება ($B_1 = B_2 = B_0$).

მაშინ სივრცითი კოორდინატების ნივთიერება

(5)-(6)-დან ნივთიერების მნიშვნელობა:

$$\begin{aligned} U(\xi, r) = & \frac{c h \alpha (1+\xi) \cos \beta (1-\xi) + c h \alpha (1-\xi) \cos \beta (1+\xi)}{c h^2 \alpha + \cos 2\beta} \left\{ \left(\frac{A_0^2}{\mu^4 + \alpha^2} \right) \cos \alpha r + \right. \\ & \left. + \frac{\alpha D}{\mu^4 + \alpha^4} \sin \alpha r \right\} - \\ & \frac{sh \alpha (1+\xi) \sin \beta (1-\xi) - sh \alpha (1-\xi) \sin \beta (1+\xi)}{c h^2 \alpha + \cos 2\beta} \left\{ \frac{\alpha D}{\mu^4 + \alpha^2} \cos \alpha r + \right. \\ & \left. + \left(\frac{A_0^2}{\mu^4 + \alpha^2} \right) \sin \alpha r \right\} + \\ & + \frac{D}{\mu^4 + \alpha^2} (\mu^2 \cos \alpha r - \alpha \sin \alpha r), \end{aligned} \tag{24}$$

$$\begin{aligned} \theta(F, v) = & (P_1 \cos 2\alpha x + q_1 \sin 2\alpha x) f_1(F) + (P_1 \sin 2\alpha x - q_1 \cos 2\alpha x) g_1(F) + \\ & + (P_2 \cos 2\alpha x + q_2 \sin 2\alpha x) f_2(F) + (P_2 \sin 2\alpha x - q_2 \cos 2\alpha x) g_2(F) + \\ & + (P_3 \cos 2\alpha x + q_3 \sin 2\alpha x) f_3(F) + (P_3 \sin 2\alpha x - q_3 \cos 2\alpha x) g_3(F) + \\ & + B_0 \cos 2\alpha x f_4(F) + B_0 \sin 2\alpha x g_4(F), \end{aligned} \quad (25)$$

۱۰۰۰۰

$$P_1 = \frac{2DM^2}{(M^4 + \alpha^2)(M^4 + \alpha^2(1-2S))} \left[\left(H_0 - \frac{DM^2}{M^4 + \alpha^2} \right) (M^4 - \alpha^2(1-2S)) + \frac{\alpha^2(1-2S)}{M^4 + \alpha^2} \right],$$

$$q_1 = \frac{2DM^2}{(M^4 + \alpha^2)(M^4 + \alpha^2(1-2S))} \left[\left(H_0 - \frac{DM^2}{M^4 + \alpha^2} \right) \frac{\alpha(1-2S)}{D} - \alpha D (M^4 - \alpha^2(1-2S)) \right],$$

$$P_2 = \frac{4M^4 + \alpha^2(2-S)}{4M^4 + \alpha^2(2-S)^2} \left[\left(\frac{\alpha D}{M^4 + \alpha^2} \right)^2 - \left(H_0 - \frac{DM^2}{M^4 + \alpha^2} \right)^2 \right] -$$

$$\frac{4\alpha^2 DM^2(2-S)}{(M^4 + \alpha^2)(4M^4 + \alpha^2(2-S)^2)} \left(H_0 - \frac{DM^2}{M^4 + \alpha^2} \right) \left\{ \frac{\cosh 4\alpha + 2\cosh 2\alpha \cos 2\beta + \cos 4\alpha}{(4\cosh \alpha + \cos 2\beta)^2} \right\}$$

$$- \left\{ \frac{2\alpha D(4M^4 + \alpha^2(2-S))}{(M^4 + \alpha^2)(4M^4 + \alpha^2(2-S)^2)} \left(H_0 - \frac{DM^2}{M^4 + \alpha^2} \right) - \right.$$

$$\left. - \frac{2\alpha M^2(1-S)}{4M^4 + \alpha^2(2-S)^2} \left[\left(H_0 - \frac{DM^2}{M^4 + \alpha^2} \right)^2 - \left(\frac{\alpha D}{M^4 + \alpha^2} \right)^2 \right] \right\} \frac{\sinh \alpha \sin \alpha \beta}{2(\cosh \alpha + \cos 2\beta)^2}$$

$$q_2 = \frac{4M^4 + \alpha^2(2-S)}{4M^4 + \alpha^2(2-S)^2} \left[\left(\frac{\alpha D}{M^4 + \alpha^2} \right)^2 - \left(H_0 - \frac{DM^2}{M^4 + \alpha^2} \right)^2 \right] -$$

$$\frac{2\alpha D(4M^4 + \alpha^2(2-S))}{(M^4 + \alpha^2)(4M^4 + \alpha^2(2-S)^2)} \left(H_0 - \frac{DM^2}{M^4 + \alpha^2} \right) \left\{ \frac{\sinh 2\alpha \sin \alpha \beta}{2(\cosh \alpha + \cos 2\beta)^2} + \right.$$



$$+ \int \frac{2\alpha D(4M^4 + \alpha^2(2-S))}{(M^4 + \alpha^2)(4M^4 + \alpha^2(2-S)^2)} \left(A_0 - \frac{DM^2}{M^4 + \alpha^2} \right) -$$

$$\frac{\alpha \alpha M^2(2-S)}{M^4 + \alpha^2(2-S)^2} \left[\left(A_0 - \frac{DM^2}{M^4 + \alpha^2} \right)^2 - \left(\frac{\alpha D}{M^4 + \alpha^2} \right)^2 \right] \frac{ch4a + 2ch2a \cos 2b + \cos 4b}{(4ch2a + \cos 2b)^2}$$

$$F_3 = \left[\left(\frac{\alpha D}{M^4 + \alpha^2} \right)^2 - \left(A_0 - \frac{DM^2}{M^4 + \alpha^2} \right)^2 \right] \frac{ch2a \cos 2b + 1}{2S(ch2a + \cos 2b)^2} +$$

$$\frac{\alpha D}{M^4 + \alpha^2} \left(A_0 - \frac{DM^2}{M^4 + \alpha^2} \right) \frac{sh2a \sin 2b}{S(ch2a + \cos 2b)^2} - \frac{DM^4}{S(M^4 + \alpha^2)}$$

$$g_3 = \frac{\alpha D}{M^4 + \alpha^2} \left(A_0 - \frac{DM^2}{M^4 + \alpha^2} \right) \frac{ch2a \cos 2b + 1}{S(ch2a + \cos 2b)^2}$$

$$\left[\left(\frac{\alpha D}{M^4 + \alpha^2} \right)^2 - \left(A_0 - \frac{DM^2}{M^4 + \alpha^2} \right)^2 \right] \frac{sh2a \sin 2b}{2S(ch2a + \cos 2b)^2} + \frac{M^2 D(M^4 + \alpha^2)}{2\alpha S(M^4 + \alpha^2)}$$

$f_1(F), g_1(F), f_2(F), g_2(F), f_3(F), g_3(F), f_4(F)$
 და $g_4(F)$ მისაღებია ბაზისის ფუნქციების (9), (10), (11) და (12) დასახელებით.

საბოლოო პირობების დამატებით, მივიღებთ

$$F_{\text{ბაზ.}} \Big|_{F=\pm 1} = \pm \frac{sh2a}{ch2a + \cos 2b} \left[a \left(A_0 - \frac{D}{a^2 + b^2} \right) \cos a\tau + b \left(A_0 + \frac{D}{a^2 + b^2} \right) \sin a\tau \right]$$

$$\mp \frac{\sin 2b}{ch2a + \cos 2b} \left[b \left(A_0 + \frac{D}{a^2 + b^2} \right) \cos a\tau - a \left(A_0 - \frac{D}{a^2 + b^2} \right) \right]$$

ბოლო პირობის დასახელება და საბოლოო სივრცის განმარტებასთან ერთად მივიღებთ:

$$Q = \frac{2}{M^4 + \alpha^2} \int \frac{sh2a}{ch2a + \cos 2b} \left[a \left(A_0 - \frac{D}{a^2 + b^2} \right) (M^2 \cos a\tau + \alpha \sin a\tau) - \right]$$



$$\begin{aligned}
 & - b \left(A_0 + \frac{D}{a^2 + b^2} \right) (\alpha \cos \alpha r - M^2 \sin \alpha r) \Big] - \\
 & - \frac{\sin 2b}{ch 2a + \cos 2b} \left[b \left(A_0 + \frac{D}{a^2 + b^2} \right) (M^2 \cos \alpha r + \alpha \sin \alpha r) + \right. \\
 & + \alpha \left(A_0 - \frac{D}{a^2 + b^2} \right) (\alpha \cos \alpha r - M^2 \sin \alpha r) \Big] + \\
 & + D (M^2 \cos \alpha r + \alpha \sin \alpha r) \Big\} ,
 \end{aligned}$$

$$\begin{aligned}
 U_{\text{ած.}} = \frac{1}{M^4 + a^2} \Big\{ & \frac{\sin 2a}{ch 2a + \cos 2b} \left[a \left(A_0 - \frac{D}{a^2 + b^2} \right) (M^2 \cos \alpha r + \alpha \sin \alpha r) - \right. \\
 & - b \left(A_0 + \frac{D}{a^2 + b^2} \right) (\alpha \cos \alpha r - M^2 \sin \alpha r) \Big] - \\
 & - \frac{\sin 2b}{ch 2a + \cos 2b} \left[b \left(A_0 + \frac{D}{a^2 + b^2} \right) (M^2 \cos \alpha r + \alpha \sin \alpha r) + \right. \\
 & + \alpha \left(A_0 - \frac{D}{a^2 + b^2} \right) (\alpha \cos \alpha r - M^2 \sin \alpha r) \Big] + \\
 & \left. + D (M^2 \cos \alpha r + \alpha \sin \alpha r) \right\} .
 \end{aligned}$$

Ոչ (2) ստեղծագործությունն անհրաժեշտ է քննարկել չորս չափերի ստեղծումը և միջին և արտաքին ստեղծում, անստեղծացող արտաքինները, որոնք $\alpha \rightarrow 0$, ճանաչում են ժամանակակից ժողովրդի

$$\theta_1^{(4)}(\xi) - B_0 = \frac{M^2 C^2}{2} \left(\frac{\xi^2 - 1}{2} + \frac{ch 2M\xi - ch 2M}{4M^2} \right) ,$$

$$\begin{aligned}
 \theta_2^{(4)}(\xi) - B_0 = & \left(\frac{M^2 C^2}{2} + \frac{D^2}{M^2} \right) \frac{1 - \xi^2}{2} + \frac{2DC}{M^2} (ch M - ch M\xi) + \\
 & + \frac{C^2}{8} (ch 2M - ch 2M\xi) ,
 \end{aligned}$$



Ստացա՞նք

$$c = \frac{H_0 - \frac{D}{\mu^2}}{cH\mu}$$

Յանցմանն հիշենք ընդհանրացված ինքնակազմի հասցանքը (սովորաբար մեծ մեծից հետո) հավանաբար ստեղծված է մեծից հետո, հարկը չափված է ինքնակազմի հասցանքի հետո, հարկը չափված է ինքնակազմի հասցանքի հետո, հարկը չափված է ինքնակազմի հասցանքի հետո...

Յանցմանը մի քանի քայլեր են, որոնք չափված են ինքնակազմի հասցանքի հետո, հարկը չափված է ինքնակազմի հասցանքի հետո, հարկը չափված է ինքնակազմի հասցանքի հետո...

Ստեղծված է ինքնակազմի հասցանքը, հարկը չափված է ինքնակազմի հասցանքի հետո...

Յանցմանը մի քանի քայլեր են, որոնք չափված են ինքնակազմի հասցանքի հետո, հարկը չափված է ինքնակազմի հասցանքի հետո...

$\alpha = \frac{cH^2}{\mu^2}$ մասնակազմի ստեղծված է ինքնակազմի հասցանքի հետո, հարկը չափված է ինքնակազմի հասցանքի հետո...



1. И.Н.Садиков, Труды Московского физикотехнического института, 7, 1961, 124-135.
2. Rao A.Ramachandra, K.S.Deshkachar. J.Indian Inst.Sci, 68, N 7-8, 1988, 247-260.
3. А.Л.Ватажин, Г.А.Любимов, С.А.Регирер. Магнитогидродинамические течения в каналах. "Наука", М., 1970, 672.
4. Э.Я.Блум, Ю.А.Михайлов, Р.Я.Озслс. Тепло и массообмен в магнитном поле. Рига, 1980, 355.
5. А.М.Самойленко, С.А.Кривошея, Н.А.Перестюк. Дифференциальные уравнения. М., Высш.шк., 1989, 383.

В.Н.Цудкиридзе

ПУЛЬСАЦИОННОЕ ТЕЧЕНИЕ ВЯЗКОЙ НЕСЖИМАЕМОЙ
СЛАБОПРОВОДИЩЕЙ ЖИДКОСТИ МЕЖДУ ПАРАЛЛЕЛЬНЫМИ
СТЕНКАМИ С ТЕПЛОПЕРЕДАЧЕЙ

Резюме

Рассматривается пульсационное течение вязкой несжимаемой слабопроводящей жидкости между параллельными стенками с теплопередачей, когда течение жидкости вызвано или пульсационным перепадом давления, или пульсационным движением одной стенки, или пульсационным движением стенок, или пульсационным перепадом давления и пульсационным движением стенок.

Найдены физические характеристики течения жидкости.



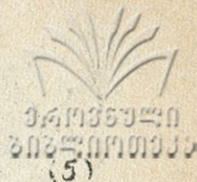
V. Tsutskiridze

PULSATION FLOW OF A VISCOUS INCOMPRESSIBLE WEAKLY CONDUCTING LIQUID BETWEEN TWO PARALLEL WALLS WITH HEAT TRANSFER

Summary

The title problem is studied for the case in which the flow of liquid is due to a fall in the pulsation of the pressure gradient or to pulsation movement of one wall or pulsation movement of walls, or to the fall of pulsation of the pressure gradient and the movement of the walls.

The physical characteristics of liquid movement are found.



$$f(\xi) \Big|_{\xi=\pm 1} = H_0, \quad p(\xi) \Big|_{\xi=\pm 1} = 0, \quad q(\xi) \Big|_{\xi=1} = B_0.$$

(4)-(5) ստորագրոն ստորագրեցի՞ն սոն՝ յոնոն, զերջուրոն ջրոն.

ըս ստորագրոն ստորագրեցի՞ն սոն՝ յոնոն, զերջուրոն ջրոն.

$$u(\xi, \tau) = \frac{e^{-i\alpha\tau}}{i\alpha} \left\{ \frac{D + i\alpha H_0}{\operatorname{sh} \sqrt{M^2 - 4i\alpha}} \left(\operatorname{ch} M \frac{1+\xi}{2} \operatorname{sh} \sqrt{M^2 - 4i\alpha} \frac{1-\xi}{2} + \right. \right. \quad (6)$$

$$\left. \left. + \operatorname{ch} M \frac{1-\xi}{2} \operatorname{sh} \sqrt{M^2 - 4i\alpha} \frac{1+\xi}{2} \right) - D \right\},$$

$$h(\xi, \tau) = \frac{(D + i\alpha H_0) e^{-i\alpha\tau}}{i\alpha M \operatorname{sh} \sqrt{M^2 - 4i\alpha}} \left(\operatorname{sh} M \frac{1-\xi}{2} \operatorname{sh} \sqrt{M^2 - 4i\alpha} \frac{1+\xi}{2} - \right. \quad (7)$$

$$\left. - \operatorname{sh} M \frac{1+\xi}{2} \operatorname{sh} \sqrt{M^2 - 4i\alpha} \frac{1-\xi}{2} \right),$$

$$\theta(\xi, \tau) = \left\{ a_1 \operatorname{ch}(M - \sqrt{M^2 - 4i\alpha}) \left(\frac{\operatorname{ch}(M - \sqrt{M^2 - 4i\alpha}) \xi}{\operatorname{ch}(M - \sqrt{M^2 - 4i\alpha})} - \frac{\operatorname{ch} \sqrt{\alpha S} (1-i) \xi}{\operatorname{ch} \sqrt{\alpha S} (1-i)} \right) + \right.$$

$$+ a_2 \operatorname{ch}(M + \sqrt{M^2 - 4i\alpha}) \left(\frac{\operatorname{ch}(M + \sqrt{M^2 - 4i\alpha}) \xi}{\operatorname{ch}(M + \sqrt{M^2 - 4i\alpha})} - \frac{\operatorname{ch} \sqrt{\alpha S} (1+i) \xi}{\operatorname{ch} \sqrt{\alpha S} (1+i)} \right) + \quad (8)$$

$$\left. + a_3 \operatorname{ch} M \left(\frac{\operatorname{ch} M \xi}{\operatorname{ch} M} - \frac{\operatorname{ch} \sqrt{\alpha S} (1-i) \xi}{\operatorname{ch} \sqrt{\alpha S} (1-i)} \right) + B_0 \frac{\operatorname{ch} \sqrt{\alpha S} (1-i) \xi}{\operatorname{ch} \sqrt{\alpha S} (1-i)} \right\} e^{-2i\alpha\tau},$$

ստորագրոն

$$a_1 = \left(\frac{D + i\alpha H_0}{2 \operatorname{sh} \sqrt{M^2 - 4i\alpha}} \operatorname{sh} \frac{M + \sqrt{M^2 - 4i\alpha}}{2} \right)^2 \frac{(M - \sqrt{M^2 - 4i\alpha})^2}{\alpha^2 [(M - \sqrt{M^2 - 4i\alpha})^2 + 2i\alpha S]},$$

$$a_2 = \left(\frac{D + i\alpha H_0}{2 \operatorname{sh} \sqrt{M^2 - 4i\alpha}} \operatorname{sh} \frac{M - \sqrt{M^2 - 4i\alpha}}{2} \right)^2 \frac{(M + \sqrt{M^2 - 4i\alpha})^2}{\alpha^2 [(M + \sqrt{M^2 - 4i\alpha})^2 + 2i\alpha S]},$$

$$a_3 = \left(\frac{D + i\alpha H_0}{\operatorname{sh} \sqrt{M^2 - 4i\alpha}} \right)^2 \frac{\operatorname{ch} M - \operatorname{ch} \sqrt{M^2 - 4i\alpha}}{i\alpha (M^2 + 2i\alpha S)}$$

ևս ևս

$$\alpha = \pm \sqrt{\frac{\mu l}{2} + \frac{1}{2} \sqrt{\mu^4 + 16\alpha^2}}$$

Առօրինակ միջադեպերում խնդրվում է ստանալ ներսև ներս (8) ճան-
րոնները համարները շրջառ ժամանակում:

1. Ճանրոնները, ժամանակը, որը պահանջվում է հասնելու մոտակա-
րդան հեղուկային ($S = \frac{\mu C_V}{K} \rightarrow 0$) ևս α ($\alpha = \frac{\omega l}{y}$) ժամանակահատվածը
ստորոգյա, մասին (6) համարում, որ մոտակային համարները ևս համար-
սանցողի համարներն ընդհանրապես, համարները համարներն ընդհանրապես:

$$\begin{aligned} \theta(x, t) - B_0 \cos \alpha x = & (P_1 \cos \alpha x + Q_1 \sin \alpha x) [f_1(x) + P_2 (\operatorname{ch} \mu x - \operatorname{ch} \mu l)] - \\ & - (Q_1 \cos \alpha x + P_1 \sin \alpha x) [g_1(x) + Q_2 (\operatorname{ch} \mu x - \operatorname{ch} \mu l)], \end{aligned} \quad (12)$$

ևս ևս

$$P_1 = \frac{(D^2 - \alpha^2 A_0^2) (\operatorname{ch} 2a \cos \frac{4\alpha}{a} - 1) - 2\alpha D A_0 \operatorname{sh} 2a \sin \frac{4\alpha}{a}}{2\alpha^2 (\operatorname{ch} 2a - \cos \frac{4\alpha}{a})^2},$$

$$Q_1 = \frac{2\alpha D A_0 (\operatorname{ch} 2a \cos \frac{4\alpha}{a} - 1) + (D^2 - \alpha^2 A_0^2) \operatorname{sh} 2a \sin \frac{4\alpha}{a}}{2\alpha^2 (\operatorname{ch} 2a - \cos \frac{4\alpha}{a})^2},$$

$$P_2 = \frac{4\alpha}{\mu^2} (\operatorname{sh} a \sin \frac{2\alpha}{a} - \operatorname{ch} \mu), \quad Q_2 = \frac{4\alpha}{\mu^2} \operatorname{ch} a \cos \frac{2\alpha}{a},$$

$$\begin{aligned} f_1(x) = & \frac{1}{2} [\operatorname{ch} \mu (1+x) \operatorname{ch} a (1-x) \cos \frac{2\alpha}{a} (1-x) + \operatorname{ch} \mu (1-x) \operatorname{ch} a (1+x) \cos \frac{2\alpha}{a} (1+x) - \\ & - 2 \operatorname{ch} \mu \operatorname{ch} x \cos \frac{2\alpha}{a} x + 2 \operatorname{ch} \mu \operatorname{ch} a \cos \frac{2\alpha}{a} - \operatorname{ch} 2a \cos \frac{4\alpha}{a} - \operatorname{ch} 2\mu], \end{aligned}$$

$$\begin{aligned} g_1(x) = & -\frac{1}{2} [\operatorname{ch} \mu (1+x) \operatorname{sh} a (1-x) \sin \frac{2\alpha}{a} (1-x) + \operatorname{ch} \mu (1-x) \operatorname{sh} a (1+x) \sin \frac{2\alpha}{a} (1+x) - \\ & - 2 \operatorname{ch} \mu \operatorname{sh} x \sin \frac{2\alpha}{a} x + 2 \operatorname{ch} \mu \operatorname{sh} a \sin \frac{2\alpha}{a} - \operatorname{sh} 2a \sin \frac{4\alpha}{a}]. \end{aligned}$$



2. Յաննիսիոսե Եղմոնեյեցա, Պոլսեայց Եկեղեցիի Երանգարի
 Երեմ Գրեթիմի Երեմեանի Երեմեանի Երեմեանի Երեմեանի ($\alpha \rightarrow 0$), Երեմեան, Երեմեան
 Երեմեան Երեմեանեց (Ե) Երեմեանեց, Պոլսեայց $\alpha \rightarrow 0$ - Յան, Երեմեան

$$\frac{\Theta(\xi, \eta) - B_c}{D^2} = \frac{1}{\mu a} \left[\frac{1 - \xi^2}{2} + 2 \frac{\text{ch} \mu \xi - \text{ch} \mu}{\text{sh} \mu} \frac{\text{ch} 2 \mu \xi - \text{ch} 2 \mu}{4 \text{sh}^2 \mu} \right]. \quad (13)$$

Յորդանի Երեմեանի Երեմեանեց

$$\int_{\xi=\pm 1}^{\xi} = \frac{\alpha H_0 \text{sh} \alpha \cos \frac{2\alpha}{a} + D \text{ch} \alpha \sin \frac{2\alpha}{a}}{\alpha (\text{ch} 2\alpha - \cos \frac{4\alpha}{a})} \left[(\alpha \cos \alpha - \frac{2\alpha}{a} \sin \alpha) (\pm \text{ch} \alpha \cos \frac{2\alpha}{a} \pm$$

$$\pm \text{ch} \mu) \pm (\alpha \sin \alpha - \frac{2\alpha}{a} \cos \alpha) \text{sh} \alpha \sin \frac{2\alpha}{a} \right] -$$

$$- \frac{D \text{sh} \alpha \cos \frac{2\alpha}{a} - H_0 \text{ch} \alpha \sin \frac{2\alpha}{a}}{\alpha (\text{ch} 2\alpha - \cos \frac{4\alpha}{a})} \left[(\frac{2\alpha}{a} \cos \alpha + \alpha \sin \alpha) (\pm \text{ch} \alpha \cos \frac{2\alpha}{a} \pm$$

$$\pm \text{ch} \mu) \pm (\alpha \cos \alpha + \frac{2\alpha}{a} \sin \alpha) \text{sh} \alpha \sin \frac{2\alpha}{a} \right],$$

Երեմեան Երեմեանեց Երեմեանեց:

$$Q = \frac{2 D \text{sh} \alpha \cos \frac{2\alpha}{a} - \alpha H_0 \text{ch} \alpha \sin \frac{2\alpha}{a}}{\alpha^2 (\text{ch} 2\alpha - \cos \frac{4\alpha}{a})} \left[(\mu \text{ch} \alpha \cos \frac{2\alpha}{a} - \alpha \text{ch} \mu) \cos \alpha + \right.$$

$$\left. + \left(\frac{2\alpha}{a} \text{ch} \mu - \mu \text{sh} \alpha \sin \frac{2\alpha}{a} \right) \sin \alpha \right] +$$

$$+ \frac{2 (\alpha H_0 \text{sh} \alpha \cos \frac{2\alpha}{a} + D \text{ch} \alpha \sin \frac{2\alpha}{a})}{\alpha^2 (\text{ch} 2\alpha - \cos \frac{4\alpha}{a})} \left[\left(\frac{2\alpha}{a} \text{ch} \mu - \mu \text{sh} \alpha \sin \frac{2\alpha}{a} \right) \cos \alpha + \right.$$

$$\left. + (\mu \text{ch} \alpha \cos \frac{2\alpha}{a} - \alpha \text{ch} \mu) \sin \alpha + \frac{2D}{\alpha} \sin \alpha \right].$$



V. Tsutskiridze

PULSATION FLOW OF A VISCOUS INCOMPRESSIBLE CONDUCTING
LIQUID BETWEEN TWO PARALLEL WALLS WITH HEAT TRANSFER

Summary

The title problem has been studied for the case when the movement of liquid is due to the drop of the pulsation of the pressure gradient and to the pulsation movement of the walls.

Труды Тбилисского государственного университета

им. И. Джавахишвили

საბჭოთავო უნივერსიტეტის ტრუდები

ფიზიკის მეცნიერებათა დარგი

314, 1993

УДК 537.53

ДЛИЯНИЕ КОЛЕБАНИЙ МАГНИТОСФЕРЫ ЗЕМЛИ НА
БИОЛОГИЧЕСКИЕ ОРГАНИЗМЫ

Т.Г. Генти

Надо полагать, что механизм переносного действия низкочастотного электромагнитного поля ($f = 0 \div 10^5$ Гц) на биологическую клетку или на отдельные органы живого организма установлен [1,2,3,4,5]. Сам механизм состоит в том, что часть энергии электромагнитного поля, при таком действии, преобразуется в механическую форму энергии. Речь идет о том, что мембранные системы биологических объектов совершают вынужденные колебания под действием естественных или искусственных электромагнитных полей. В отдельных случаях могут наблюдаться резонансные процессы, которые возможны при соблюдении определенных внешних условий и физических параметров мембран, а также окружающих жидких сред. Основными природными источниками электромагнитной энергии являются: атмосферные электрические разряды, колебания магнитосферы и ионосферы Земли, геомагнитные пульсации и т.д.

В работе [4] были приведены основные следствия, вытека-

Исходя из полученных результатов, рассмотрим значения частот колебаний и коэффициентов затухания как для сферической мембраны, так и для цилиндрической.

Исходя из вышеуказанных следствий, укажем на некоторые дополнительные выводы, которые позволяют считать основные положения.

В случае сферической мембраны для величин частоты f_n и коэффициента затухания β_n имеем:

$$f_n = \frac{1}{2\pi} \sqrt{\frac{T(n-1)n(n+2)}{a^3(\rho_1 + \rho_2 \frac{n}{n+1})}}, \quad (1)$$

$$\beta_n = \frac{\nu_1 \rho_1 n(n-1) + \nu_2 \rho_2 n(n+2)}{a^2(\rho_1 + \rho_2 \frac{n}{n+1})}, \quad (2)$$

где T — поверхностное натяжение мембраны, a — радиус сферы, ρ_1 и ρ_2 — плотности жидкости внутри и вне среды, n — мода, ν_1 и ν_2 — вязкости жидкости.

Известно, что для этого случая первая мода отсутствует.

При $n=2$, $\rho_1 = \rho_2 = \rho$ и $\nu_1 = \nu_2 = \nu$, для f_2 и β_2 получим:

$$f_2 = \frac{1}{\pi} \sqrt{\frac{6T}{5\rho a^3}}, \quad (3)$$

$$\beta_2 = \frac{6\nu}{a^2}. \quad (4)$$

Из выражения (4) видно, что только в этом случае коэффициент затухания колебаний не зависит от плотности жидкости.

Заметим, что этот коэффициент (2), (4) уменьшается с ростом радиуса мембраны. Иначе говоря, если от клетки переходить к органам организма, будут наблюдаться резонансные эффекты и резонанс будет смещаться в сторону инфразвукового диапазона.



Этот вывод является существенным, ввиду того, что величина собственной частоты выделенных систем находится вблизи к собственной частоте дневной или ночной магнитосферы Земли, особенно во время магнитных бурь. Последнее заключение базируется на том, что с уменьшением геометрических размеров магнитосферы Земли, повышается величина ее собственной частоты колебаний. Совпадение или хотя бы близость собственных частот биосистем и магнитосферы говорит об их долговременной (функциональной) связи, хотя не один взгляд они очень сильно отличаются друг от друга. Остается показать как такая связь осуществляется.

Для доказательства этого утверждения воспользуемся исключительно важным законом Чандraseкара / 6 /

$$T = \frac{\mu H^2}{2\pi K} \cos^2 \vartheta, \quad (5)$$

где μ - магнитная проницаемость среды, H - магнитная напряженность, K - волновое число.

Если формулу (1) применить для определения собственной частоты дневной магнитосферы Земли с учетом выражения (5) (для нормального случая $\cos \vartheta = 1$), то полученное соотношение будет указывать на явную зависимость частоты колебания от величины магнитной напряженности:

$$f_1 = \frac{1}{2\pi} \sqrt{\frac{\mu H^2 (n-1)n(n+2)}{2\pi K \cdot a^3 (\rho_1 + \rho_2 \frac{n}{n+1})}}. \quad (6)$$

Замечим, что формула (5) была выведена для плоского случая, но для мелкой кривизны она будет также справедлива. Что касается коэффициента затухания f_n (2), то для больших радиусов $a \gg r$ она принимает весьма малую величину, несмотря на то, что $\rho_1 \ll 1$ и $\rho_2 \ll 1$. Напомним, что при этом вязкости пользо-

стью отсутствуют. Таким образом, можно считать, что $\beta_{\text{н}} \approx 0$.

В этих условиях формула (3) примет вид:

$$f_2 = \frac{H}{\mu} \sqrt{\frac{3\mu}{5\mu k \rho a^2}} \quad (7)$$

Из этой зависимости можно получить очень важный вывод: во время магнитных бурь резко растет напряженность магнитного поля и незначительно, но все же уменьшается радиус дневной магнитосферы Земли. Это означает, что увеличивается величина собственной частоты дневной магнитосферы. Увеличение амплитуды магнитной напряженности и смещение величины частоты в сторону низких частот, позволяет более эффективно влиять на биологические объекты.

Как известно, $K = \frac{2\mu}{\mu}$ и $L = \frac{V'}{f'} \frac{2\mu V'}{\omega'}$; поэтому $K = \frac{\omega'}{V'}$, где V' - альфеновская скорость.

Существует определенная, но малая вероятность, что $f' \approx f_2$ ($\omega' \approx \omega_2$), тогда из (7) можно получить:

$$f_2 = \sqrt[3]{\frac{0,3 \cdot \mu \cdot V' \cdot H^2}{\mu^4 \cdot \rho \cdot a^3}} \quad (8)$$

где размерности величин учтены в СИ системе $[\mu] = \frac{\Gamma \cdot \text{н}}{\text{м}}$, $[V'] = \frac{\text{м}}{\text{с}}$, $[H] = \frac{\text{н}}{\text{м}}$, $[\rho] = \frac{\text{кг}}{\text{м}^3}$. Подстановка в формулу (8) соответствующих величин $B = \mu H \approx 3 (10^{-6} \div 10^{-8}) \text{ Тл}$, $V' = 10^7 \frac{\text{м}}{\text{сек}}$,

$a = (8 \div 10)R$ ($R = 6370 \cdot 10^3 \text{ м}$ - радиус Земли), $\rho = 1,7 \cdot 10^{-20} \frac{\text{кг}}{\text{м}^3}$ позволяет найти величину частоты в диапазонах $f_2 = (0,1 \div 6) \text{ Гц}$.

В работе / 4 / была рассмотрена цилиндрическая модель, для которой величина частоты определялась так:

$$f_{\text{нн}} = \sqrt{\frac{\pi \left[m(2m^2 + 4m + 3) + a^2 \frac{\mu^2 (2n+1)^2}{-a} \right] \cdot I_m(aq_n)}{a^3 [\rho_1 I_m(aq_n) + \rho_2 K_m(aq_n)]}} \quad (9)$$



где l - длина цилиндра, a - ее радиус, $I_m(aq_n)$ - модифицированные функции Бесселя, $K_m(aq_n)$ - функция Макдональда, $q_n = \pi(2n+1)/l$.

При $n = m = 0$

$$f_{\infty} = \frac{1}{2} \left\{ \frac{T}{al^2} \cdot \frac{I_0(\pi a/l)}{\rho_1 I_0(\pi a/l) + \rho_2 K_0(\pi a/l)} \right\}^{1/2}. \quad (10)$$

Если учесть, что $\frac{a}{l} \ll 1$, тогда выражение (10) упрощается и принимает вид:

$$f_{\infty} = \frac{1}{2} \left[\frac{T}{al^2 \cdot \rho_2 K_0(\pi a/l)} \right]^{1/2}. \quad (11)$$

Полученную формулу также можно использовать для определения собственной частоты колебания ночной магнитосферы Земли, где T определяется из (5).

В этой работе рассмотрена функциональная связь между колебательными процессами биосистемы и магнитосферы Земли. Но на биосистемы влияют и другие электрические и магнитные изменения, происходящие как в условиях Земли, так и вне ее. Кроме вышеуказанных первичных процессов проявляются и вторичные или их последствия. С этими явлениями связаны волнение и штормы морей и океанов, что связано с обогащением воды кислородом, необходимым для подводных обитателей, для процесса деления клеточных систем и т.д.

Во время экспериментов над биологической клеткой не надо забывать о непрерывном вынужденном действии естественных электромагнитных полей. В противном случае полученные результаты могут иметь противоречивый характер.



ლიტერატურა

1. Т.Г.Игенти, Г.Ш.Кеванишвили //Сообщения АН ГССР.1971.т.62. № 1. с.37.
2. Т.Г.Игенти, Г.Ш.Кеванишвили //Биофизика. 1980. т.25. № 1. с.189.
3. Т.Г.Игенти, И.Ф.Сагашвили, К.А.Нипшиანიძე и др. А.С.206235. СССР//Б.И. 1967. № 24.
4. Т.Г.Игенти, Г.Ш.Кеванишвили // Биофизика. 1991. т.36. № 3. стр. 483+488.
5. Т.Г.Игенти, К.А.Катамадзе, Г.Ш.Кеванишвили, К.А.Нипшиანიძე. А.С.789119 СССР//Б.И.1980. № 47.
6. S.Chandrasekhar. Hydrodynamic and Hydromagnetic Stability. Oxford, Charendon Press, 1961, +52.

დასკვნები

ქადაგებენ დაგნიფიკაციის მნიშვნელობის დადგენას

ბიოლოგიური რეგულირება

რეგულირება

სტრუქტურული და ფუნქციონალური მონიტორინგის განხორციელების მიზნად ნაშრომების მიმართულია სისხლძარღვების საკუთარი რეგულაციის სინთეზის მნიშვნელობის კვლევითი დამატებითი მუშაუბრის და რაღაც მანერისგანგაზრების საკუთარი რეგულაციის სინთეზის სიძველესთან.



T. Zhghenti

THE EFFECT OF THE EARTH'S MAGNETOSPHERE OSCIL-
TION ON BIOLOGICAL ORGANISMS

Summary

By considering spherical and cylindrical models a relation has been found between the values of the proper oscillation frequency of biological systems and the values of the proper oscillation frequency of the earth's day and night magnetosphere.



Պետական ինքնակառավարման մարմինները, մասնավորապես քաղաքացիական ծառայողները, որոնք մասնավորապես մտնում են իրենց ծառայության ժամկետի ավարտի և հետագա աշխատանքի փնտրման գործընթացում, որոնք մասնավորապես մտնում են իրենց ծառայության ժամկետի ավարտի և հետագա աշխատանքի փնտրման գործընթացում, որոնք մասնավորապես մտնում են իրենց ծառայության ժամկետի ավարտի և հետագա աշխատանքի փնտրման գործընթացում...

Պետական ինքնակառավարման մարմինները, մասնավորապես քաղաքացիական ծառայողները, որոնք մասնավորապես մտնում են իրենց ծառայության ժամկետի ավարտի և հետագա աշխատանքի փնտրման գործընթացում, որոնք մասնավորապես մտնում են իրենց ծառայության ժամկետի ավարտի և հետագա աշխատանքի փնտրման գործընթացում...

Քաղաքացիական ծառայողները, որոնք մասնավորապես մտնում են իրենց ծառայության ժամկետի ավարտի և հետագա աշխատանքի փնտրման գործընթացում, որոնք մասնավորապես մտնում են իրենց ծառայության ժամկետի ավարտի և հետագա աշխատանքի փնտրման գործընթացում...

Պետական ինքնակառավարման մարմինները, մասնավորապես քաղաքացիական ծառայողները, որոնք մասնավորապես մտնում են իրենց ծառայության ժամկետի ավարտի և հետագա աշխատանքի փնտրման գործընթացում, որոնք մասնավորապես մտնում են իրենց ծառայության ժամկետի ավարտի և հետագա աշխատանքի փնտրման գործընթացում...

II. Математика в современном мире, со. статей, пер. с англ.
М., "Мир", 1967.



М.Н. Чичинадзе

О ВЗАИМОУСЛОВЛИВАЮЩЕЙ ИСТОРИКО-ЛОГИЧЕСКОЙ СВЯЗИ
МАТЕМАТИКИ И ФИЛОСОФИИ

Резюме

Между философией и математикой существует коренная связь: для обеих наук количество является собственным объектом, соответственно, как категория и как специальная наука о количестве.

Она представляется как взаимосоусловливающая историко-логическая связь. Рассматриваются ее основные моменты — от Платоновской школы Пифагора до современности. В связи с современным кризисом основ математики возникли философские школы математиков: формализма, логицизма и интуицизма. Возникшая на воле преодоления этого кризиса теория горенных выводов Н.П. Гускелья является типичной для упомянутой связи.

Общепросоологический акт математической абстракции, в связи с переходом противоположностей друг в друга, создает уникальное явление: внутреннюю, автономную философию математики, особо проявляющуюся в теории моделей и теории алгоритмов, ядром которой является тезис Чёрча (Клини, Тьюринга и т.д.).



M. Chichinadz

ON THE MUTUALLY-CONDITIONING HISTORICO-LOGICAL RELATIONSHIP OF MATHEMATICS AND PHILOSOPHY

Summary

There is a fundamental relationship between philosophy and mathematics: quantity constitutes the proper object of both sciences, respectively, as a category and a special science of quantity. It is conceptualized as a mutually-conditioning-historico-logical relationship. Its basic points are discussed, beginning with the Milesian school of Thales to the present time. In connection with the modern crisis of the foundations of mathematics philosophical schools of mathematicians have arisen: those of formalism, logicism, and intuitionism. I. G. Gokhlov's theory of fundamental inferences, emerging on the tide of overcoming this crisis, is typical of the relationship just referred to.

The general gnoseological act of mathematical abstraction in connection with the transition of opposites one to the other gives rise to a unique phenomenon: an internal, autonomous philosophy of mathematics, particularly apparent in the theory of models and the theory of algorithms, its nucleus being the thesis of Church (Carnap, Turing, and others).



Труды Тбилисского государственного университета

им. Ив. Джавахишвили

თბილისის ივ.ჯავახიშვილის სახელობის სახელმწიფო

უნივერსიტეტის ძრობები

314, 1993

მეცნიერების განვითარებისათვის მნიშვნელოვანი წვლილის შეტანისათვის

პროფესორი

მ. ბეჟინაძე, ა. ბეჟინაძე, ა. ბეჟინაძე

მეცნიერების განვითარების განსამტკიცება (სტრუქტურა, ფორმა, მეცნიერული
ეფექტურობა და ა.შ.) აქტიურად მონაწილეობის მქონე პირების მიერ
შეასრულებულია.

საქართველოს მეცნიერების დამცავებისათვის განსაკუთრებით მნიშვნე-
ლოვანია მეცნიერების ხარისხის კონტროლი მიღებული დამცავების მხრიდან.

მეცნიერების ხარისხის კონტროლის ახალი ეფექტურობის შესაქმნელად
განსაკუთრებით მნიშვნელოვანია სარეზერვო მეცნიერული და ეფექტუ-
რული მეთოდების კონტროლირებადობის განხორციელების გამოყენე-
ბა.

მნიშვნელოვანია მეცნიერების დამცავების მიერ განსამტკიცებისათვის ახ-
ლგადახედული დამცავების კონტროლის დამატებითი და კომპლექ-
სური სახეობის აღმოჩენა და შექმნისათვის მათი უზრუნველყოფა.

მნიშვნელოვანია მეცნიერების უზრუნველყოფისათვის კომპლექსური ვადრეზირ-
ებადობის დამცავების დამატებითი. ეს მოახდინებდა ვადრეზირების და-
დაცვას კომპლექსური დამცავების მეშვეობით ვადრეზირების, უზრუნველყოფ-
ის მიზნების რეგულირებისათვის სურათს. ეს მიზნების დამცავების აღ-
ქმნას მნიშვნელოვანი დამცავების დამატებითი რეგულირებისათვის რეგულირებისათვის
დამატებითი სურათი.



ფარეშის რეგულაციის პროცესში ფაზის ცვლადობა ცვ-
ლებას ახდენს ალტერნატიული ფარეშის სიხშირეზე.

ფარეშის წყაროს ამპლიტუდური ამპლიტუდა (საფრეშო ფარეშის)
რეგულაციის სიხშირეში გამოხატვა სიხშირით

$$U_R = a_R \exp(i\varphi_R), \quad (1)$$

სადაც a_R - ფარეშის ამპლიტუდაა, φ_R - ფაზა.

ანალოგიურად გამოხატვა უძრავი ობიექტიდან გაძნეული ფარეშის ამ-
პლიტუდა

$$U_0 = a_0 \exp(i\varphi_0) \quad (2)$$

მოძრავი ობიექტის მიერ გაძნეული ფარეშის ამპლიტუდური
ფარეშის ფორმის სახე:

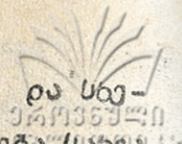
$$U_0(t) = a_0 \exp[i(\varphi_0 + \Delta\varphi)]. \quad (3)$$

$\Delta\varphi$ ფაზის ცვლადობა, რომელიც გამოწვეულია ობიექტის მოძრაობით,
რამიტაცია ობიექტის სიხშირეზე $\Delta l = vt$. ეს
ობიექტი გადაადგილდა Δl მანძილზე, მაშინ ობიექტის ფა-
ზის ობიექტი და უკუმიმართულად მარეგულირებელი ფარეშის
სიხშირეზე რაჯერ და მუდმივად $2\Delta l = 2vt$. პროპორციულად შეიც-
ვლება ფარეშის ფაზა

$$\Delta\varphi = 2\pi \frac{2vt}{\lambda} \quad (4)$$

ეს ფორმულა გამოხატავს ფარეშის სიხშირე (4)-ს, მიხედვით

$$U_0(t) = a_0 \exp\left[i\left(\varphi_0 + 4\pi \frac{vt}{\lambda}\right)\right]. \quad (5)$$



მნიშვნელობის სურათს, რომელიც მიიღება საფრეზენი u_R და სიგ-
ურის $u_o(t)$ ფაქტობრივ, საჩვენებლად გამოვიყენებთ შემდეგ სახეობას

$$J_{OR}(t) = |u_R + u_o(t)|^2 = |u_R|^2 + |u_o(t)|^2 + u_R u_o^*(t) + u_o(t) u_R^*(t) \quad (6)$$

რომელიც განსაზღვრავს აგრძელებით ფაქტობრივ ამპლიტუდურ და ფა-
ქტობრივ ნარჩენებს შემდეგი სახით:

$$u_{ORC} = u_c |u_R|^2 + u_c |u_o(t)|^2 + u_c u_R u_o^*(t) + u_c u_R^*(t) \quad (7)$$

უკანასკნელი წევრი (7) გამოსახულებაში ნარჩენებს აღვნიშნავთ
ფაქტობრივ (მომავალი მნიშვნელობის აღვნიშნავთ გამოსახულებას) G_o , რომელიც
ეფექტობის ძირითადი მნიშვნელობის გამოვარდინებით შემდეგ ნარჩენებს
შემდეგნაირად $|2|$:

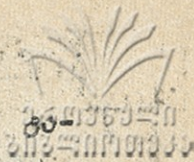
$$G_o = u_c u_R^* \frac{1}{T} \int_0^T u_o(t) dt = u_c u_R^* \frac{1}{T} \int_0^T \left\{ \exp \left[i \left(4\pi \frac{vt}{\lambda} \right) \right] \right\} dt \quad (8)$$

(8)-ე გამოსახულება (2)-ს გამოვარდინებით მიიღება სახეობა

$$G_o = u_c u_R^* a_o \frac{1}{T} \int_0^T \left\{ \exp \left[i \left(4\pi \frac{vt}{\lambda} \right) \right] \right\} dt = u_c u_R^* a_o \frac{1}{T} \frac{\exp \left(i 4\pi \frac{vT}{\lambda} \right) - 1}{i 4\pi \frac{vT}{\lambda}} \int_0^T u_c u_R^* a_o \frac{\exp \left(i 4\pi \frac{vT}{\lambda} \right) - 1}{(i 4\pi \frac{vT}{\lambda})} dt \quad (9)$$

განვიხილოთ, რომ (9) გამოსახულებაში ნარჩენი $u_c u_R^* a_o$
ნარჩენებს ფაქტობრივ უძრავი მნიშვნელობის გამოსახულებას აღვნიშნავთ
ფაქტობრივ სახეობით. გავწეროთ აღვნიშნავთ გამოსახულების ინტე-
გრალის გამოსახულება მომავალი მნიშვნელობის შემთხვევაში:

$$J_{of} = G_o G_o^* = J_o \left[\frac{\exp \left(i 4\pi \frac{vT}{\lambda} \right) - 1}{i 4\pi \frac{vT}{\lambda}} \right]^2 \quad (10)$$



(10)-ը Գամկսանշղըծոբան ժողովրդեծ ժողոճայո ռծոյլթոս սղծոցըրո ժոսեոյլըծոն զարոճոնո ճոցընեոյրոճոն

$$J_{\text{գոհր.}} = \frac{1 - \cos(4\pi \frac{VT}{\lambda})}{8(\pi \frac{VT}{\lambda})^2} = \frac{2 \sin^2(2\pi \frac{VT}{\lambda})}{8(\pi \frac{VT}{\lambda})^2} =$$

$$= \frac{\sin^2(2\pi \frac{VT}{\lambda})}{(2\pi \frac{VT}{\lambda})^2} = \text{sin}^2 c^2(2\pi \frac{VT}{\lambda}), \tag{11}$$

Սպասե

$$\text{sin} c^2 x = \frac{\text{sin} x}{x},$$

Սպասե γ - ռծոյլթոս Գոբասոցըրոն սոհլարյա, T - ճըցոնեղոցոնոն րոո, $\lambda = 0,63$ մյ.ծ յոյրընջըրո զըրոն սոհրոյ.

Յըժոո ժողովրդե ըսոյրոյըրոն սաժիշղըծոն Գոբոյլը ըսոյրոնո, ռոծ, ճըցոնեղոցոնոն սոհլըցեոն զըրընո, ռոծըրոց Գոծընյոն ժողոճայո ռծոյլթոբոն, սո յոյնոնսըրոն Գոբասոցըրոնոնսն $\Delta l \gg \frac{\lambda}{2}$ ժոնոնը, սղծոցըրո յոյրընջըրո զըրըծոն ճոցընեոյրոճոն մյլըոնը յըցըն.

Գարոճոնոն ճոցընեոյրոճոն ժողովրդե Գոմոսանշղըծոն սոմոհըրոնոն ռծոյլթոն սոնոնոն ժողոճոնոնսն ոծ սոհրոնոն ռոծ, ռծոյլթոն Յըբոնըրոն ոցոն Գոծընյոն. Յըբոնըրոն ոեցըրոն Գոծընյոնսըբ, ժո ոն եոհըրոնոն, յ.ո. յոնոհընոնոնոնոն սոմոլը ժոն Յըբոնըրոն Յըրոբըրոն, յըրոյ զըրընոն սոհրոյ սոնոն յոնոհընոնոնոնոն սոմոլը սոմոլը $\Delta l \gg \lambda$.

Եոհըրոնոնոն (սոմոյոնոն) սեցըրոնսեցըն Եոհընեոն ժոցընյոն Գոմոսանշղըծոն սեցըրոնսեցըն Եոհընեոն Գոնոնոնոնոն. սղծոցըրոն Գոմոսեոյլըծոն ճոցընեոյրոճոն Գոբոյլըծոն ըսոյրոն Գոմոսանշղըծոն ռոցըրոն Յըբոնըրոն Գոբասոցըրոնոն սոըրըբը $\Delta l \gg VT$, սեցըն Յըբոնըրոն Եոհըրոնոնոն սըրըբը Δl , մյոհըն Եոհըրոնոնոն ժոցընյոնսըն (1) ըսոյրոյըրոն ոյրընյոն սոմոհըրոն, ռոցը



$vT < \Delta \tilde{h}$, $vT > \Delta \tilde{h}$ მნიშვნელობებისას ფარეობითი ინტენსიურობა არ იცვლება და ფოტოა მნიშვნელობისა, როცა $vT = \Delta \tilde{h}$. ამავარაუ, რამეთუ-
 რეაქციას ბედაპირის $\Delta \tilde{h}$ ხორჯიანობასა და აღებენითი ფაქტობის
 მუდარეობით ინტენსიურობას შორის ექნება (!) გამოსახულების სახე,
 იმ განსხვავებით, რომ არაუმეტეს $vT = \Delta \tilde{h}$ შეიცვლება $\Delta \tilde{h}$ სიდი-
 დით და მივიღებთ

$$J_{\text{ფარე}} = \sin \alpha^2 \left(2 \mathcal{P} \frac{\Delta \tilde{h}}{\lambda} \right). \quad (12)$$

დარშევატინით (12) გამოსახულება გრადუსული სახით. განვიხილოთ
 შემთხვევა, როცა რბივჭის გადაადგილების სიდიდე მეტია ფაქტის
 სიგრძეზე - $\Delta l \gg \lambda$. ეს ხორჯიანობის სიდიდის ცვალებადობა მრ-
 რებში მოცემული იქნება საზღვრებში $0,04 \lambda \leq \Delta \tilde{h} \leq 0,4 \lambda$, იმინ-
 (12) თანხმად აღებენითი ფაქტობის ფარეობითი ინტენსიურობის
 გრადუსი თითქმის სწორხაზოვანია და ცალსახა.

როცა $\Delta \tilde{h} \leq 0,04 \lambda$ გრადუსი ხდება ძალიან პრასტორხაზოვანი, ხო-
 ლო როცა $\Delta \tilde{h} > 0,4 \lambda$ გრადუსი ხდება მრავალსახა. ამავარაუ, რამ-
 ფარეა რამეთუ ძალიან თავის სიბრჯეში გადაადგილებული ბედაპი-
 რის ხორჯიანობასა და აღებენითი ფაქტობის ფარეობით ინტენსიურო-
 ბას შორის. აღებენითი ფაქტობის ინტენსიურობის განსაზღვრას მივ-
 უღარო ხორჯიანობის განსაზღვრამდე, ხოლო აღებენითი გამოსახუ-
 ლება შეიძლება ინტორმაციას რბივჭის ბედაპირზე უსწორებების სივ-
 იცითი განახილებების შესახებ.

შემოსულია 23.VIII.1993

ქუთაისის ფენიკარი
 უნივერსიტეტი



1. T.Ohtsubo, T.Azakura. Opt.Commun. V. 25. 1978, p.315.
2. H.W.Sun Lu, Tr.Hemstreet und H.T.Goulding. Physics Letters. V. 25A, N 4, 1967, pp 294-295.
3. А.Н.Ануашвили. В кн. Оптоэлектронные методы и средства обработки изображений. Винница-Тбилиси; ГИИ, 1987, с.95-99.

Ц.А.Гегучадзе, А.Н.Ануашвили, А.Д.Гецадзе

КОНТРОЛЬ ЗА КАЧЕСТВОМ ПОВЕРХНОСТИ ВО ВРЕМЯ
ЕЕ ОБРАБОТКИ

Р е з ю м е

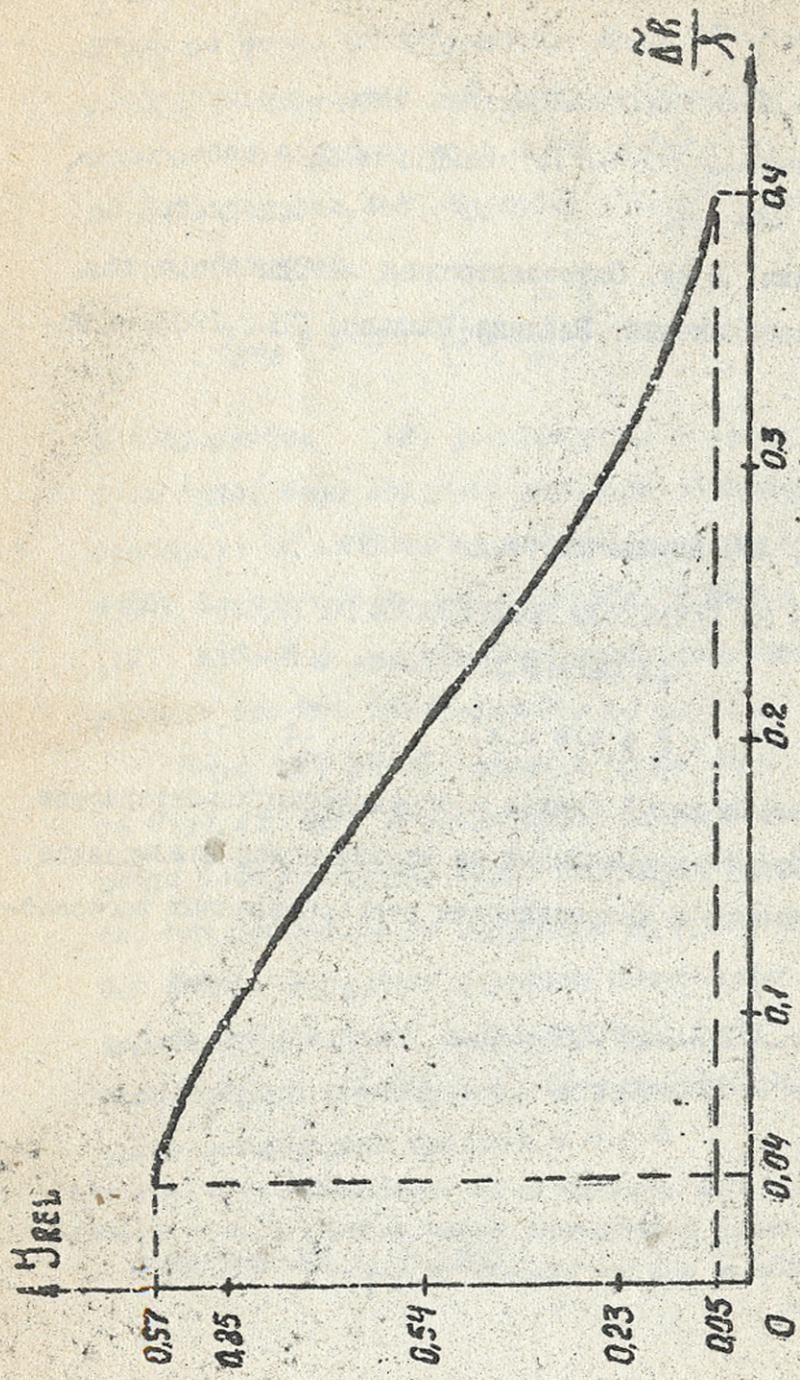
В статье описан новый подход к определению характеристик поверхности объекта основанный на закономерной взаимосвязи перемещения объекта и интенсивности восстановленных когерентных волн.

Ts.Geguchadze, A.Anushvili, A.Getsadze

CHECKING OF A SURFACE QUALITY DURING ITS PROCESSING

S u m m a r y

In this article a new approach to the determination of the object's surface characteristics is presented, based on the objective interrelation of its displacement and the intensity of restored coherent waves.



ნახ.1. ადრენალინის ზეგავლენის გავრცელების სიჩქარის განმარტება და სპორტის
ხორკელის სიჩქარის სიჩქარის მართვის რეგულირება



ნ.გ. მაგნარაძე
(1916-1992)

Нино Георгиевна Магнарадзе



/1916 - 1992 гг./

Грузинская наука понесла тяжелую утрату. 26 мая 1992 года скончалась известный ученый в области небесной механики, доктор физико-математических наук, член редколлегии нашего журнала, профессор Нино Георгиевна Магнарадзе.

Н.Г.Магнарадзе родилась в Новом Сенаки 18 марта 1916 г. в семье юриста. Мать Нино Георгиевны - Мария - была педагогом. После окончания Тбилисского университета в 1939 году Н.Г.Магнарадзе была зачислена в аспирантуру по специальности "небесная механика". Научными руководителями Нины Георгиевны были академик П.К.Ларадзе и проф.Г.А.Дубошин. В 1947 году в Астрономическом институте им.П.Штернберга Московского университета Н.Г.Магнарадзе защитила кандидатскую диссертацию на тему "О разложении ньютонова потенциала эллиптической орбиты". В 1966 году там же была защищена докторская диссертация на тему: "О движении космического тела с переменной массой в гравитационном поле многих тел".

Нино Георгиевна Магнарадзе - первая женщина в Грузии, которой была присуждена ученая степень доктора физико-математических наук.

С 1969 года она - профессор кафедры астрономии Тбилисского университета им.Дж.Джугашвили.

Научное творчество Н.Г.Магнарадзе связано с исследованиями движений космического тела переменной массы (искусственные спутники, метеориты и кометы). В её работах разработаны новые

эффективный метод решения задач так называемых регулярных (исключены столкновения тел) и нерегулярных (учтены парные столкновения тел) реактивных движений космических тел с переменной массой. Ему исследованы прямые (когда известны массы тел как аналитические функции времени, а их радиус-векторы — неизвестны) и обратные (когда известны радиус-векторы как аналитические функции времени, а их массы неизвестны), задачи движения космических тел с переменной массой в ньютоновом и постньютоновом гравитационном полях при учете сопротивления сред и релятивистских эффектов.

Разработанный Н.Г.Магнарадзе метод дает возможность не только получить аналитическое решение, но и достаточно удобен для его численной реализации на современных вычислительных машинах.

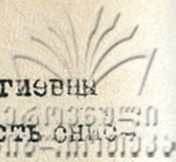
Проф. Н.Г.Магнарадзе являлась членом международного Астрономического Союза.

Почти полвека преподавала Нино Георгиевна в Тбилисском университете, там же шла она и научную деятельность.

Лекции Н.Г.Магнарадзе всегда отличались простотой и оригинальностью. Она воспитала целое поколение астрономов.

За долготелную научную и педагогическую деятельность Нино Георгиевна Магнарадзе была награждена медалью им.И.Джавახишвили.

Она оставила рукопись своей монографии, опубликовать которую она хотела на английском языке. Н.Г.Магнарадзе подготовила для опубликования оригинально построенные лекции и специальные курсы, которые читались ею длительное время студентам Тбилисского университета.



Научная и педагогическая деятельность Нино Георгиевны Магнарадзе, ее принципиальность, откровенность и скромность, а также ее горячую любовь и уважение всех, кому выпало счастье знать ее, работать с ней или учиться у нее.

СПИСОК НАУЧНЫХ ТРУДОВ Н.Г. Магнарадзе

- | | |
|---|---|
| 1. О разложении ньютонова потенциала эллиптической орбиты. | Труды Тбилисского гос. университета
1950, 40, 1-34 |
| 2. О сходимости разложения ньютонова потенциала эллиптической орбиты в некоторых граничных точках области сходимости. | Бюллетень Абаст. астрофиз. обсерв.,
1950, II, 143-153. |
| 3. Об оценке остаточных членов разложения ньютонова потенциала эллиптической орбиты. | Бюллетень Абаст. астрофиз. обсерв.,
1950, II, 155-161. |
| 4. Некоторые замечания к задаче о движении материальной точки под действием силы, зависящей от времени. | Бюллетень Абаст. астрофиз. обсерв.,
1958, 22, 139-144. |
| 5. Об ограниченной задаче трех тел, когда притягиваемое тело имеет переменную массу. | Бюллетень Абаст. астрофиз. обсерв.,
1959, 22, 145-159. |
| 6. Об одном случае ограниченной задачи трех тел, когда притягиваемое тело имеет переменную массу. | Бюллетень Абаст. астрофиз. обсерв.,
1961, 26, 191-214. |
| 7. Об ограниченной пространственной задаче трех тел, когда масса притягиваемого тела является заданной функцией от времени. | Бюллетень Абаст. астрофиз. обсерв.,
1961, 26, 215-224. |

8. О поступательно-вращательном движении космического тела относительно Земли.
9. О движении космического тела с переменной массой при полете к Венере.
10. О движении космического тела с переменной массой в гравитационном поле многих тел.
11. О движении космического тела с кулоново-аналитической массой в гравитационном поле многих тел.
12. Исследование движения тела переменной массы в гравитационном поле многих тел с помощью степенных рядов по регуляризирующей переменной.
13. О движении тела переменной массы в гравитационном поле многих тел вблизи момента соударения.
14. О движении тела переменной массы в гравитационном поле многих тел вблизи соударений.
15. Исследование движения тела переменной массы в гравитационном поле многих тел с помощью регуляризирующей переменной.
- Сборник: Проблемы движения искусственных небесных тел., ДН СССР, М., 1963, 278-292.
- Бюллетень Абаст., астрофиз. обсерв., 1964, 30, 143-151.
- Бюллетень Абаст. астрофиз. обсерв. №34 1966, 135-156.
- Конференция по общим вопросам небесной механики и астеродинамики, Москва, 1-29 марта 1967г.
- Тезисы докл. Совещание рабочей группы по аналитическим методам небесной механики, Ленинград, 3-7 августа 1970г.
- Тезисы докладов научной конференции, посвященной 50-летию образования СССР, Брест 158-159, 1967г.
- Совещ. ДН СССР, № 1, 1972, 57-60.
- Совещ. ДН СССР, № 2, 1972, 325-328.



16. О движении космического тела с кусочно-аналитической массой в гравитационном поле многих тел. Сборник: Современная проблема небесной механики и астродинамики, Тр. Конференции по общим вопросам небесной механики и астродинамики. АН СССР, М., 1973, 253-256.
17. Исследование скорости движения тела переменной массы в гравитационном поле многих тел вблизи соударения с учетом сопротивления среды. Труды Тбилисского гос. университета, 179, 1976, 75-83.
18. Исследование регулярного движения тел переменных масс в гравитационном поле с учетом релятивистских эффектов. Бюллетень Абаст. астрофиз. обсерв., 1978, 49, 149-158.
19. О движении двух тел с переменными массами в ньютоновом гравитационном поле. Труды Тбилисского гос. университета т. 204, 1978, 13-28.
20. О релятивистском эффекте при движении многих тел с переменными массами в постньютоновом гравитационном поле. Труды Тбилисского гос. ун-та, 1981, 218, 183-216.
21. Исследование обратной задачи теории регулярного движения многих космических тел с переменными массами в ньютоновом гравитационном поле. Бюлл. Абастум. астрофиз. обсерв., 1986, 61, 231.
22. Fundamental Problems of the Theory of Motion of Cosmic Bodies with Variable Masses in the Newtonian Gravitational Field. I. Bull. Abastum. Astrophys. Obs., 1991, N 71, pp. 3-26.



1. Р.И.Беридзе. О представлении чисел натурального квадратичными формами с во змью переменными 5
2. Х.Л.Джашиашвили. О представлении чисел квадратичными формами типов $(-2, II, 1)$ и $(-3, II, X)$ 15
3. Н.Д.Качаидзе. Исправление к работе "О числах неприводимых представлений симметрической группы. I. Труды ИВ, 1989, т.283, 46-59 24
4. К.В.Какая. Задача о растяжении и изгибе моментами естественно закрученного кругового изотропного цилиндра с продольными щелями 29
5. М.И.Кезегашвили. Вторичный эффект при растяжении естественно закрученного однородного анизотропного цилиндра в геометрической нелинейной постановке 44
6. Л.А.Дзидице. Движение вращающейся пористой пластины в проводящей жидкости с учетом теплопереноса 52
7. И.И.Гудзелидзе. Приближенное решение уравнения пограничного слоя слабопроводящей жидкости, находящейся в неоднородном магнитном поле 67
8. Л.А.Дзидице. Подобие течения слабопроводящей жидкости между двумя пластинами с учетом магнитного поля и стресса 75
9. Д.В.Шарикадзе, Т.Г.Девдарвани. Двумерное пульсирующее течение вязкой несжимаемой жидкости в пористом канале. 87
10. В.И.Луцкиридзе. Пульсационное течение вязкой несжимаемой слабопроводящей жидкости между параллельными стенками с теплопереносом 114
11. В.И.Луцкиридзе. Пульсационное течение вязкой несжимаемой электропроводящей жидкости между параллельными



041035340
003-70124033

орешками с теплопередачей	
12. В.Г.Асатрян. Влияние колебаний магнитосферы Земли на биологические организмы	136
13. М.Б.Тиминадзе. О взаимообуславливаемой историко- логической связи математики и философии	150
14. Ц.А.Тегучадзе, А.Н.Анушегли, А.Д.Гецадзе. Контроль за качеством поверхности в процессе ее обработки	157
15. Н.Г.Магнардзе (Некролог)	159



1. Ե. Եղերով. Կոնցեպտա ծանօթագրություն շրջանային մոտոցիտի հիստոլոգիայի համար հարկադրված գործիք. 14
2. Ե. Ն. Նաճարյան. (-2, 11, 1) և (-3, 11, 2) զանգվածային գործընթացի կոնցեպտա ծանօթագրություն շրջանային. 22
3. Ե. Ն. Նաճարյան. Ծրագրերի մատչելիության "ստատիստիկական հարցանքի վերաբերյալ մատչելիության կոնցեպտա շրջանային. 11". Սուրբ Երեմիայի, 1989, գ. 289, 46-59. 27
4. Յ. Յ. Նաճարյան. Ծրագրերից բաղկացած ընդհանուր ընդունված կարգից ընդհանուր ընդունված ընդունված ընդունված ընդունված ընդունված. 41
5. Ե. Ն. Նաճարյան. Ծրագրերից բաղկացած ընդհանուր ընդունված ընդունված ընդունված ընդունված ընդունված ընդունված. 51
6. Ե. Ն. Նաճարյան. Ծրագրերից բաղկացած ընդհանուր ընդունված ընդունված ընդունված ընդունված ընդունված ընդունված. 63
7. Ե. Ն. Նաճարյան. Ծրագրերից բաղկացած ընդհանուր ընդունված ընդունված ընդունված ընդունված ընդունված ընդունված. 74
8. Ե. Ն. Նաճարյան. Ծրագրերից բաղկացած ընդհանուր ընդունված ընդունված ընդունված ընդունված ընդունված ընդունված. 85
9. Ե. Ն. Նաճարյան. Ծրագրերից բաղկացած ընդհանուր ընդունված ընդունված ընդունված ընդունված ընդունված ընդունված. 92
10. Ե. Ն. Նաճարյան. Ծրագրերից բաղկացած ընդհանուր ընդունված ընդունված ընդունված ընդունված ընդունված ընդունված. 94



11. ვ. ბეჟუღაძე. ვლადიმერ ჰაინეის უკუბრუნების სიმღერის
საფიქროს კონცეპტი რა პარადიგმულ კვლევას მოხერხებს
სიბრძნეადაცემით. 116
12. თ. ბერიძე, ლეონტი მთრავლის ნაწარმოებების რხვევის ტავლები ბიო-
ლოგიურ მრავალფეროვნებაში 131
13. შ. ფიფიაძე. მადონა ფიფია და ფიფიათაგან ურთიერთგანმარ-
ბიერების ინტერვიუ-ლოცვის კავშირი და
ბიუსაბუბი. 133
14. ვ. ბეჟუღაძე, ა. ბეჟუღაძე, ა. ბეჟუღაძე. ბეჟუღაძეების ნაწარმოებებს
კომპიუტერული მისტიკის კონცეპტის პროცესში. 152
15. ნ. ბეჟუღაძე (ბეჟუღაძე). 159



1. R.Beridze. On the Representation of Integers by Some Quadratic Forms of Eight Variables	14
2. Kh.Jashiashvili. On the Representation of Integers by Quadratic Forms of Types $(-2, 11, 1)$ and $(-3, 11,)$	23
3. N.Kachakhidze. Correction to the Paper "On the Number of Irreducibles Representation of a Symmetric Group. II". Proceedings of Tbilisi University, v.289, 1989, 46-59	28
4. K.Kakhaya. Problems of Extension and Bending with a Couple of Naturally Twisted Circular Isotropic Beam with Longitudinal Cuts	42
5. M.Kezerashvili. The Secondary Effect of Stretching of Naturally Twisted Anisotropic Homogeneous Body in Geometrically Non-Linear Theory	51
6. L.Jikidze. The Motion of a Rotating Porous Plate in Conducting Fluid with Account of Heat Transfer	64
7. I.Grdzelidze. Approximate Solution of Boundary Layer Equations of a Weakly Conductive Fluid Considered in Non-Uniform Magnetic Fields	74
8. L.Jikidze. Similar Flows of a Weakly Conductive Fluid between two plates in the presence of a Magnetic Field and Suction	86
9. J.Sharikadze, R.Devdariani. Two-Dimensional Unsteady Flow of a Viscous Incompressible Fluid in a Porous Channel	92



საქართველოს
მეცნიერებათა
აკადემია

10. V.Tsutskiridze. Pulsation Flow of a Viscous Incompressible Weakly Conducting Liquid between Two Parallel Walls with Heat Transfer	115
11. V.Tsutskiridze. Pulsation Flow of a Viscous Incompressible Conducting Liquid between Two Parallel Walls with Heat Transfer	125
12. T.Zhghenti. The Effect of the Earth's Magnetosphere Oscillation on Biological Organisms	132
13. M.Chichinadze. On the Mutually-Conditioning Historico-Logical Relationship of Mathematics and Philosophy	151
14. Ts. Geguchadze, A.Anuashvili, A.Cetsadze. Checking of a surface quality during a processing	157
15. N.Magnaradze (Obituary)	159

გამომცემლობის წვდამისათვის ე. ანუ ანუ

ხელმოწერილია დასაბუჯად 22.12.83

საბუჯი ქალაქი 00X84

პრობისი ნაბუჯი თბილისი 10,75

საბუჯი. - საბუჯი. თბილისი 6,2

ფირმა 200 შვედის № 17

დასი სახელმწიფო

თბილისის უნივერსიტეტის გამომცემლობა

თბილისი, 380028, ე. ფაქსი 39.14

თბილისის უნივერსიტეტის სტამბა,

თბილისი, 380028, ე. ფაქსი 39.1

№ 26/1

